INTERCOMP MOSAI P20A

CRA Lannemezan du 28-02-2024 au 29-08-2024



Table des matières

1 Objectif scientifique	4
2 Dispositif instrumental	4
3 Stratégie de comparaison	5
4 Comparaison des données atmosphériques	6
4.1 Pression	
4.1.1 CNRM_MAIS	
4.1.2 CNRM_FORET	7
4.1.3 LAERO_CONIFERS	
4.2 Rayonnement	
4.2.1 CNRM_MAIS	
4.2.1.1 SWD	
4.2.1.2 SWU	
4.2.1.3 LWD	
4.2.1.4 LWU	
4.2.2 CNRM_FORET	
4.2.2.1 SWD	
4.2.2.2 SWU	
4.2.2.3 LWD	
4.2.2.4 LWU	
4.2.3 LAERO_CONIFERS	
4.2.3.1 SWD	
4.2.3.2 SWU	
4.2.3.3 LWD	13
4.2.3.4 LWU	
4.2.4 IGE_WETLAND	
4.2.4.1 SWD	14
4.2.4.2 SWU	14
4.2.4.3 LWD	
4.2.4.4 LWU	
5 Comparaison des paramètres de la turbulence	16
5.1 Variances U,V,W	16
5.1.1 CNRM_MAIS	16
5.1.1.1 Rose des vents	16
5.1.1.2 Variance U	17
5.1.1.3 Variance V	17
5.1.1.4 Variance W	18
5.1.2 CNRM_FORET	18
5.1.2.1 Rose des vents	18
5.1.2.2 Variance U	19
5.1.2.3 Variance V	19
5.1.2.4 Variance W	20
5.1.3 LAERO_CONIFERS	
5.1.3.1 Rose des vents	
5.1.3.2 Variance U	
5.1.3.3 Variance V	
5.1.3.4 Variance W	
5.1.4 ISPA_LISIERE	
5.1.4.1 Rose des vents	

5.1.4.2 Variance U	23
5.1.4.3 Variance V	23
5.1.4.4 Variance W	24
5.1.5 ISPA_FORET	24
5.1.5.1 Rose des vents	24
5.1.5.2 Variance U	25
5.1.5.3 Variance V	25
5.1.5.4 Variance W	26
5.1.6 IGE_WETLAND	26
5.1.6.1 Rose des vents	26
5.1.6.2 Variance U	27
5.1.6.3 Variance V	27
5.1.6.4 Variance W	27
5.2 Variances T sonique	28
5.2.1 CNRM_MAIS	28
5.2.2 CNRM_FORET	29
5.2.3 LAERO_CONIFERS	29
5.2.4 ISPA_LISIERE	30
5.2.5 ISPA_FORET	30
5.2.6 IGE_WETLAND	31
5.3 Variances H20	31
5.3.1 CNRM_MAIS	
5.3.2 CNRM_FORET	32
5.3.3 LAERO_CONIFERS	
5.3.4 ISPA_LISIERE	
5.3.5 ISPA_FORET	33
5.3.6 IGE_WETLAND	
5.4 Covariances W/T	
5.4.1 CNRM_MAIS	
5.4.2 CNRM_FORET	
5.4.3 LAERO_CONIFERS	
5.4.4 ISPA_LISIERE	
5.4.5 ISPA_FORET	
5.4.6 IGE_WETLAND	
5.5 Covariances W/H20	
5.5.1 CNRM_MAIS	
5.5.2 CNRM_FORET	
5.5.3 LAERO_CONIFERS	
5.5.4 ISPA_LISIERE	
5.5.5 ISPA_FORET	
5.5.6 IGE_WETLAND	
Récapitulatif de l'inter-comparaison	40

1 Objectif scientifique

MOSAI (Model and Observation for Surface-Atmosphere Interaction) est un projet basé sur les mesures long terme de flux d'énergie de sites instrumentés nationaux et l'évaluation des modèles sur les échanges surface-atmosphère qui peut désormais s'appuyer sur ces longues séries. INTERCOMP MOSAI P2OA a pour objectif de comparer les mesures des instruments qui ont été déployés lors de la campagne MOSAI dans la région de Lannemezan en 2024 .

2 <u>Dispositif instrumental</u>

Les instruments ont été installés sur un échafaudage orienté NE-SW (060°-240°). Les capteurs servant à la mesure de vent (soniques) et à la chimie se trouvent sur la face orientée au Nord. Des capteurs de mesures de pression et de rayonnement ont également été déployées sur ces mêmes périodes. La période couverte par l'inter-comparaison s'étend du 28/02/2024 au 29/08/2024. Au cours de cette période, les instruments ont été installés/désinstallés selon des contraintes propres à chaque laboratoire.

Le tableau suivant présente la disponibilité de tous les instruments sur l'échafaudage.

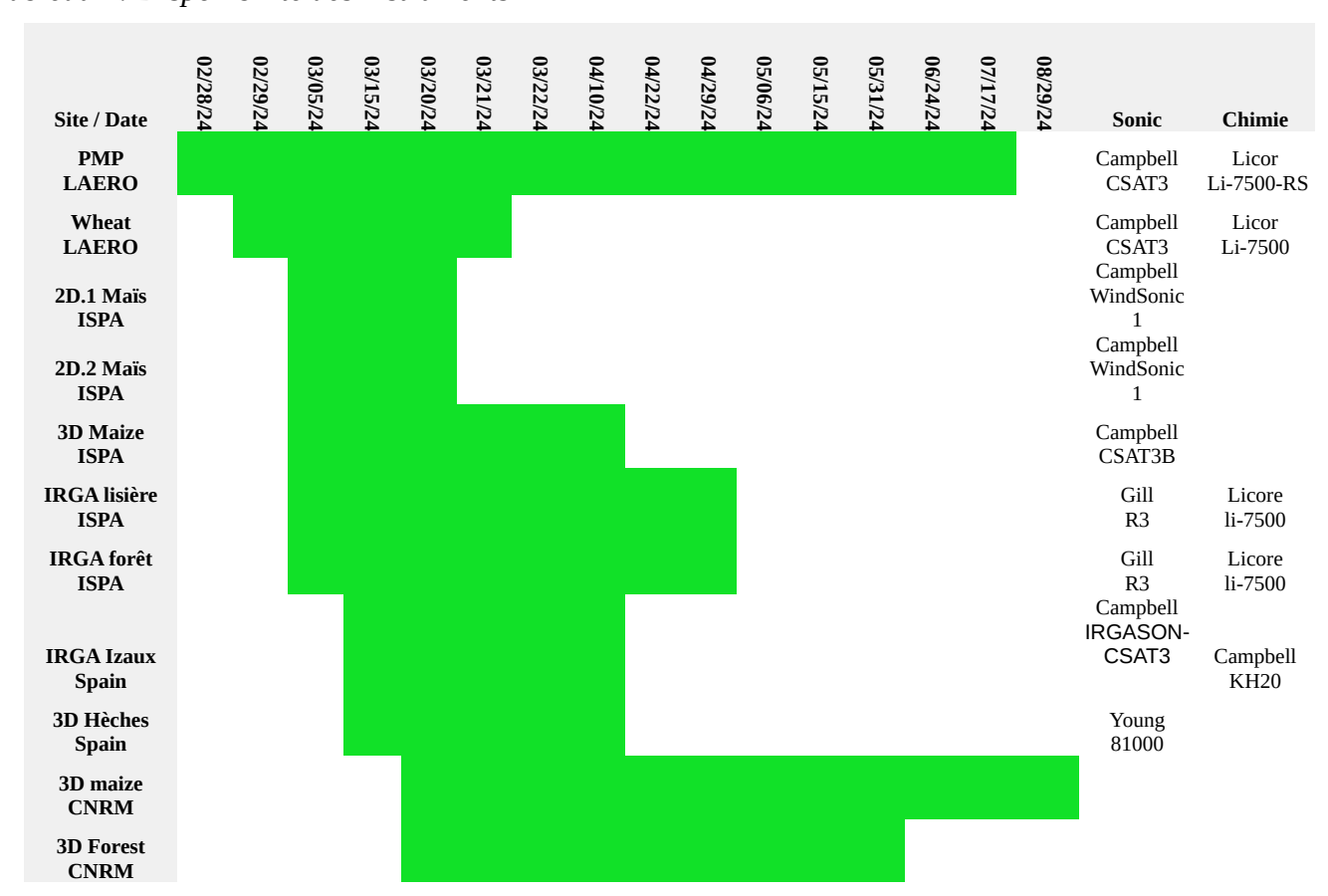


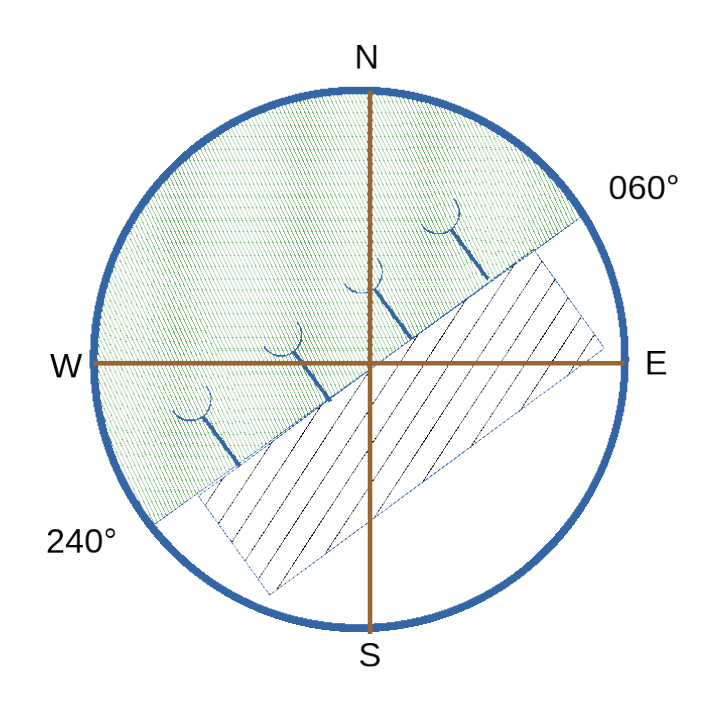
Tableau 1: Disponibilité des instruments

3D Wetland IGE	Campbell CSAT3	Licor li-7500-A
3D Foret mat 42 ISPA	Campbell CSAT3B	
3D 30m M60 LAERO	Campbell CSAT3	Licor li-7500-A
3D 60m M60 LAERO	Campbell CSAT3	
EC-mobile-IA LAERO	Campbell IRGASON	
EC-maize-IA LAERO	Campbell IRGASON	
EC-Conifère LAERO	Campbell CSAT3	Licor Li-7500

3 Stratégie de comparaison

Le tableau 1 montre que tous les capteurs ont eu une période commune avec les capteurs PMP_LAERO. Ces derniers seront donc utilisés comme capteurs de référence. Ainsi, chacun des autres capteurs sera comparé tour à tour avec PMP_LAERO.

Pour l'inter-comparaison des capteurs utilisés pour la turbulence, afin d'évaluer les perturbations dues à l'échafaudage on distinguera les vents de secteur Nord ($240^{\circ} > 060^{\circ}$) des vents de secteur Sud ($060^{\circ} -> 240^{\circ}$)

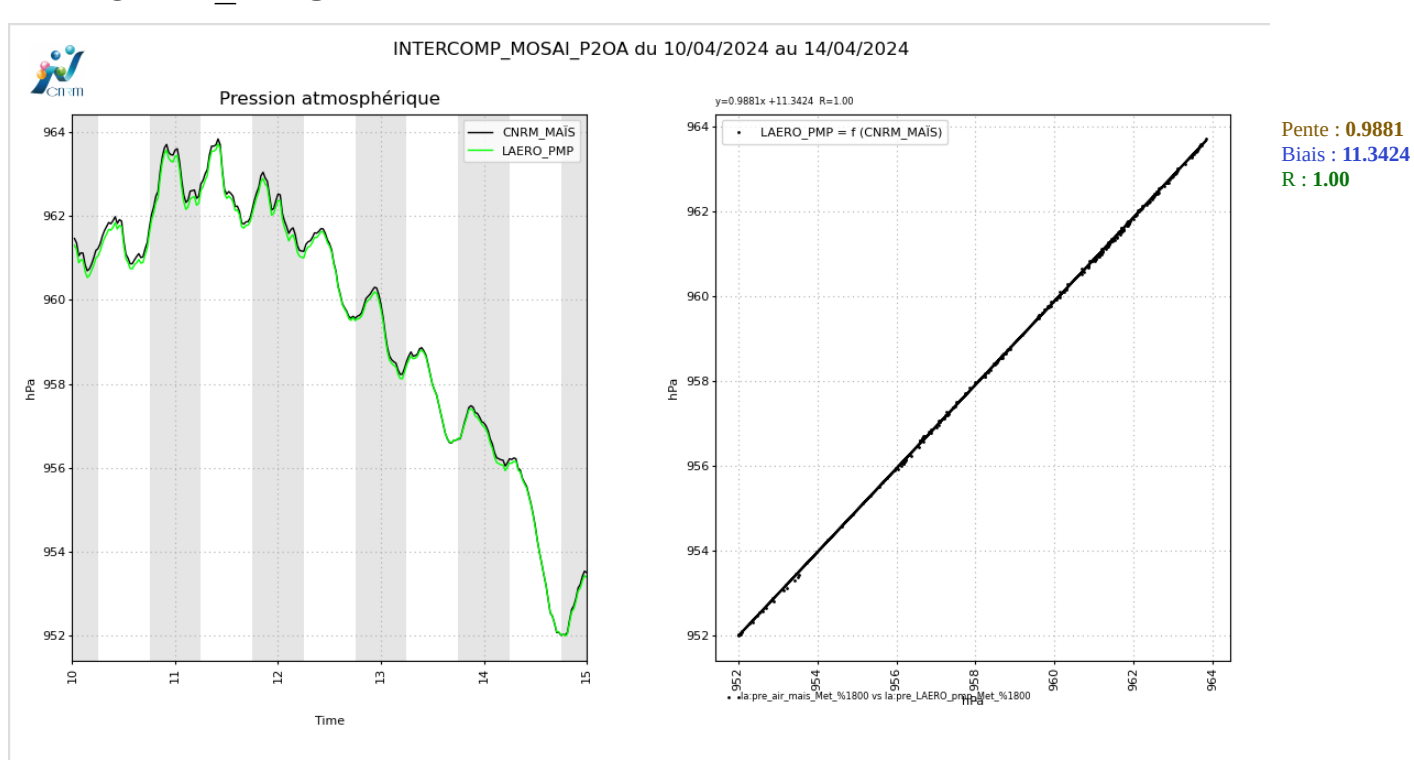


Dans une première partie l'inter-comparaison portera sur les données météorologiques de pression et rayonnement. Seront comparés ensuite les paramètres utilisés pour étudier la turbulence.

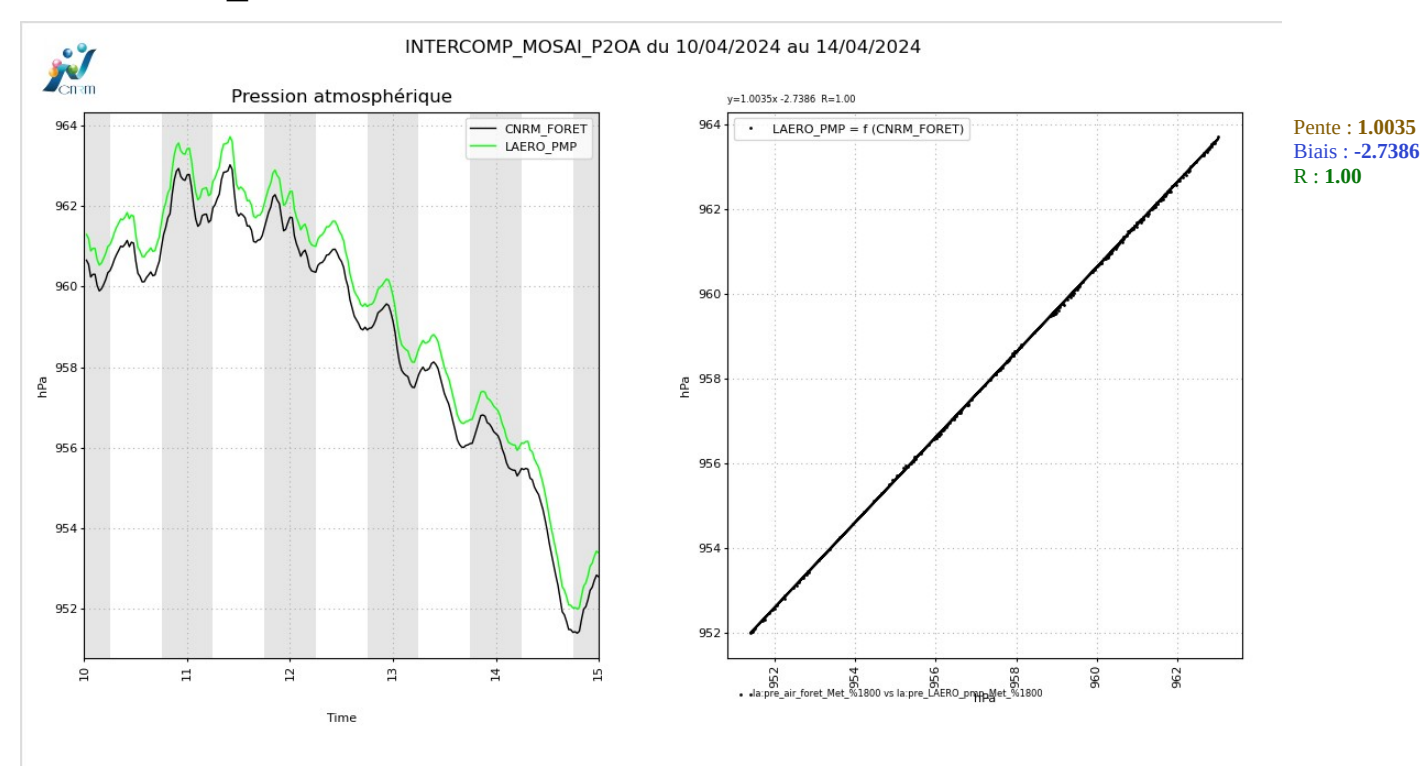
4 Comparaison des données atmosphériques

4.1 Pression

4.1.1 CNRM MAIS

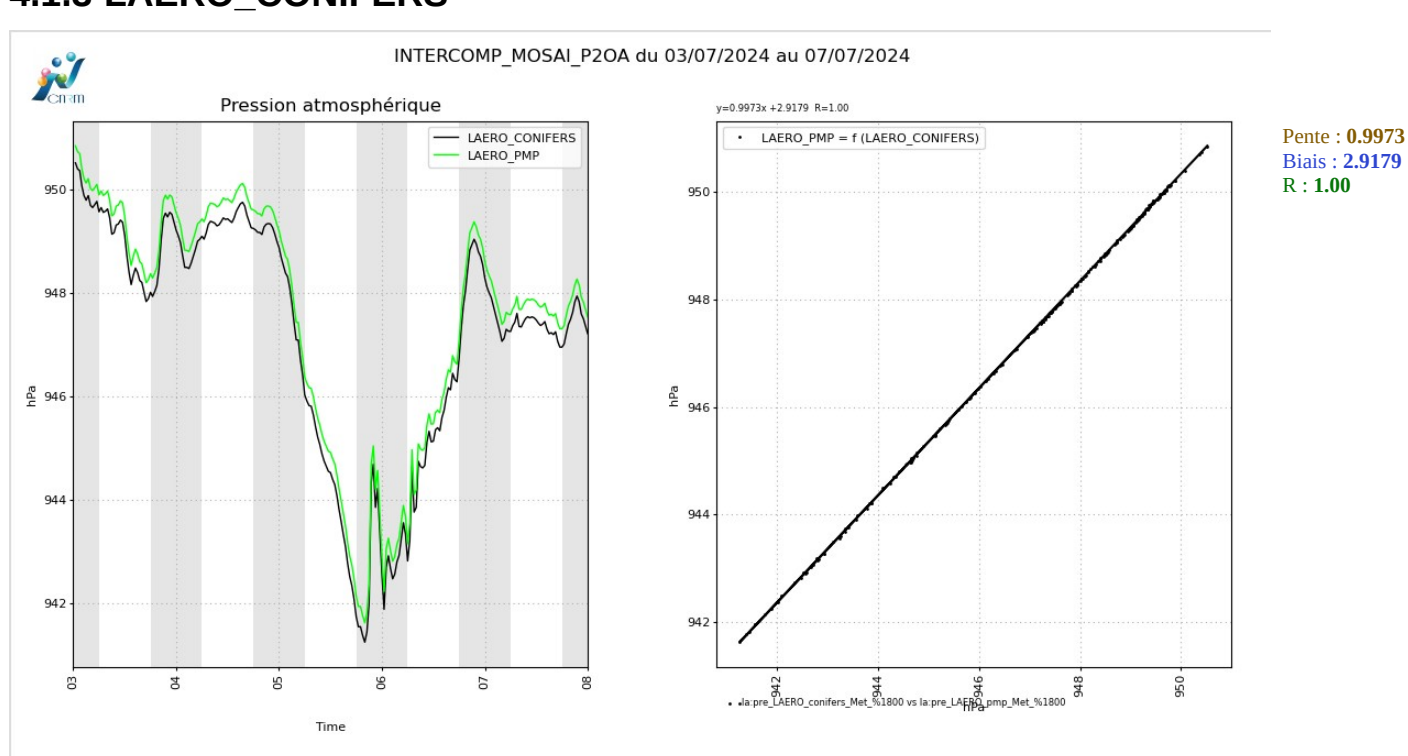


4.1.2 CNRM_FORET



Bonne cohérence, CNRM_FORET < LAERO_PMP, écart < 1hPa

4.1.3 LAERO_CONIFERS

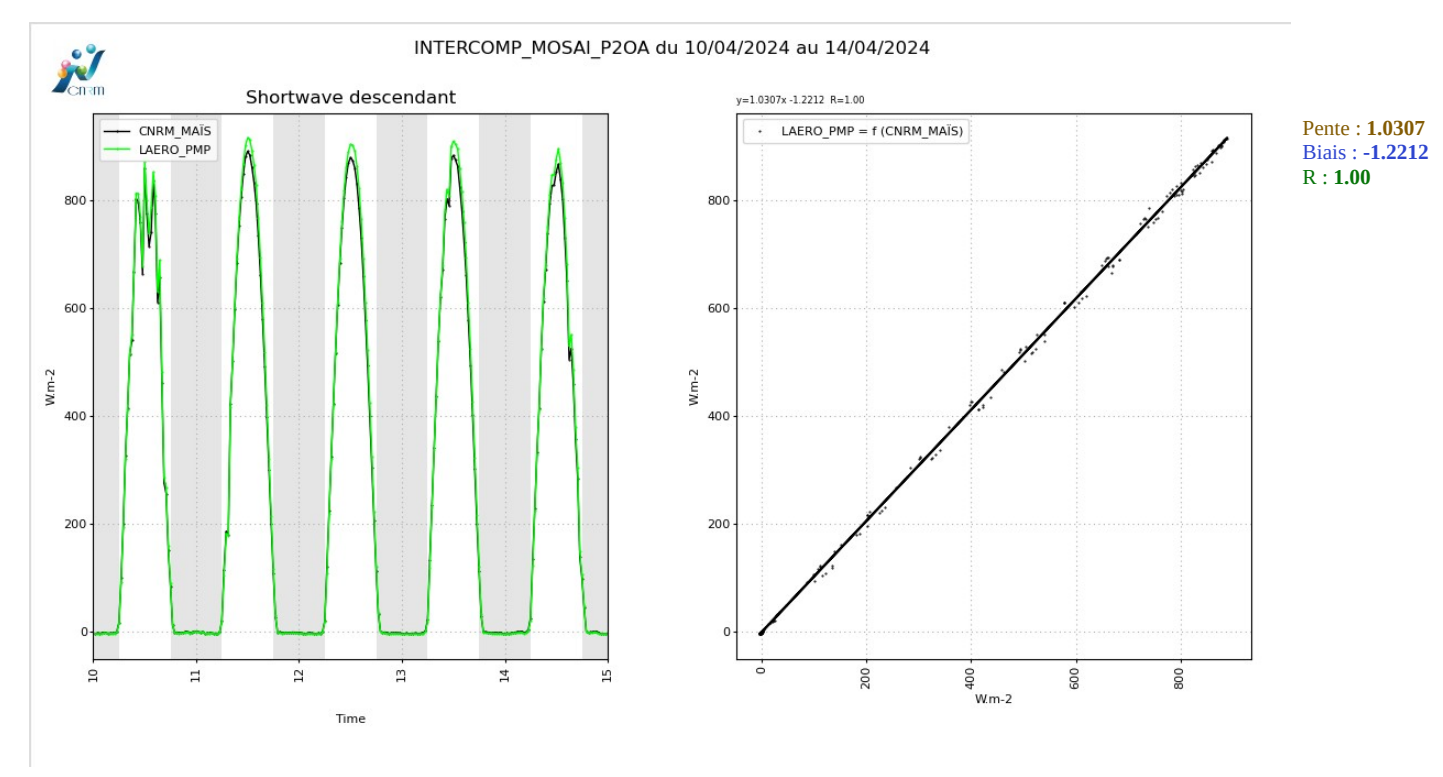




4.2 Rayonnement

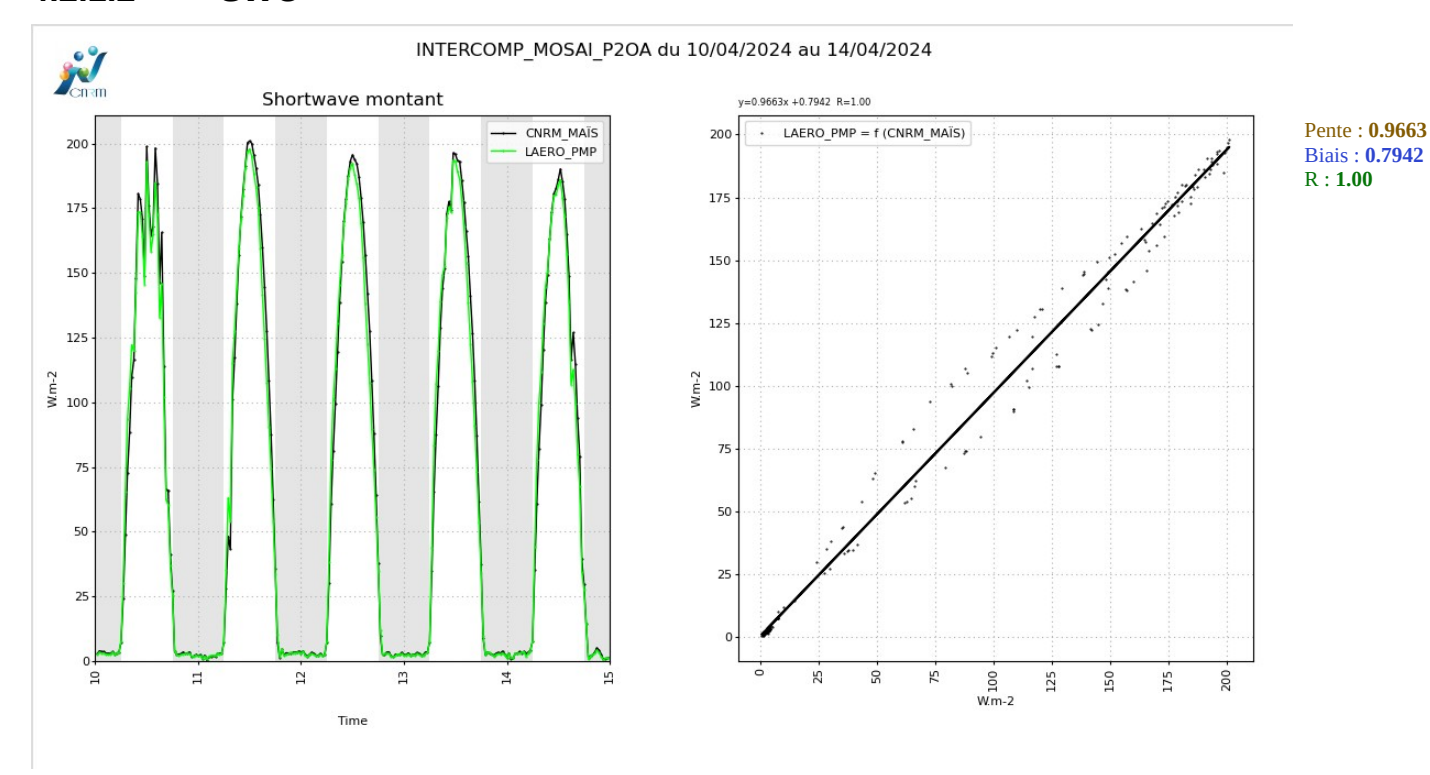
4.2.1 CNRM_MAIS

4.2.1.1 SWD



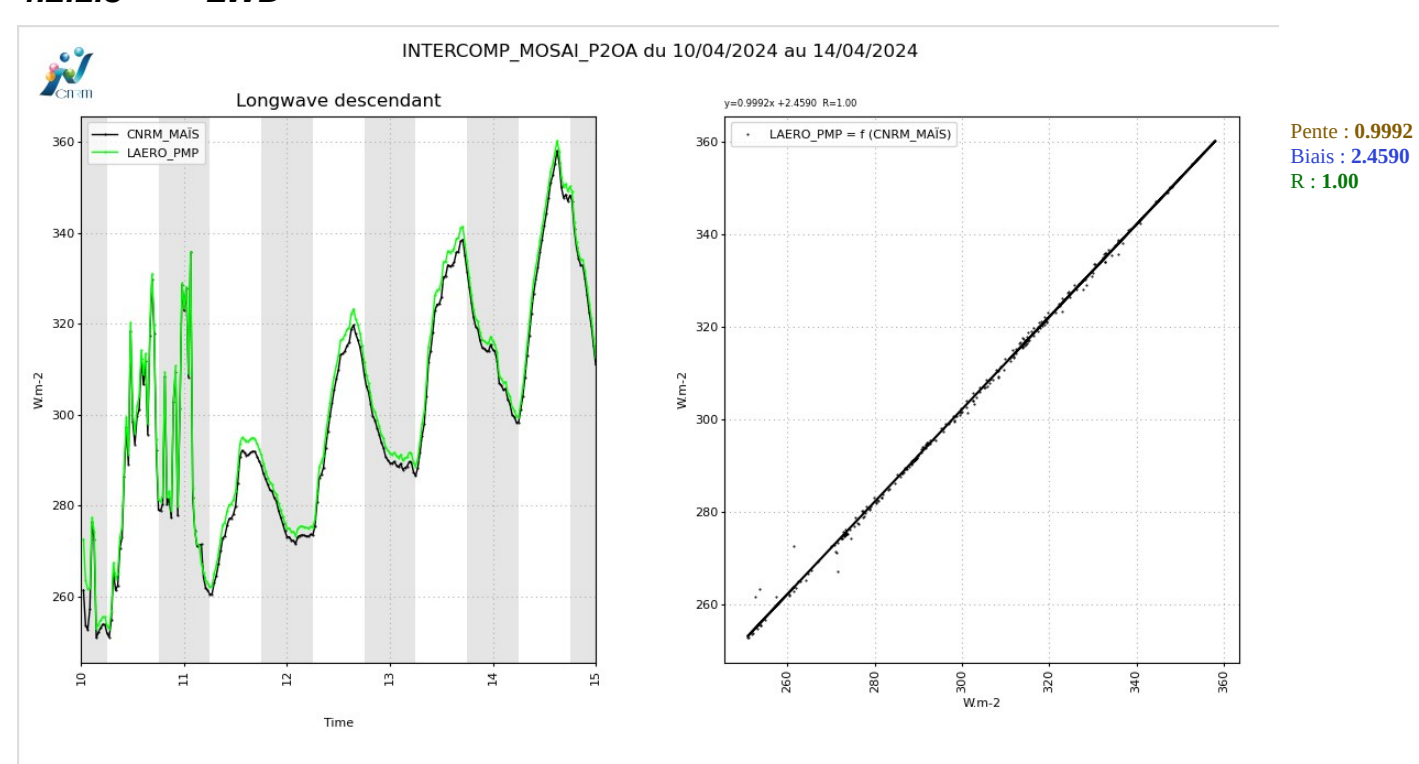
Très bonne corrélation. LAERO_PMP>CNRM_MAIS d'environ 30W/m2 au maximum des journées de ciel clair.

4.2.1.2 SWU



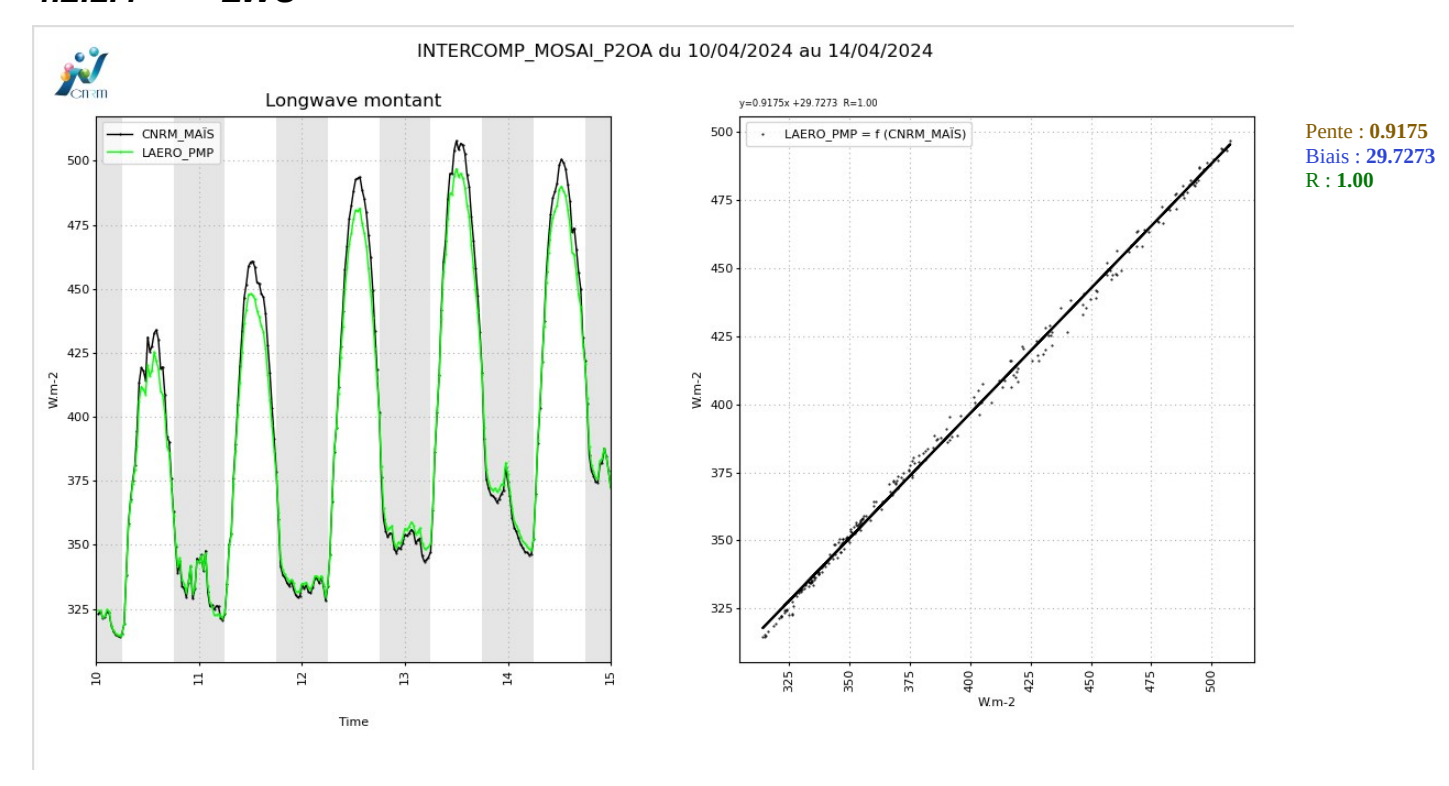
Très bonne corrélation.

4.2.1.3 LWD





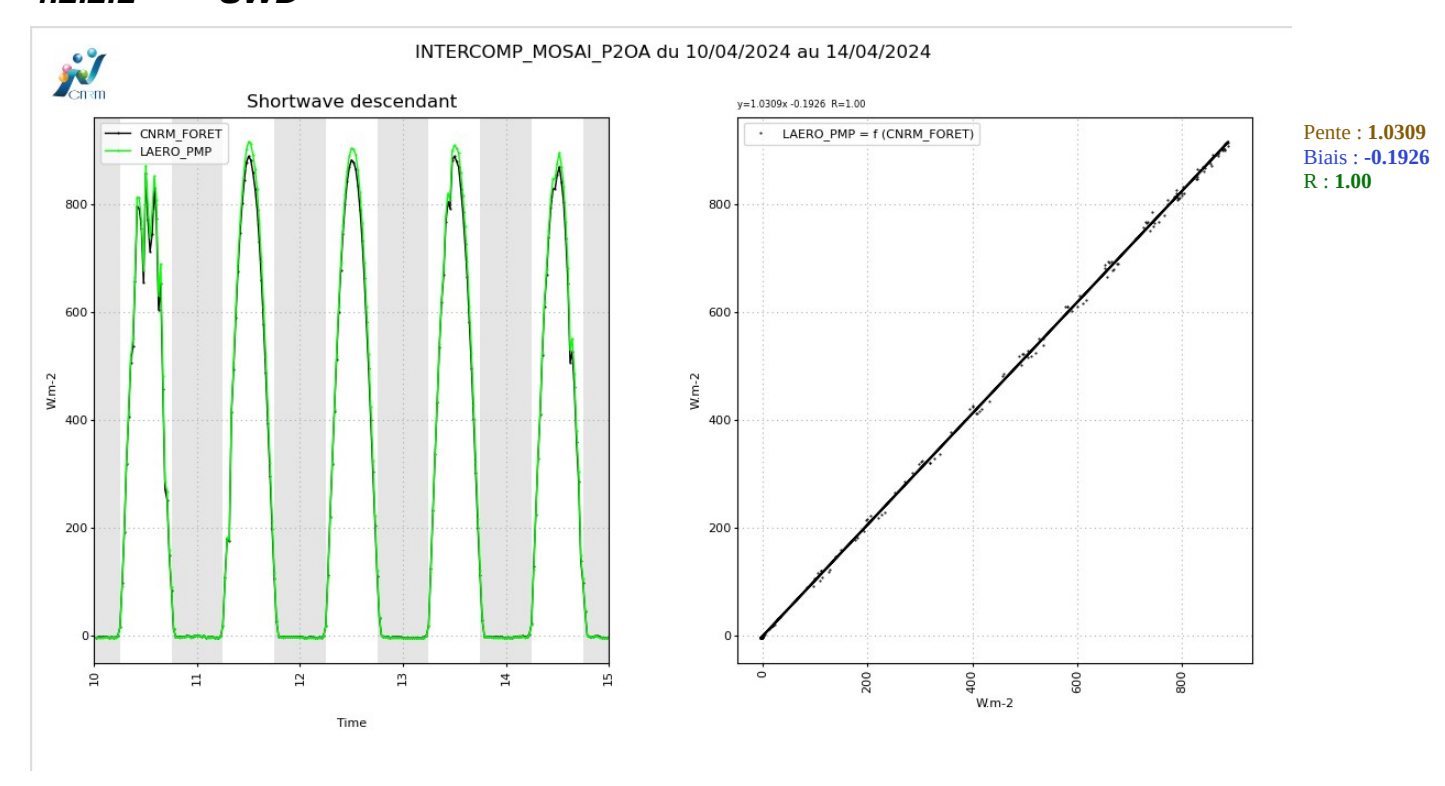
4.2.1.4 LWU



Très bonne corrélation. CNRM_MAIS > LAERO_PMP d'environ 10W/m2 aux valeurs maximales.

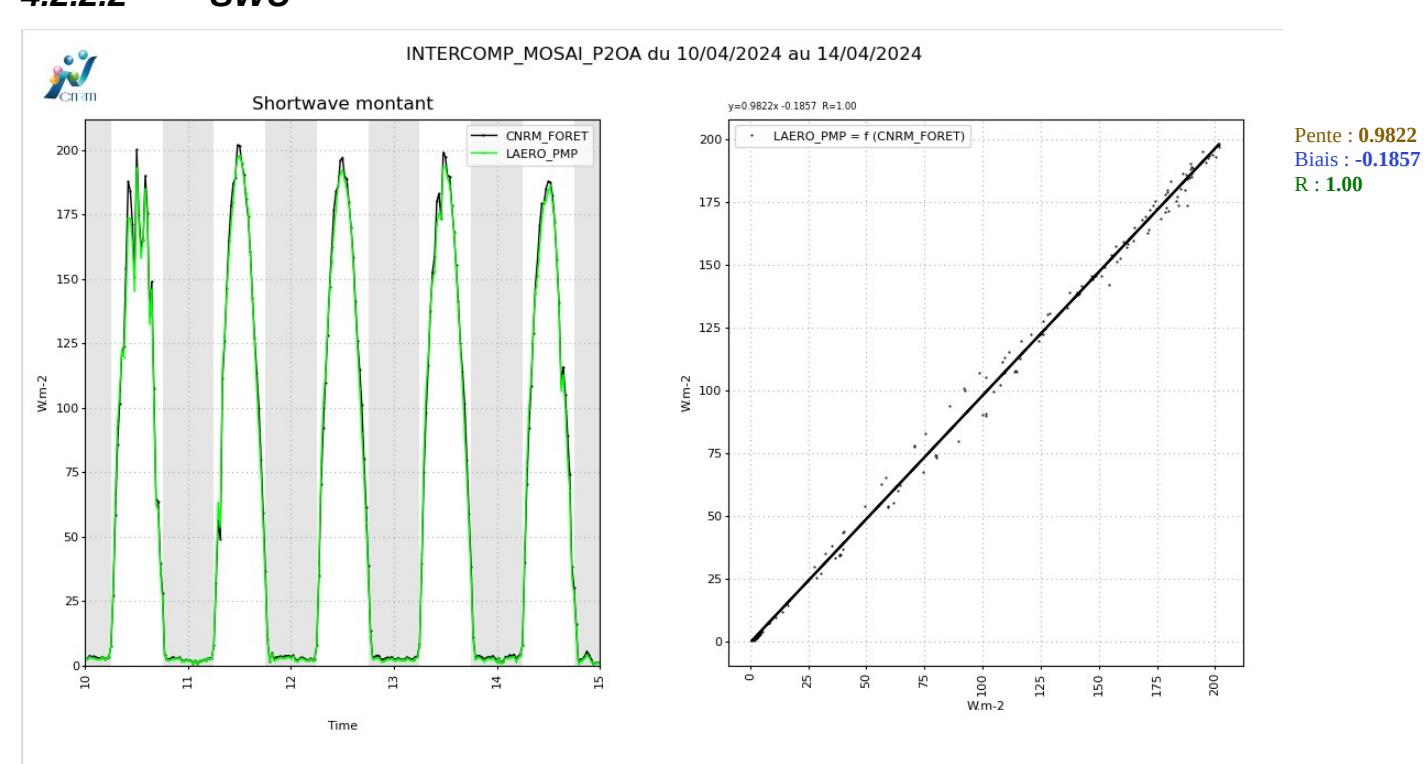
4.2.2 CNRM_FORET

4.2.2.1 SWD



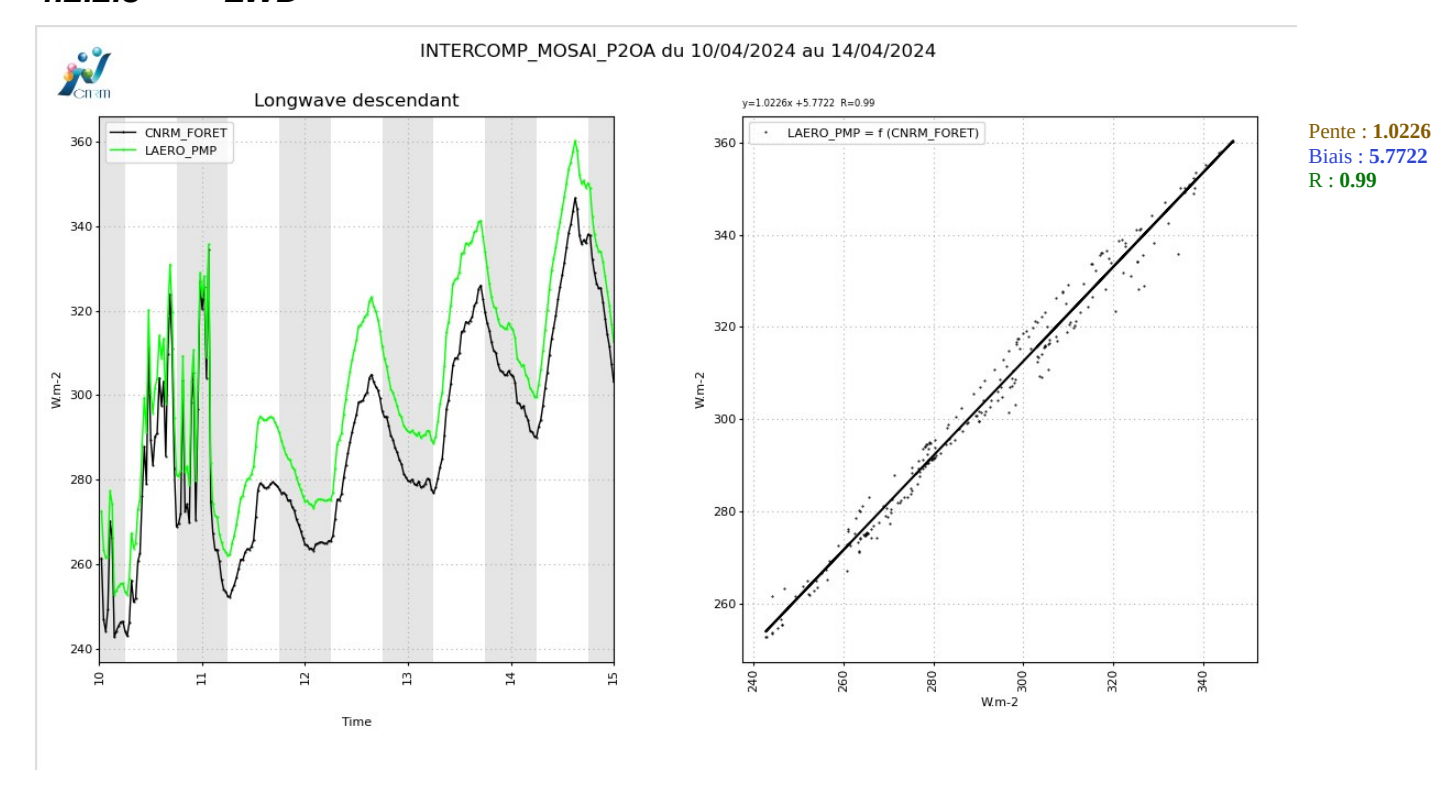
Très bonne corrélation. LAERO_PMP>CNRM_foret d'environ 25W/m2 au maximum des journées de ciel clair.

4.2.2.2 SWU



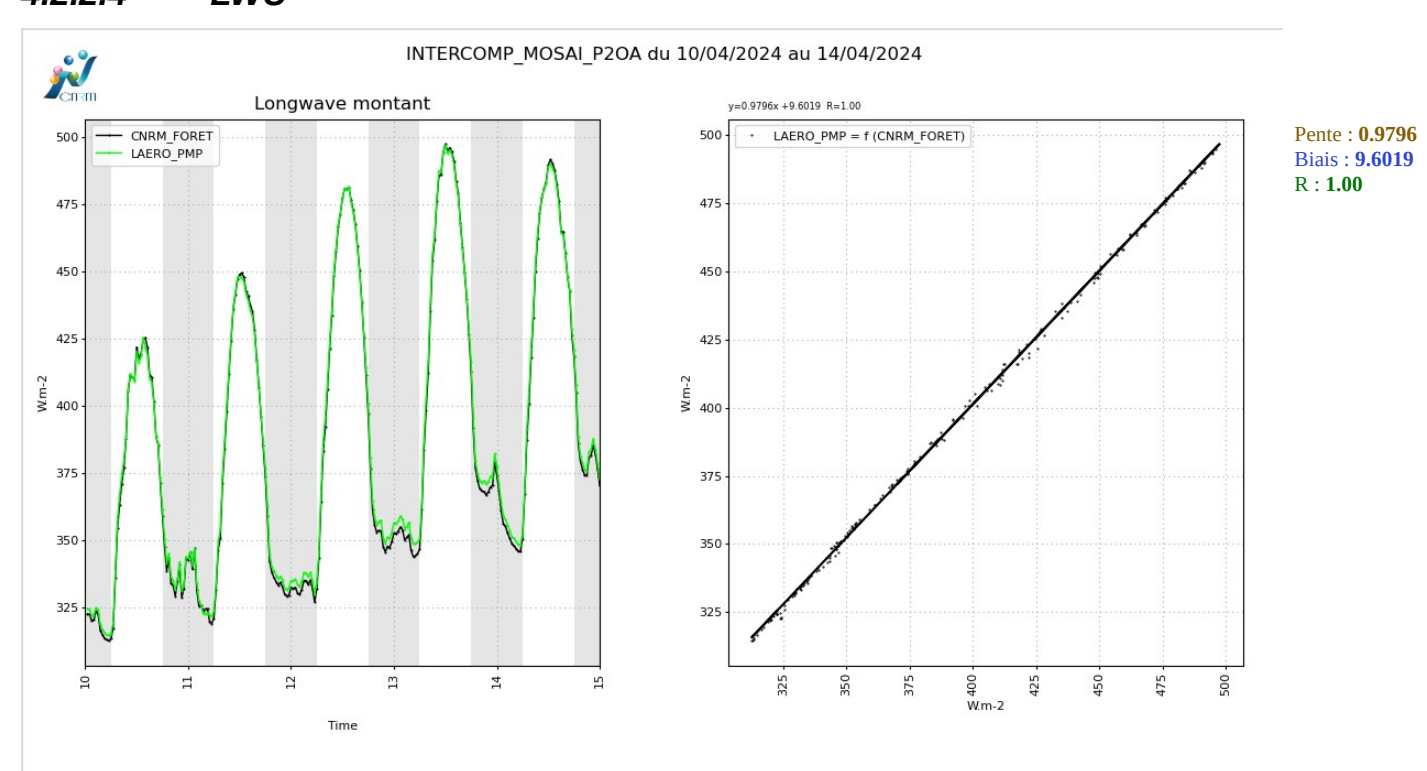


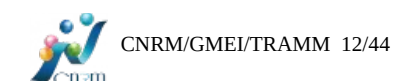
4.2.2.3 LWD



Très bonne corrélation. CNRM_FORET < LAERO_PMP d'environ 15W/m2.

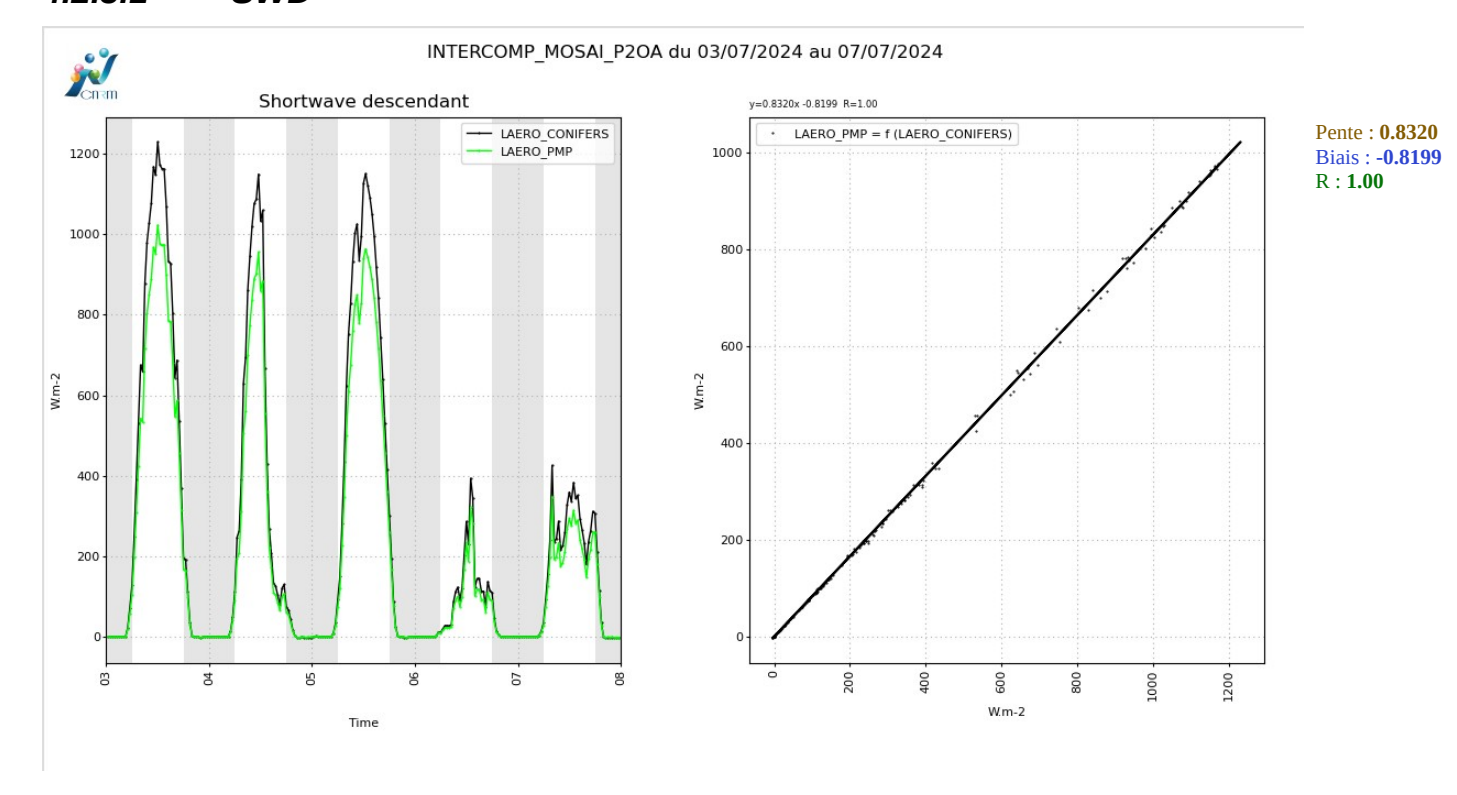
4.2.2.4 LWU





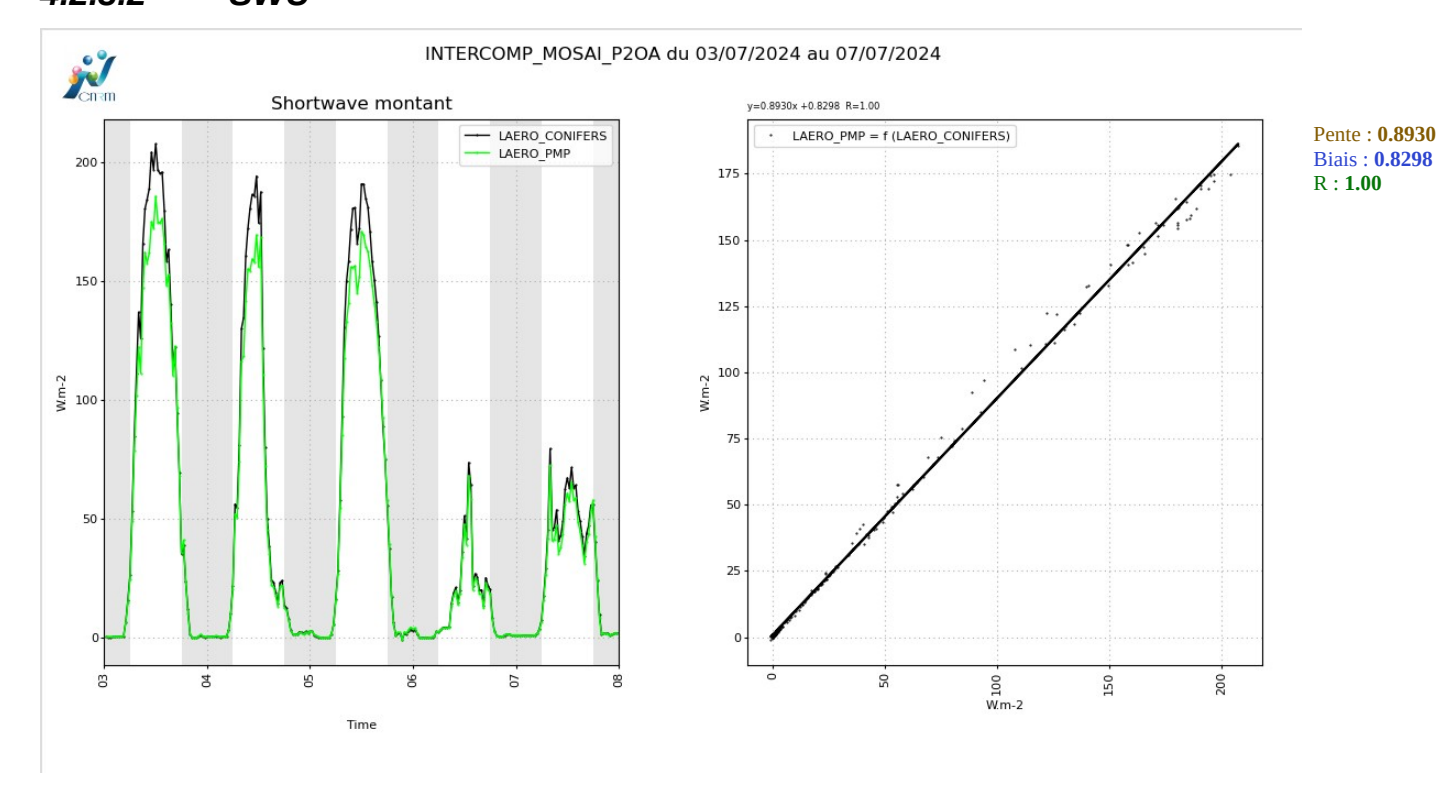
4.2.3 LAERO_CONIFERS

4.2.3.1 SWD



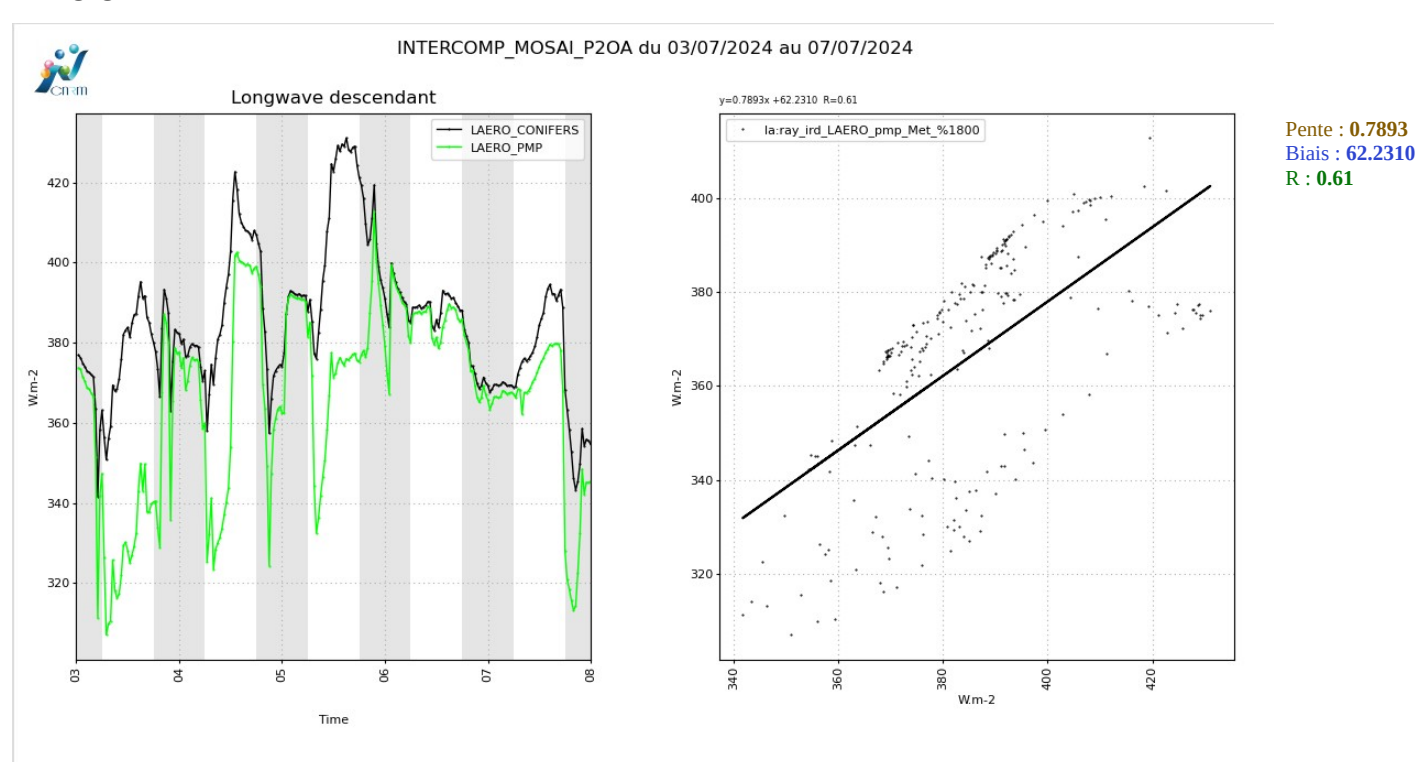
Très bonne corrélation. LAERO_CONIFERS > LAERO_PMP d'environ 200W/m2 aux valeurs maximales.

4.2.3.2 SWU

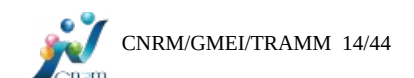


Très bonne corrélation. LAERO_CONIFERS > LAERO_PMP d'environ 20W/m2 aux valeurs maximales.

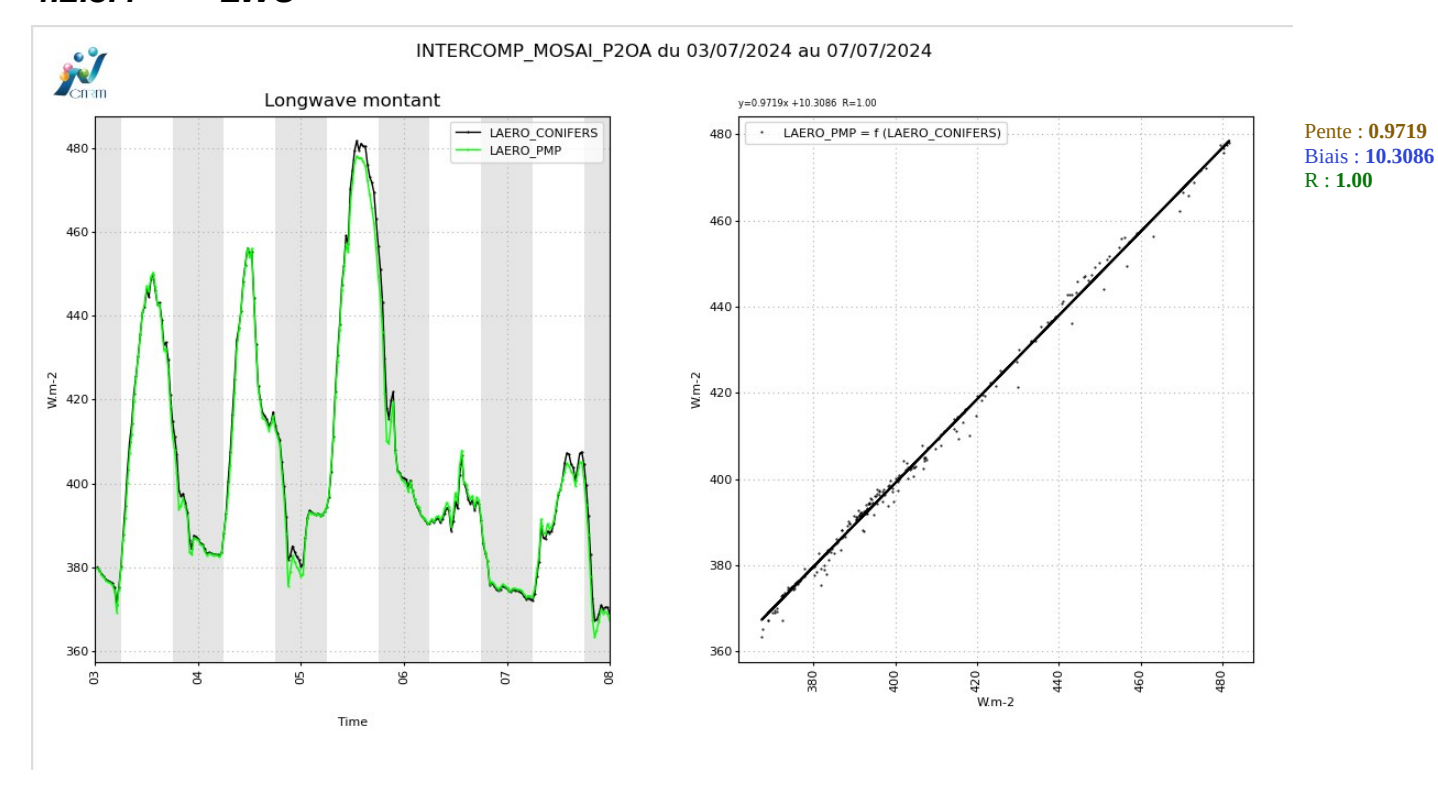
4.2.3.3 LWD



Corrélation faible. LAERO_CONIFERS > LAERO_PMP avec des écarts pouvant atteindre 60W/m2



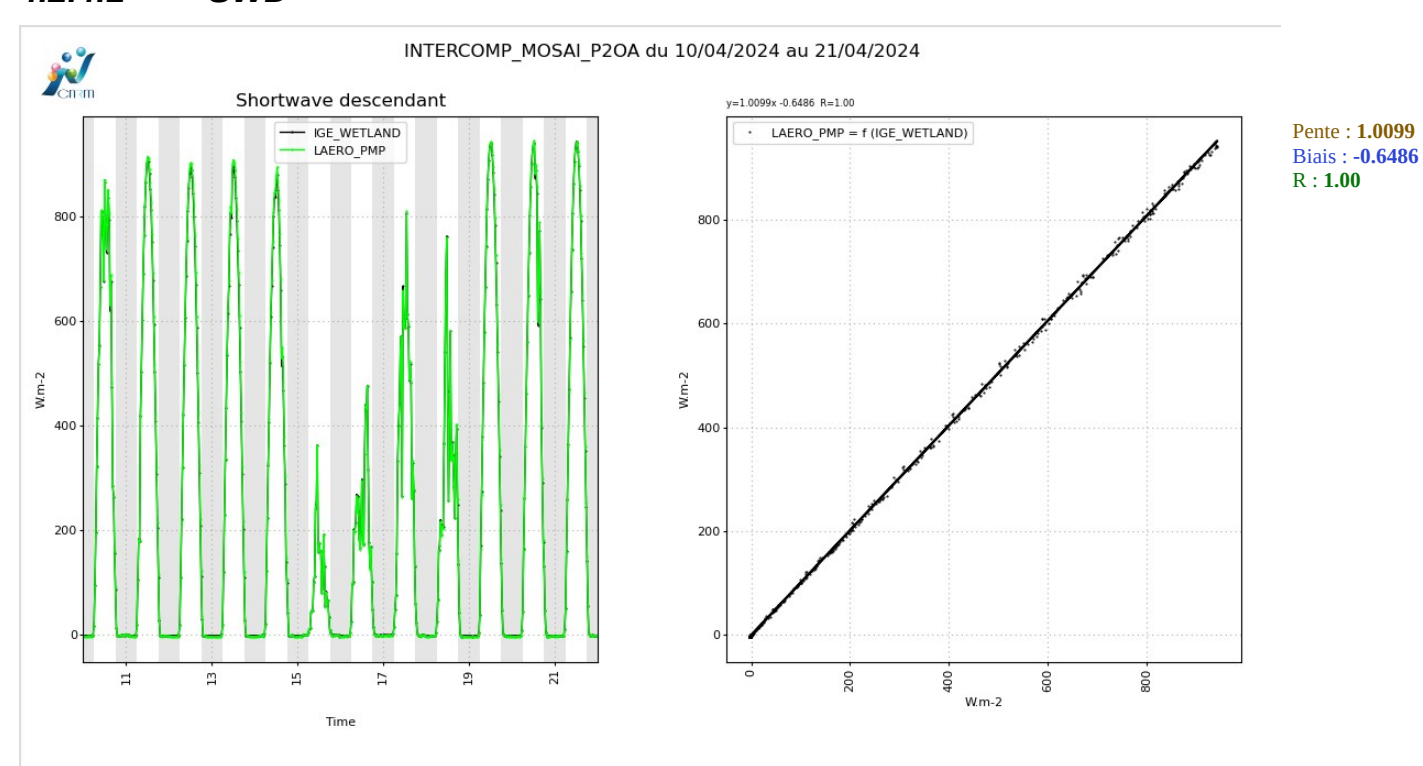
4.2.3.4 LWU



Très bonne corrélation.

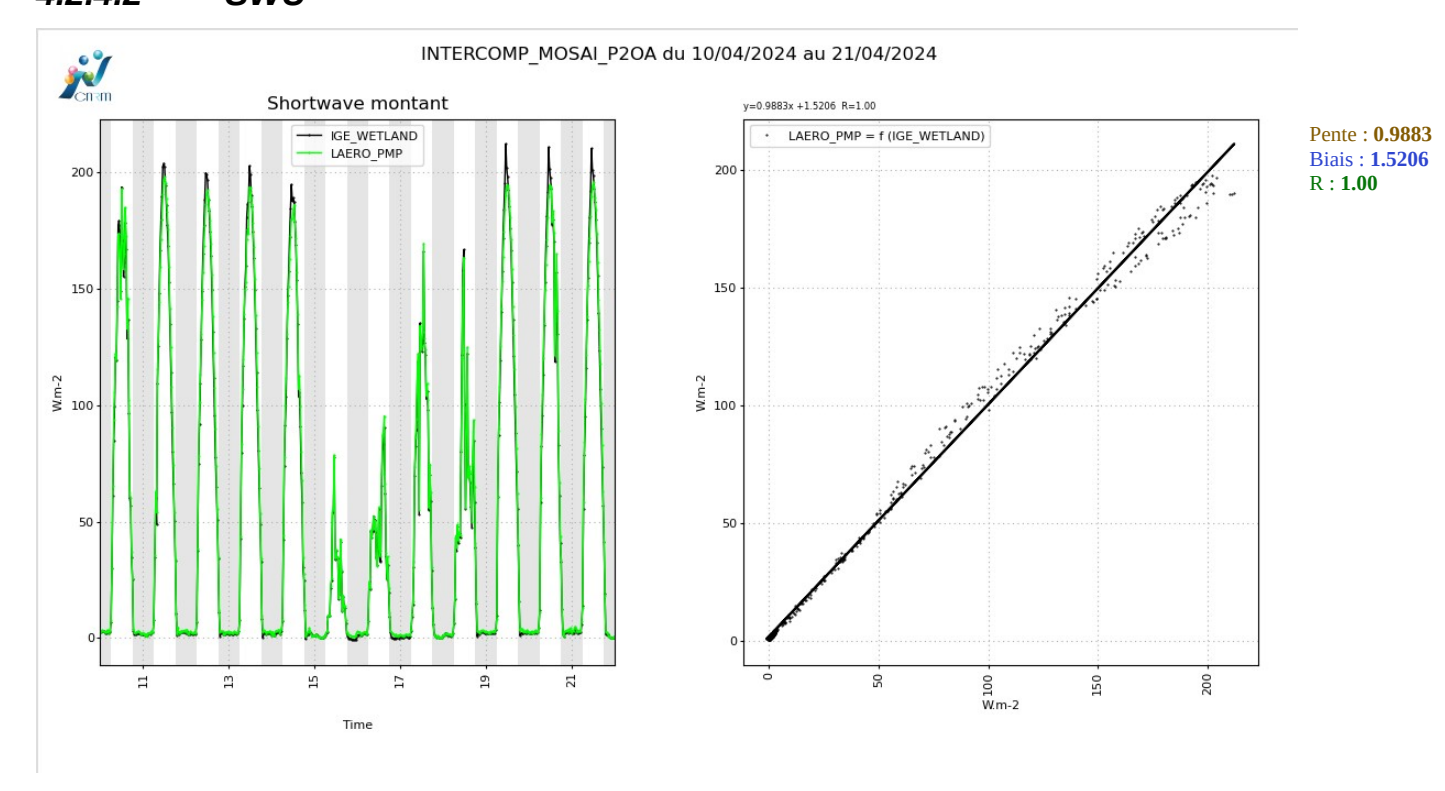
4.2.4 IGE_WETLAND

4.2.4.1 SWD



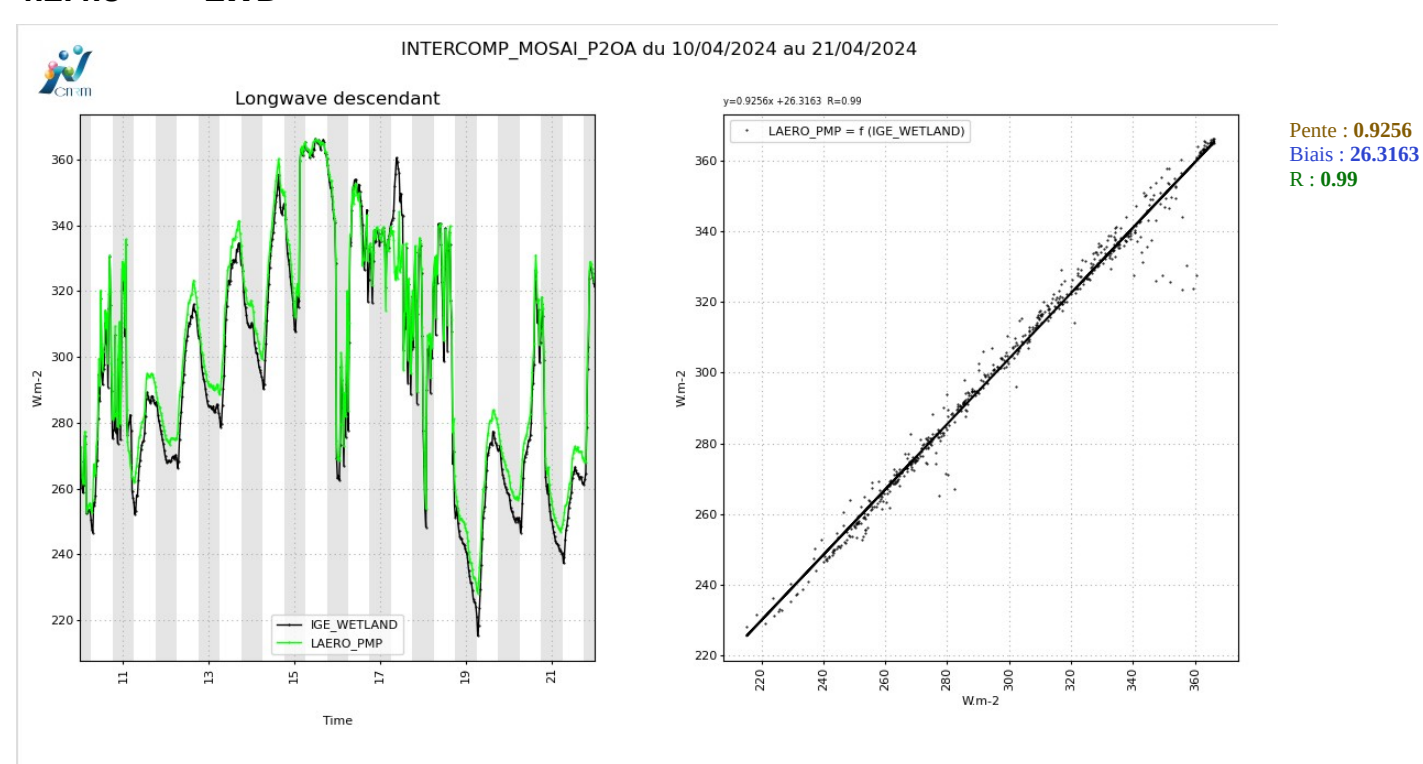


4.2.4.2 SWU



Très bonne corrélation. IGE_WETLAND > LAERO_PMP d'environ 20W/m2 aux valeurs maximales.

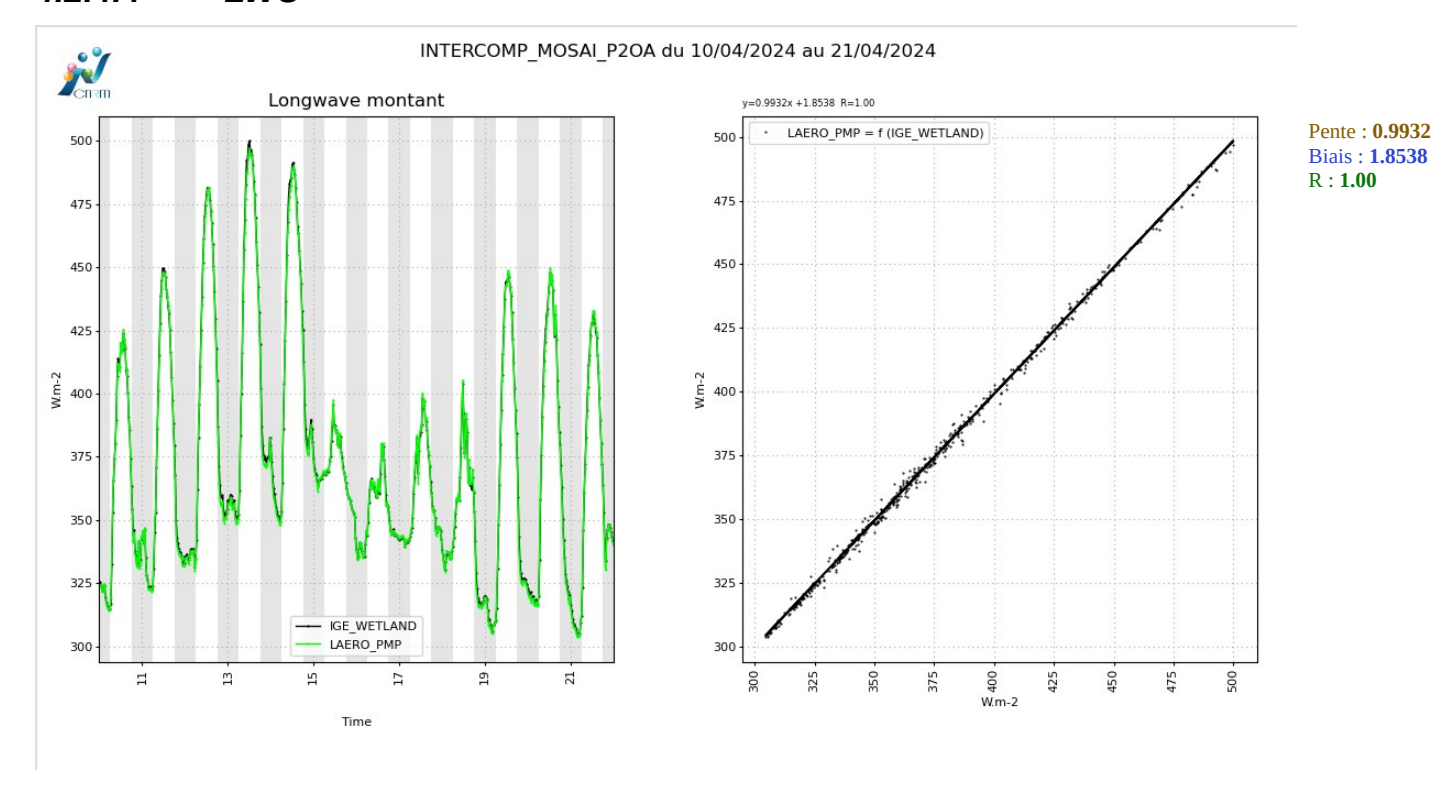
4.2.4.3 LWD



Très bonne corrélation. Ecarts < 10W/m2



4.2.4.4 LWU



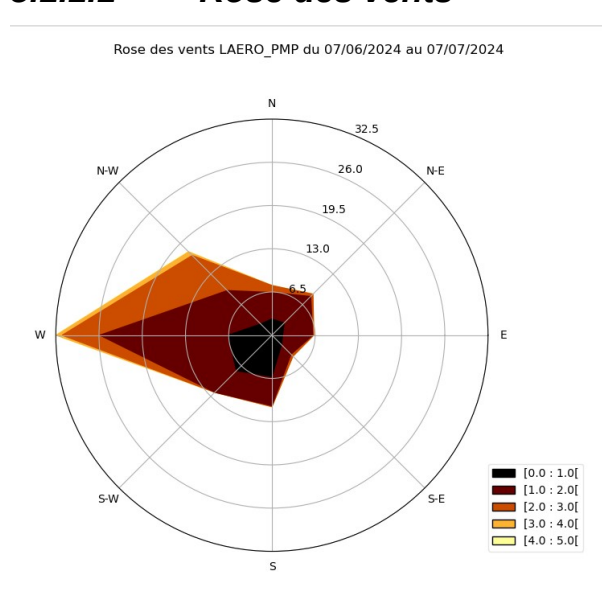
Très bonne corrélation.

5 <u>Comparaison des paramètres de la turbulence</u>

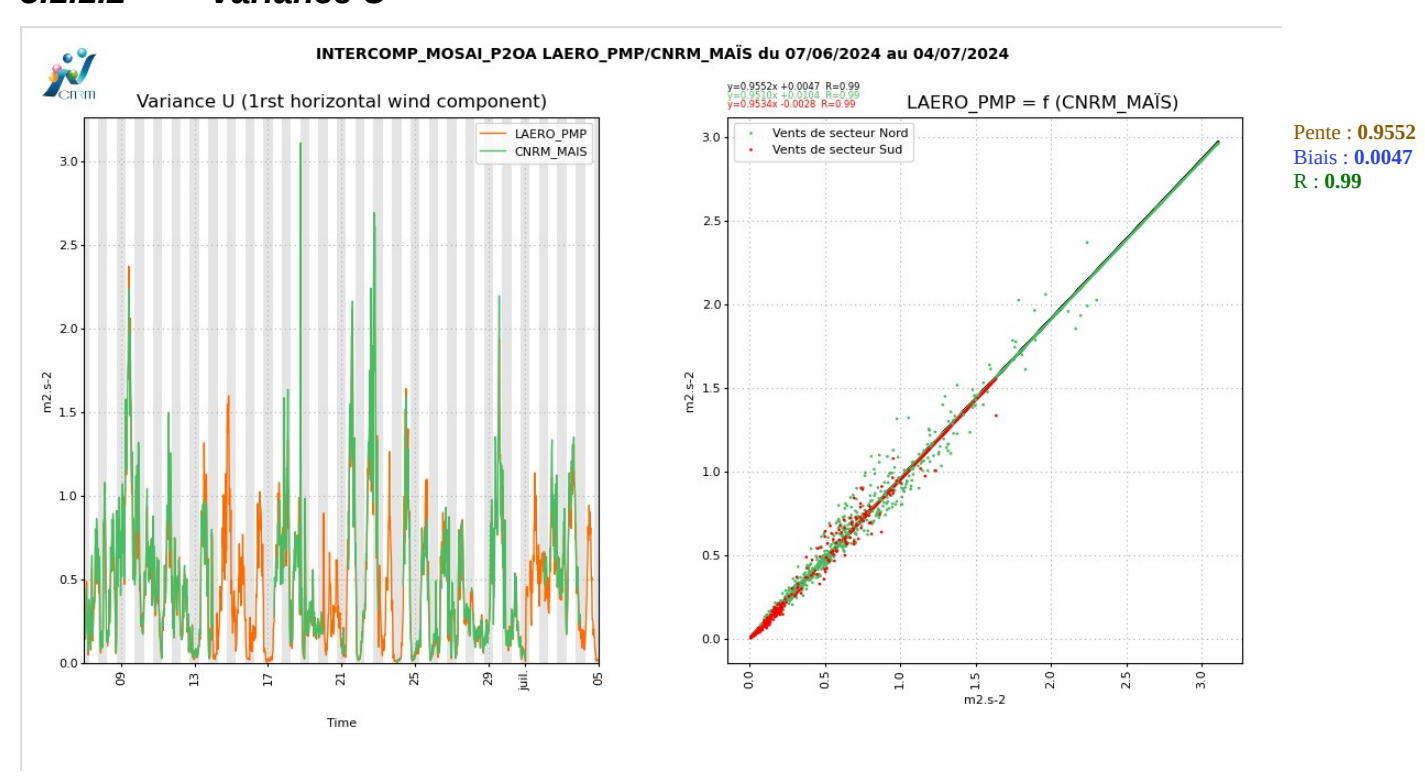
5.1 Variances U,V,W

5.1.1 CNRM_MAIS

5.1.1.1 Rose des vents



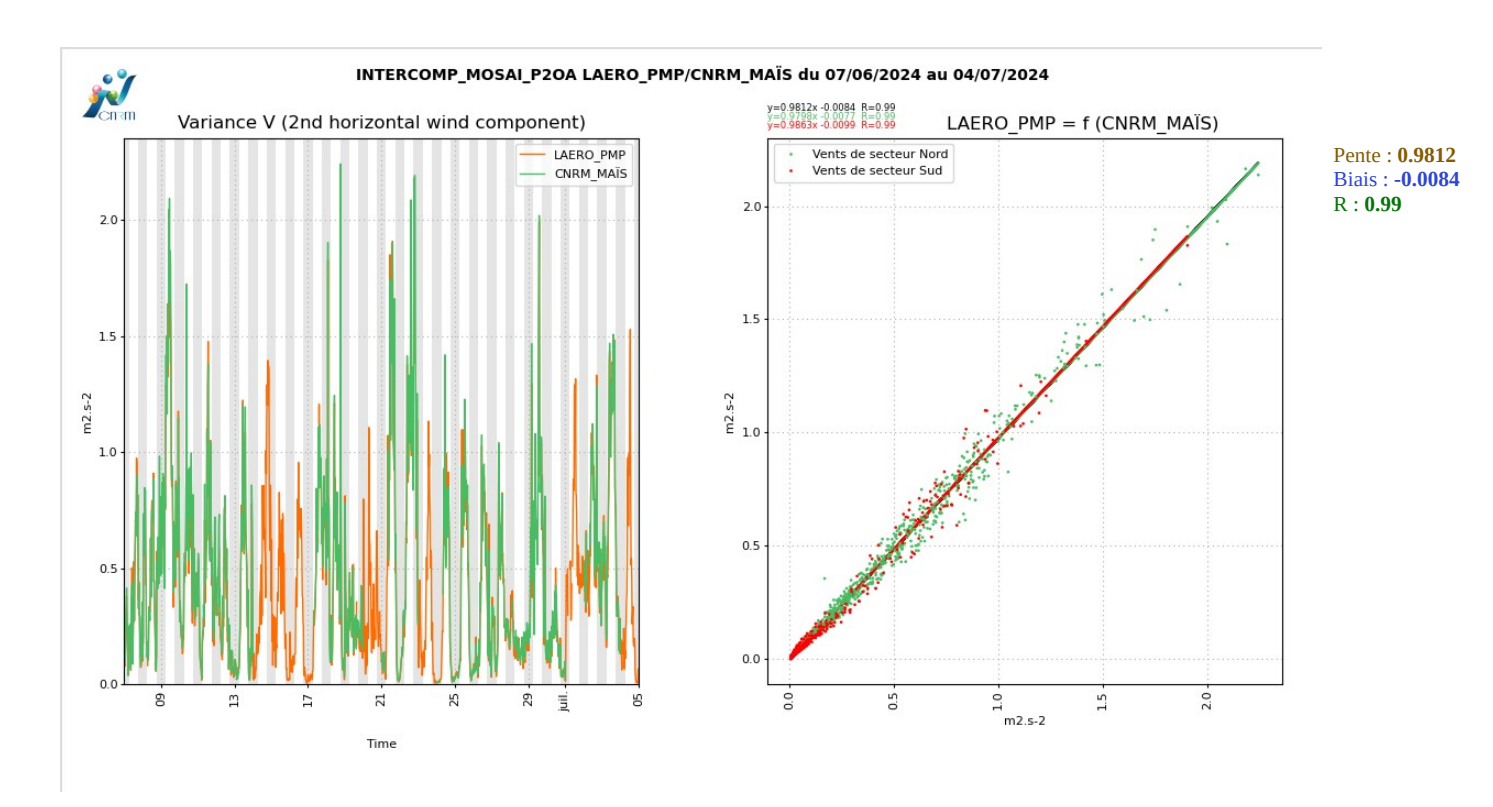
5.1.1.2 *Variance U*



Très bonne corrélation. Pas d'impact de l'échafaudage.

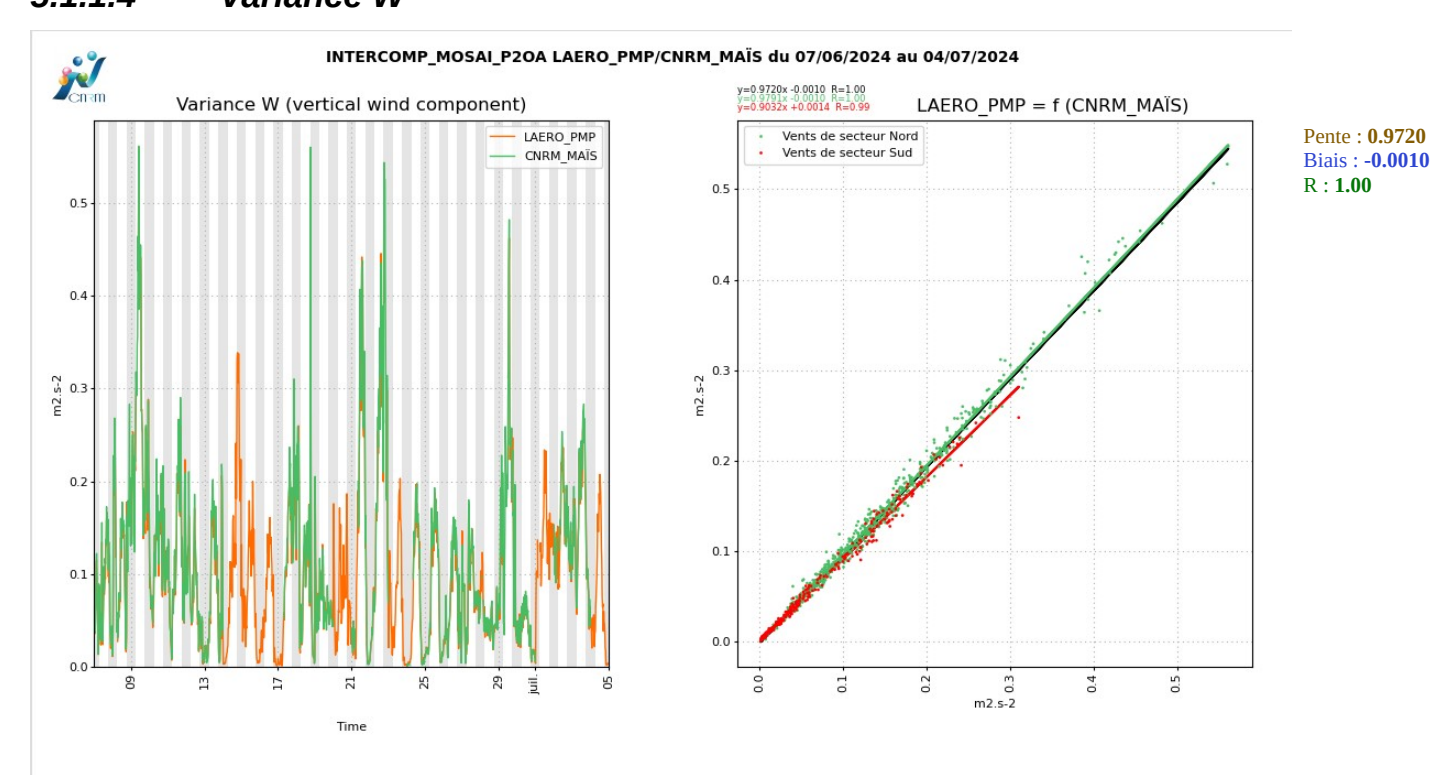


5.1.1.3 *Variance V*



Très bonne corrélation.

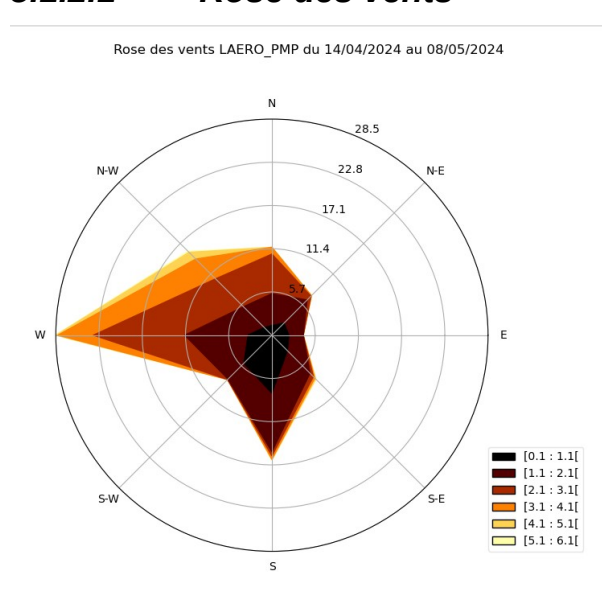
5.1.1.4 Variance W



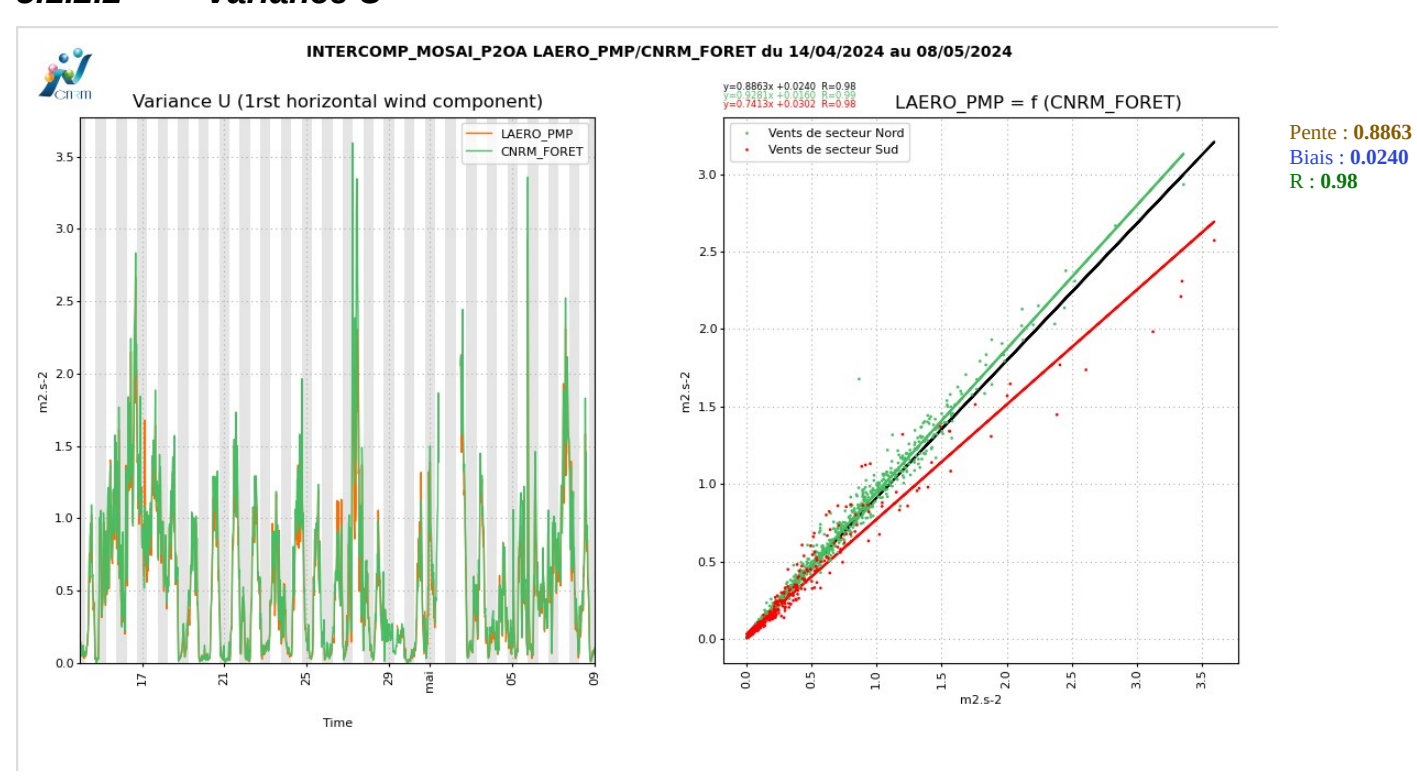


5.1.2 CNRM_FORET

5.1.2.1 Rose des vents

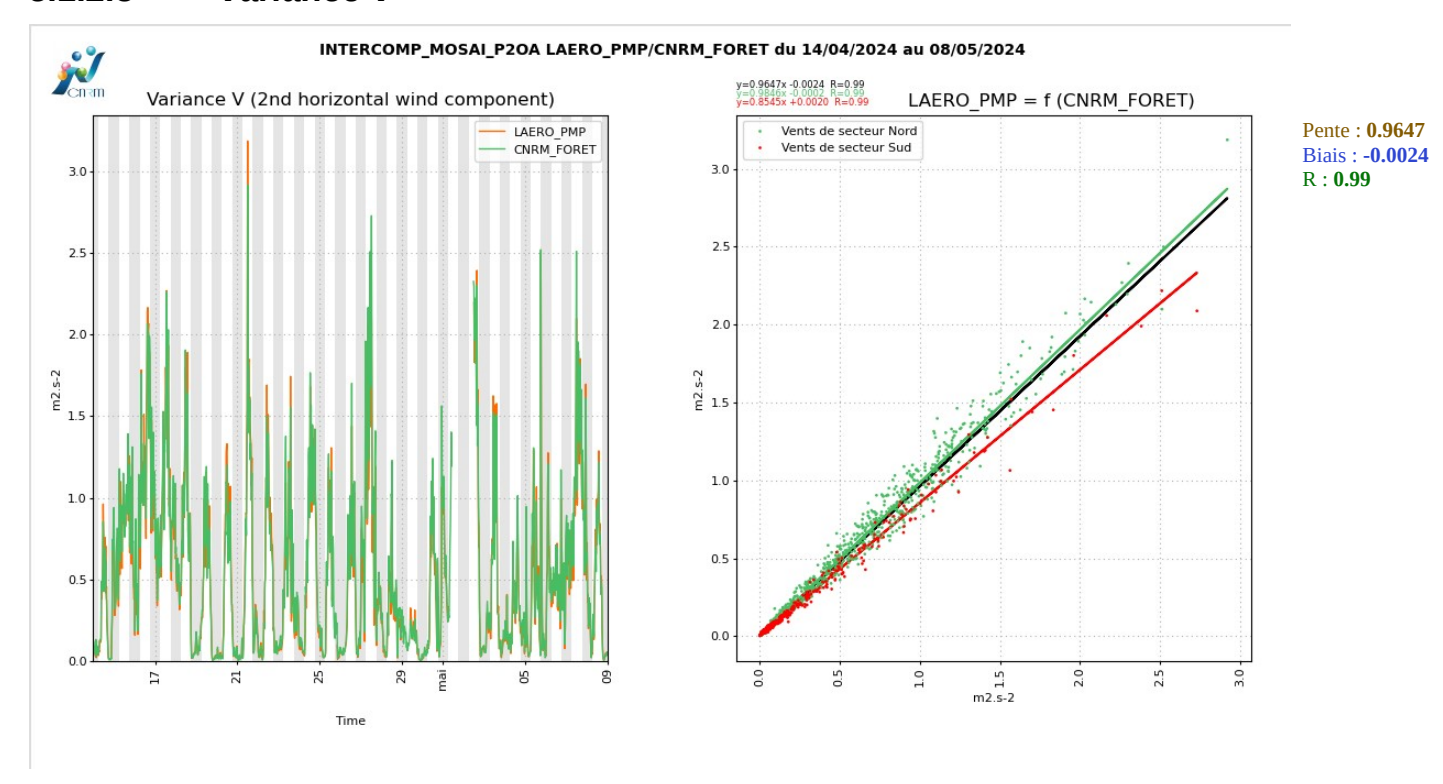


5.1.2.2 Variance U



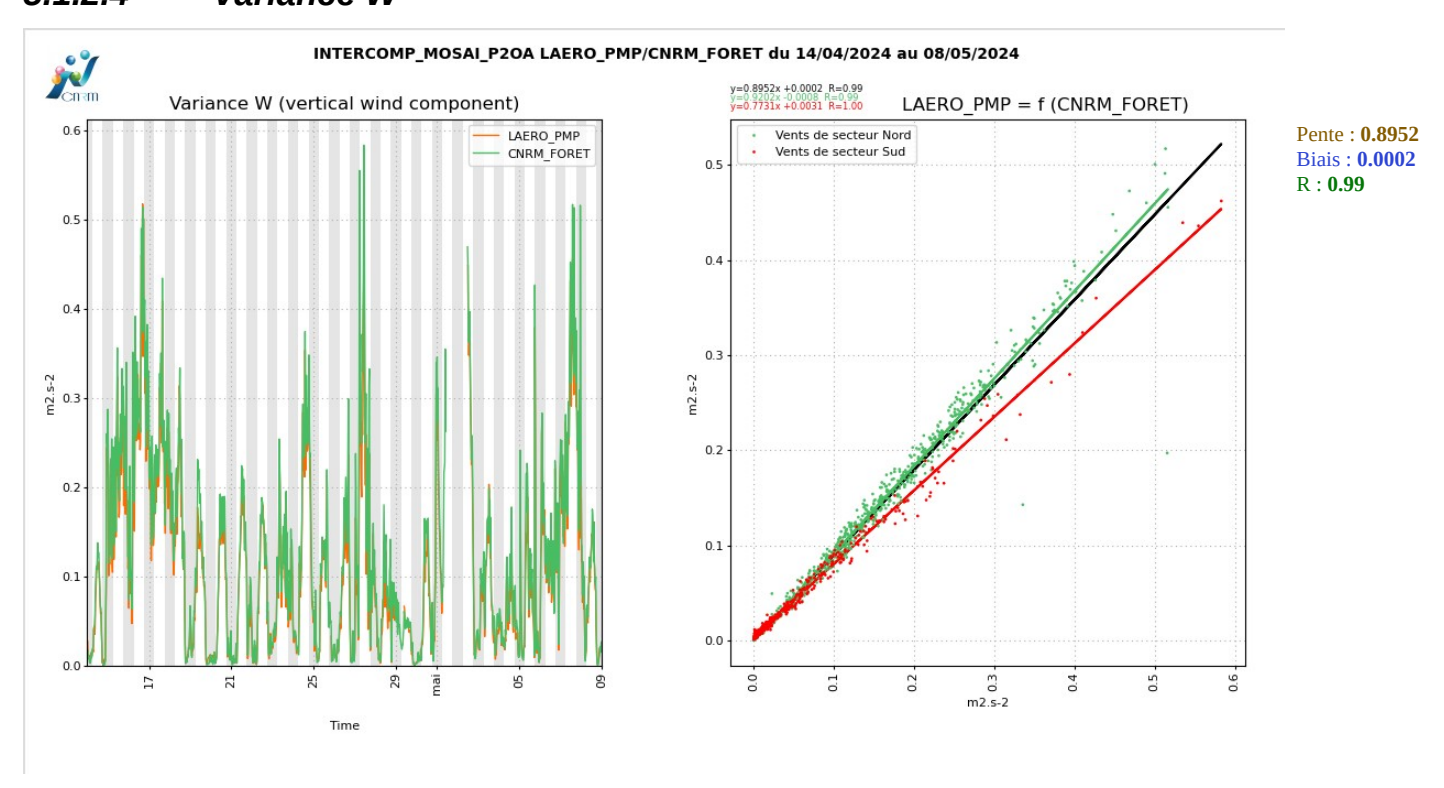
Bonne corrélation. Écarts plus marqués par vents de Sud (échafaudage)

5.1.2.3 *Variance V*



Très bonne corrélation. Ecarts plus marqués par vents de sud (échafaudage)

5.1.2.4 Variance W

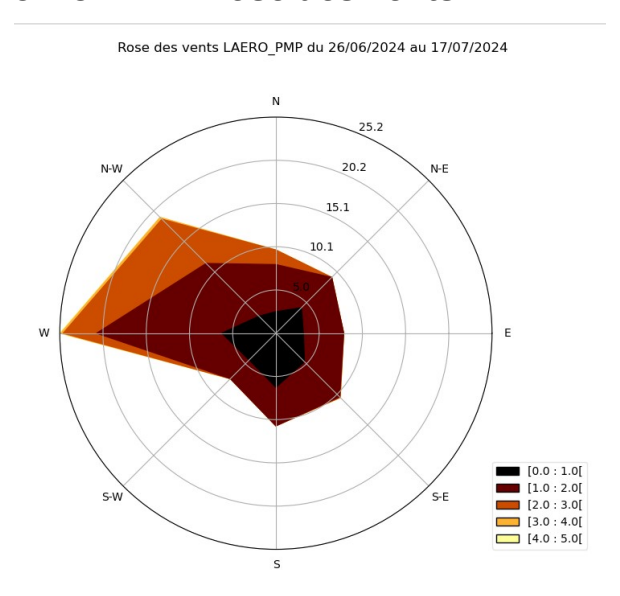


Très bonne corrélation par vents de Nord. Forte influence de l'échafaudage.

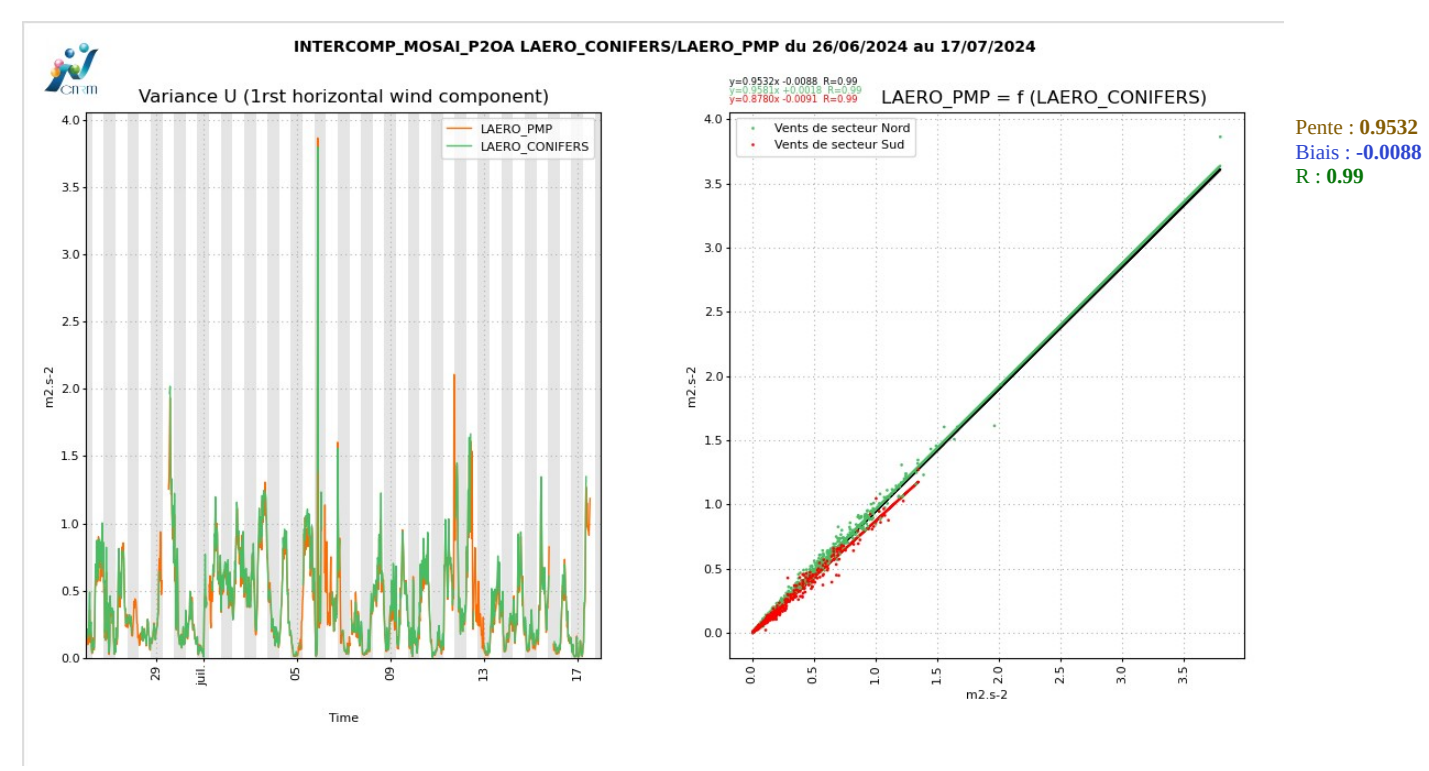


5.1.3 LAERO_CONIFERS

5.1.3.1 Rose des vents

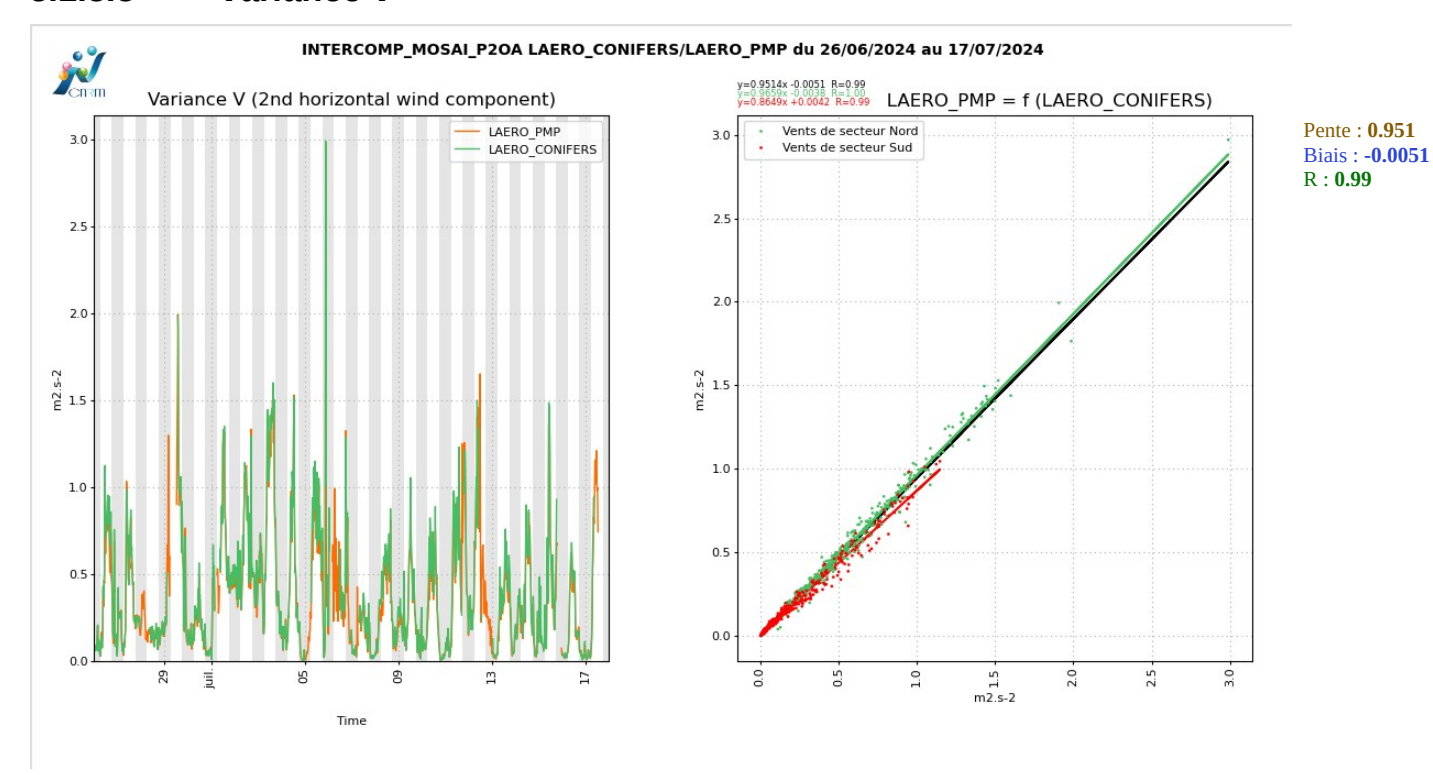


5.1.3.2 *Variance U*



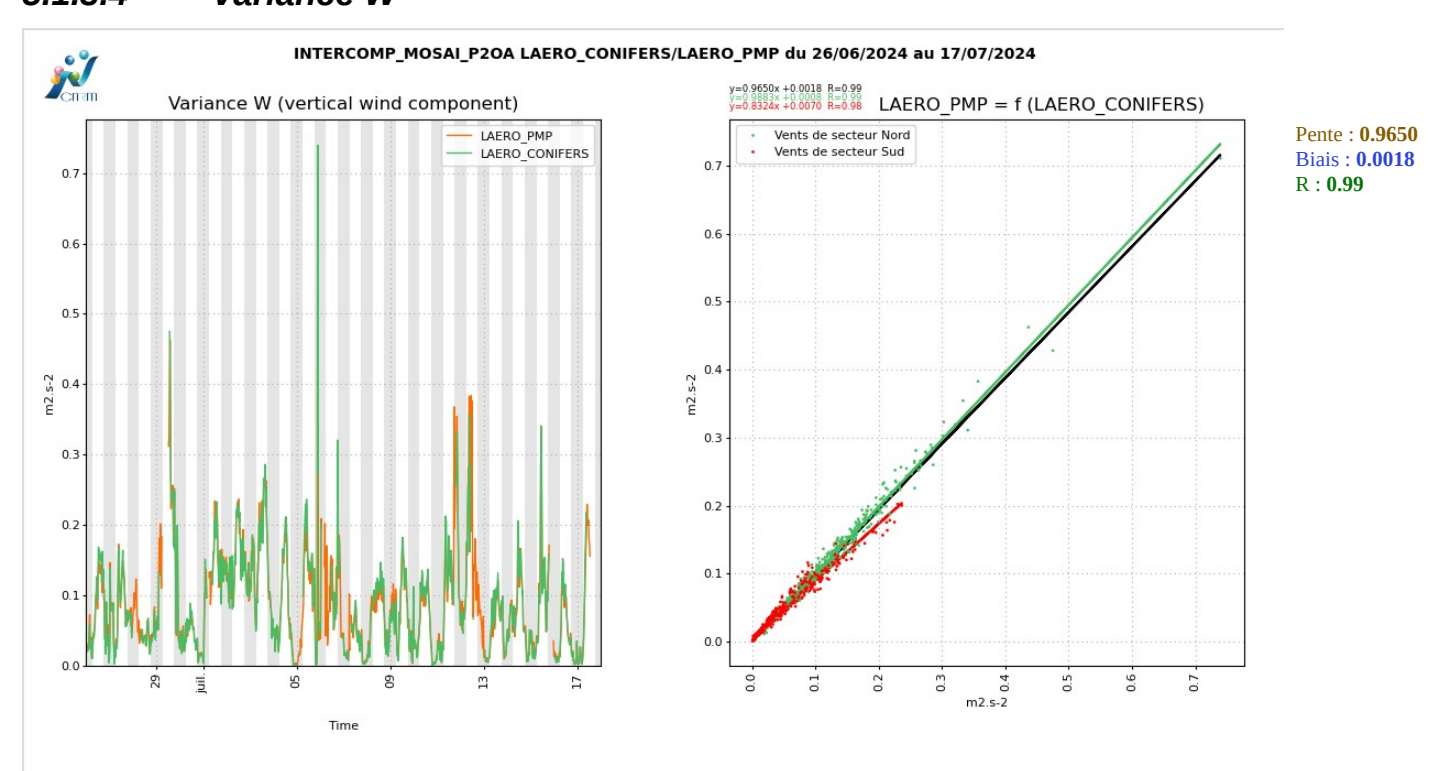
Très bonne corrélation. Peu d'impact de l'échafaudage.

5.1.3.3 *Variance V*



Très bonne corrélation.

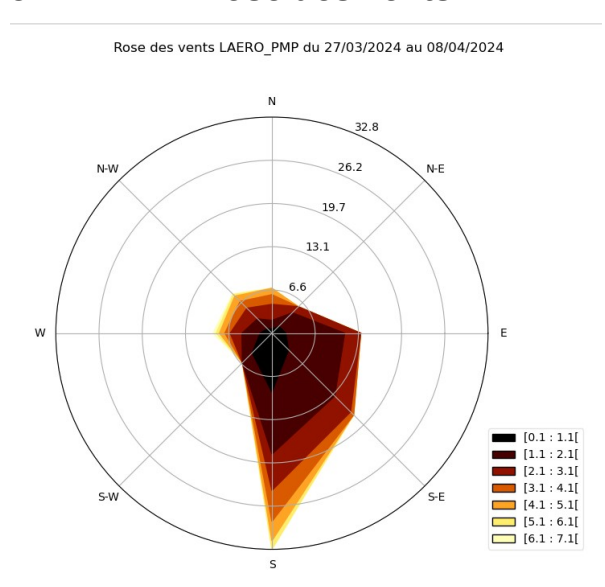
5.1.3.4 Variance W



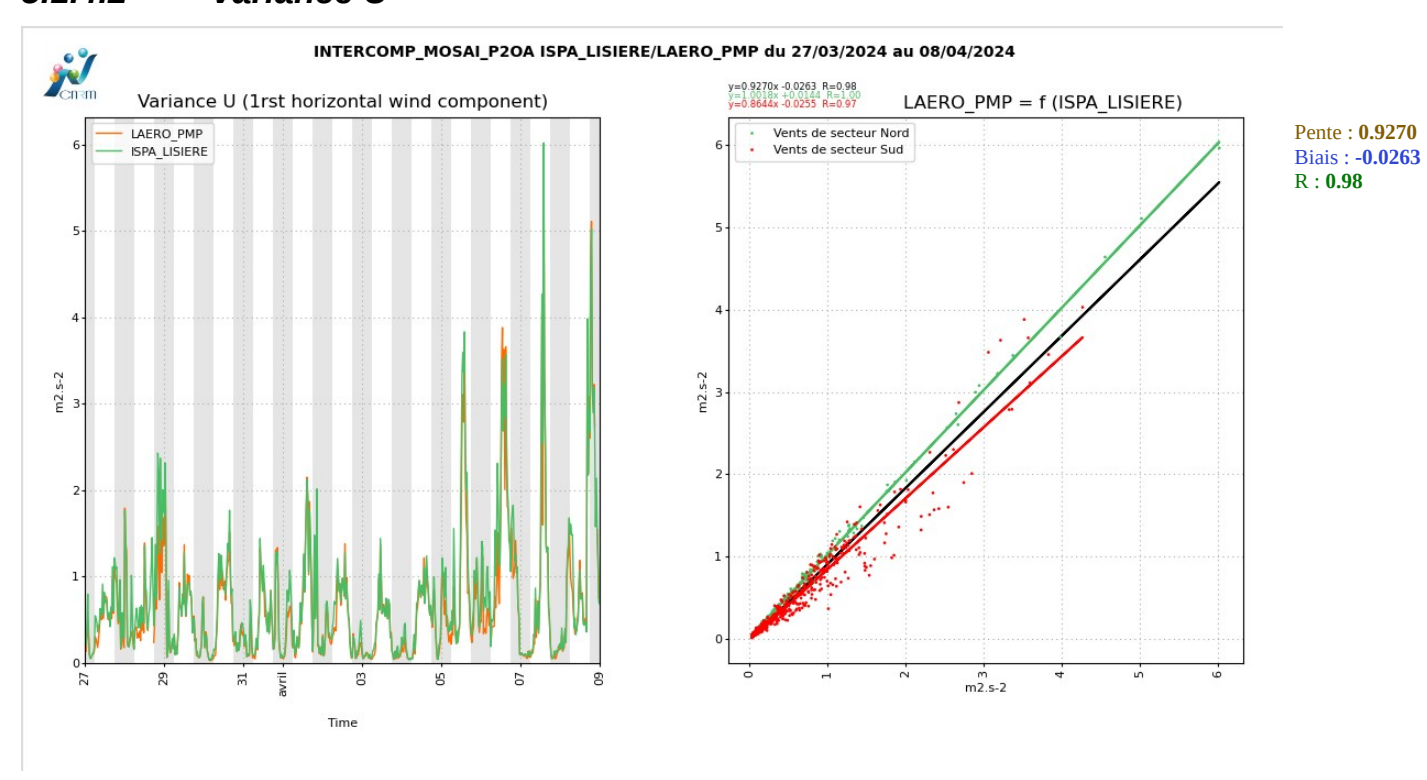
Très bonne corrélation par vents de Nord.

5.1.4 ISPA_LISIERE

5.1.4.1 Rose des vents



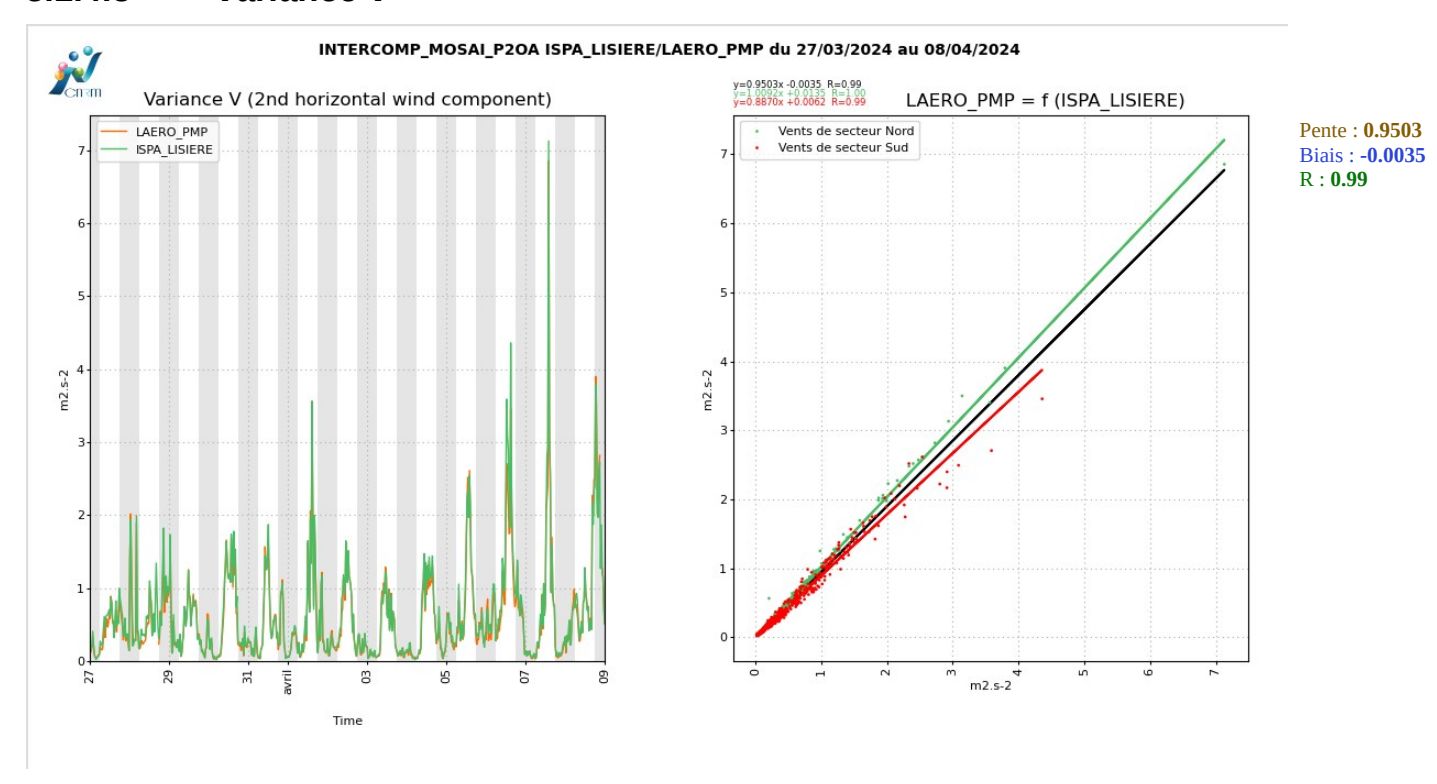
5.1.4.2 *Variance U*



Beaucoup de vents de Sud sur la période, forte influence de l'échafaudage. Très bonne corrélation par vents de Nord.

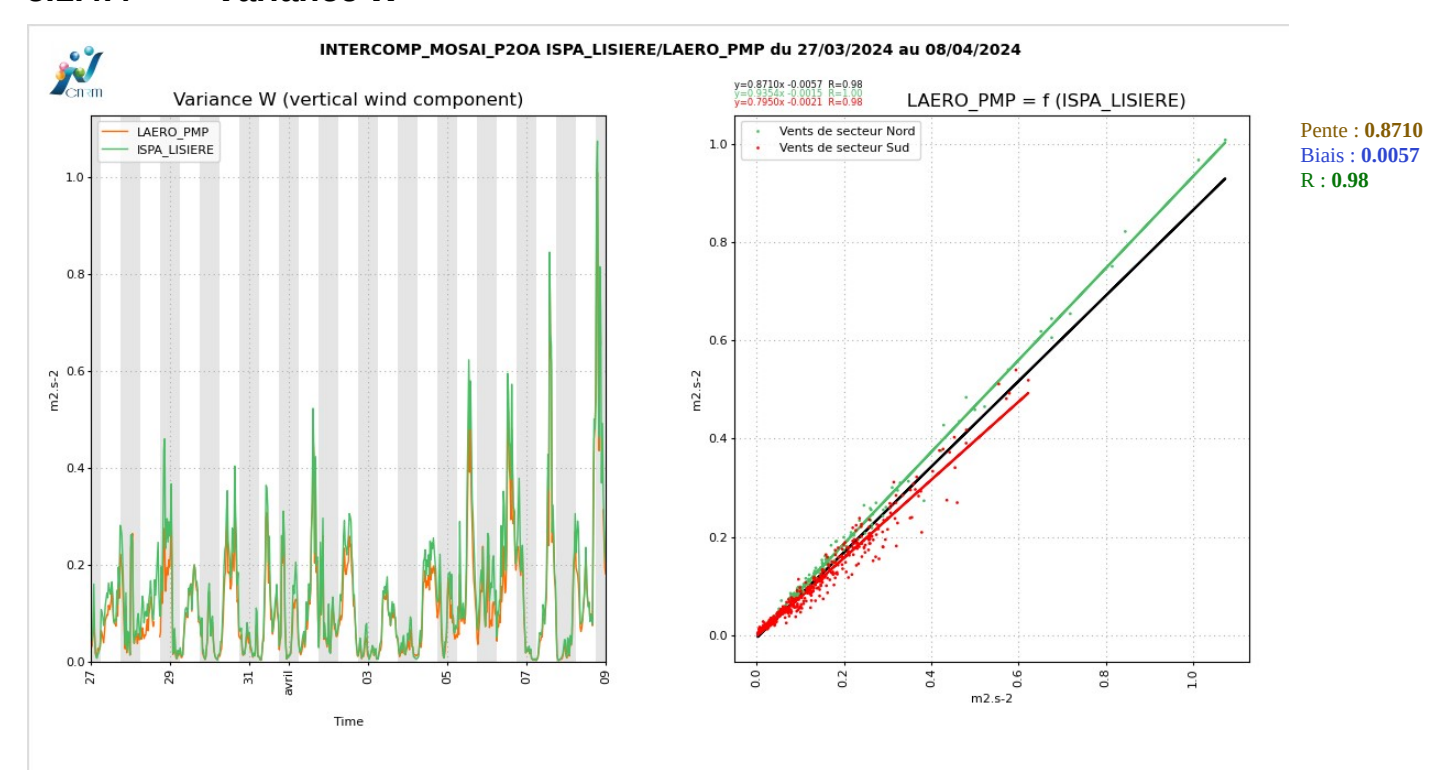


5.1.4.3 Variance V



Très bonne corrélation par vents de Nord.

5.1.4.4 Variance W

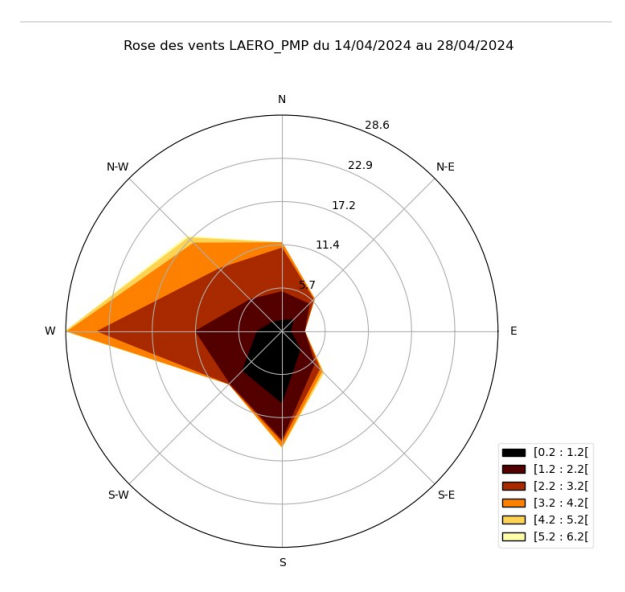


Très bonne corrélation par vents de Nord.

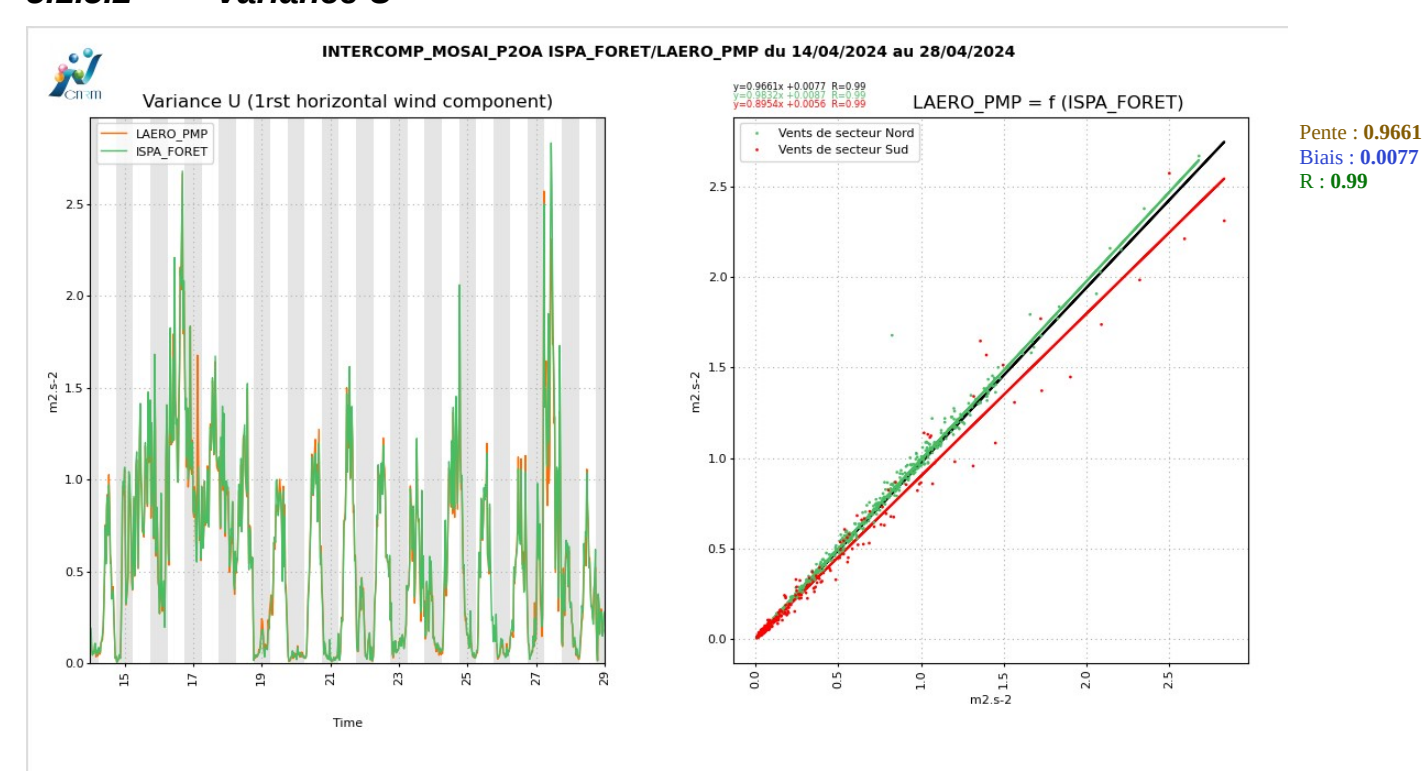


5.1.5 ISPA_FORET

5.1.5.1 Rose des vents

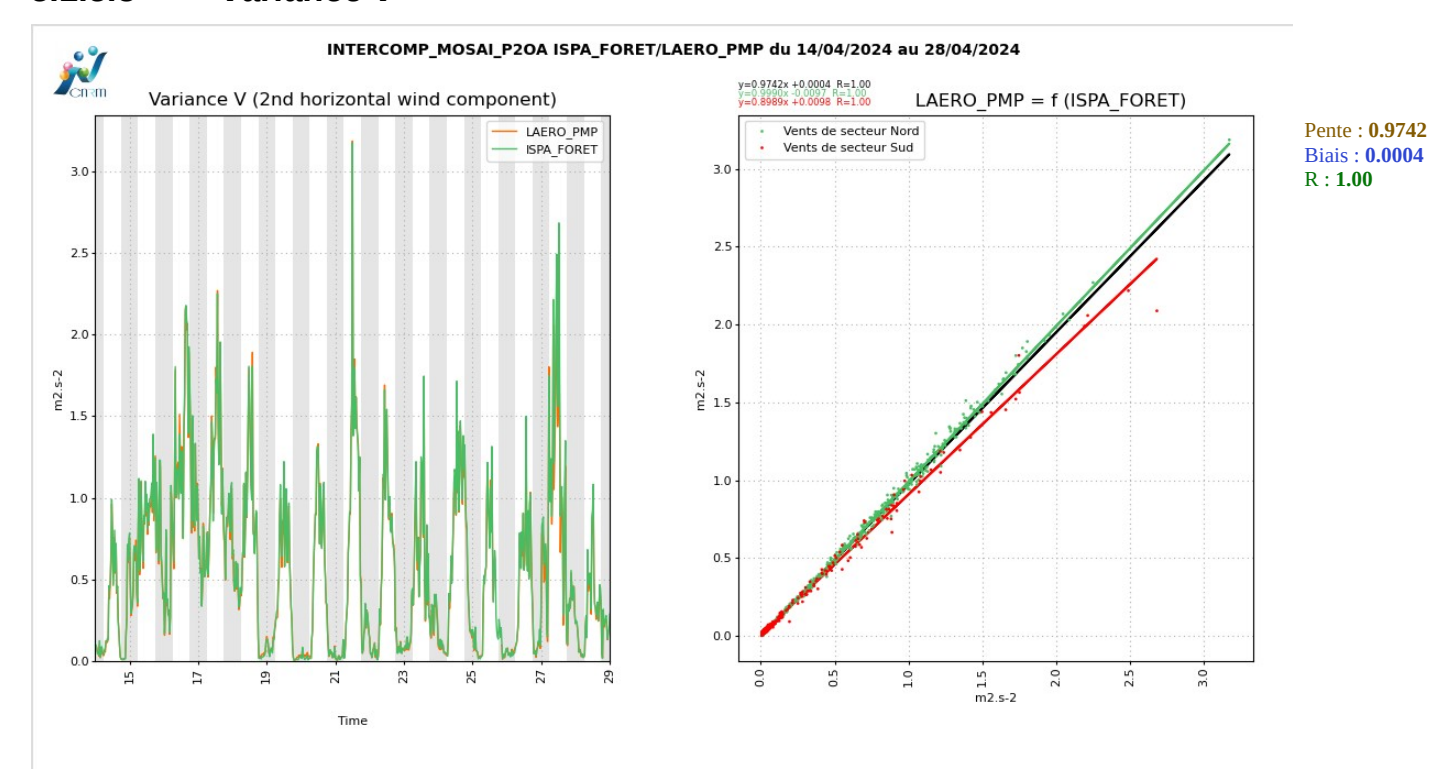


5.1.5.2 Variance U



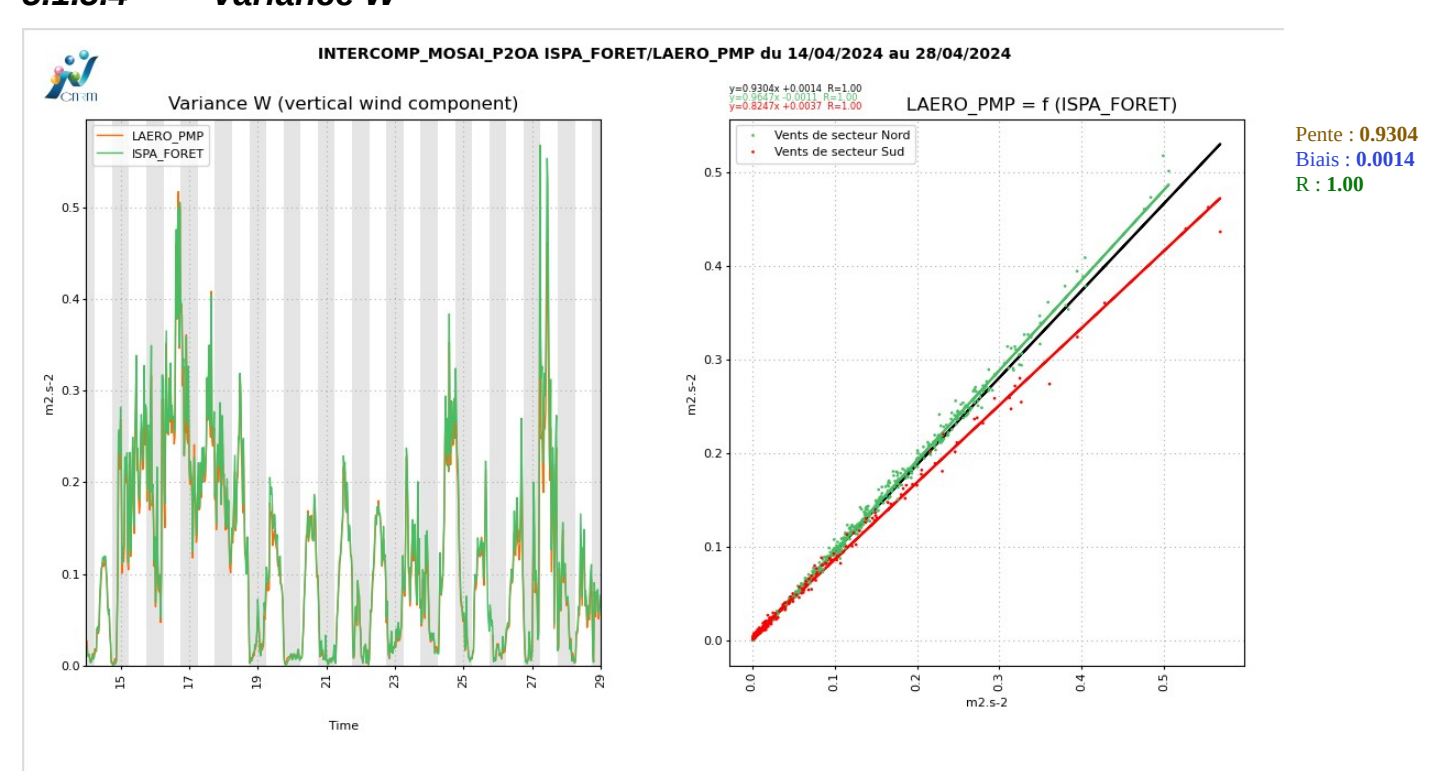


5.1.5.3 Variance V



Très bonne corrélation.

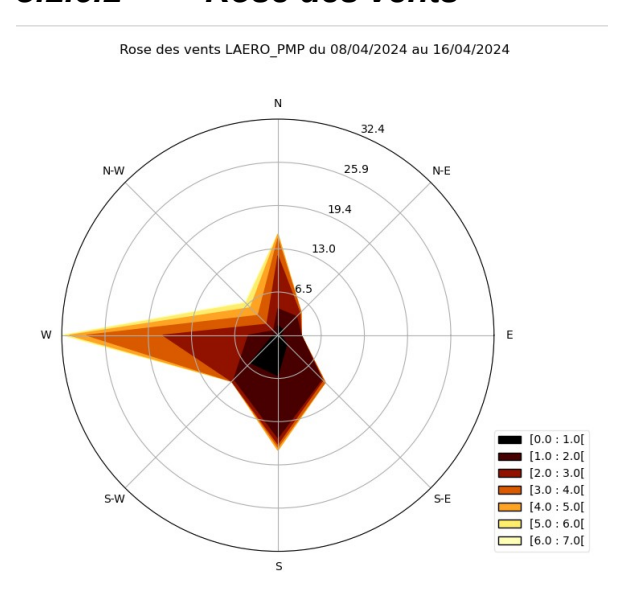
5.1.5.4 Variance W



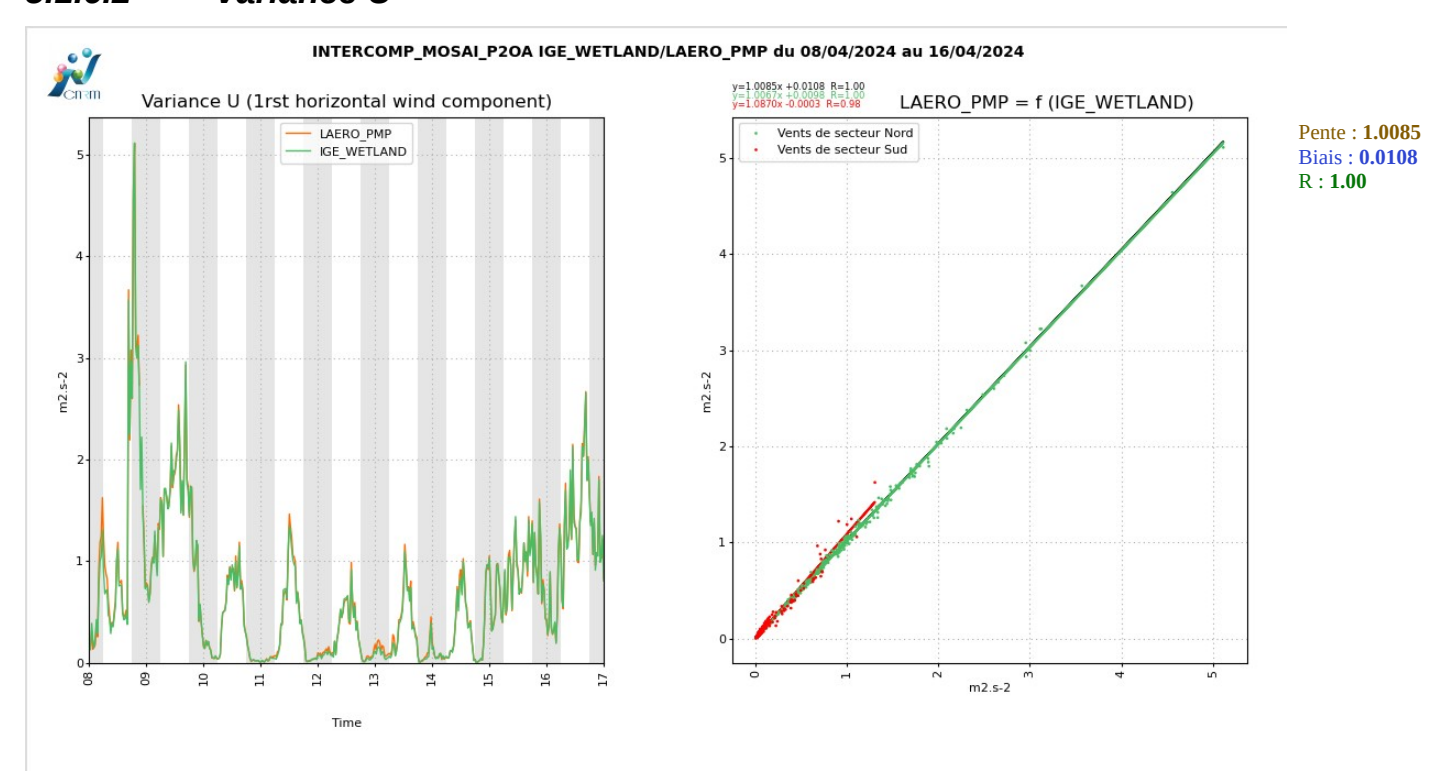
Très bonne corrélation par vents de Nord.

5.1.6 IGE_WETLAND

5.1.6.1 Rose des vents

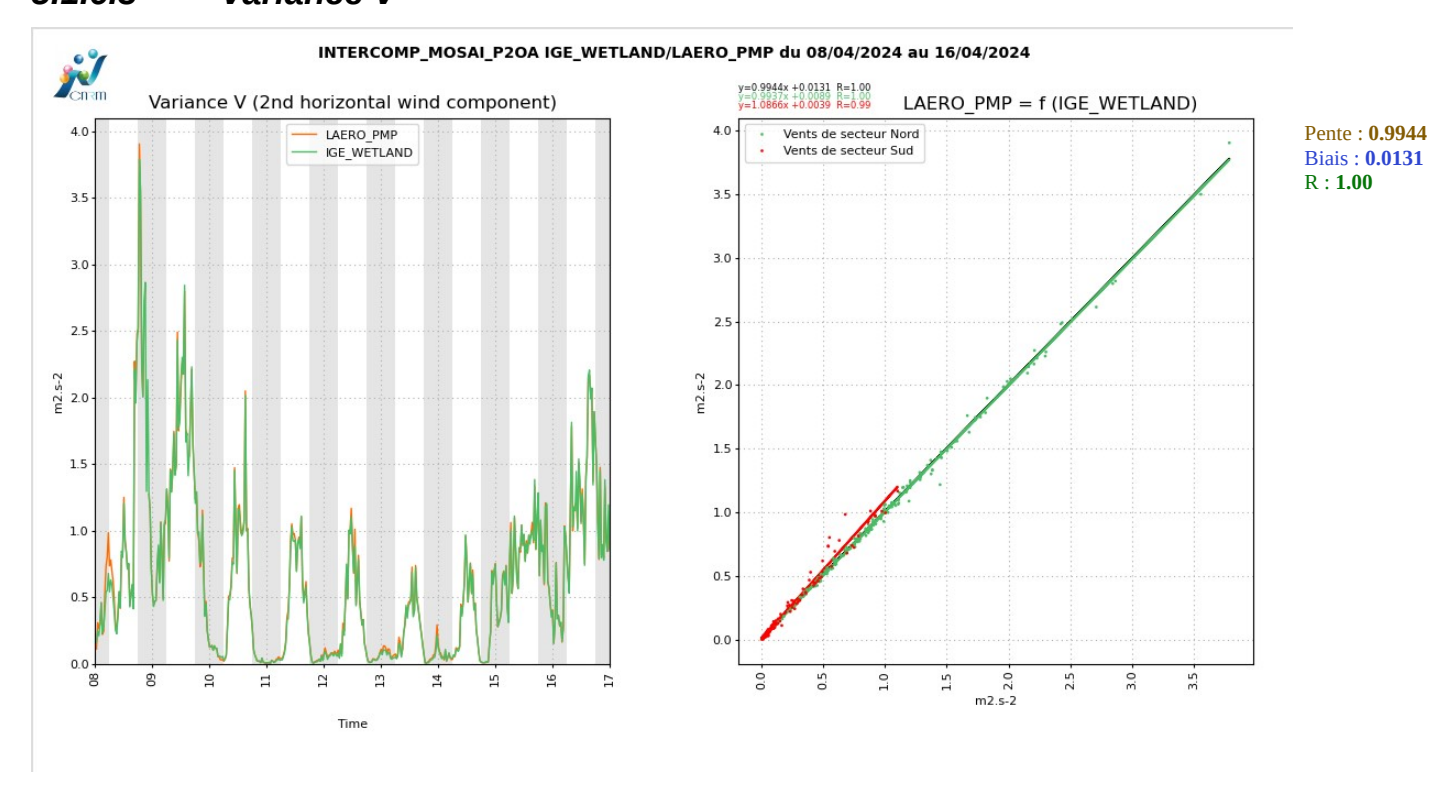


5.1.6.2 Variance U



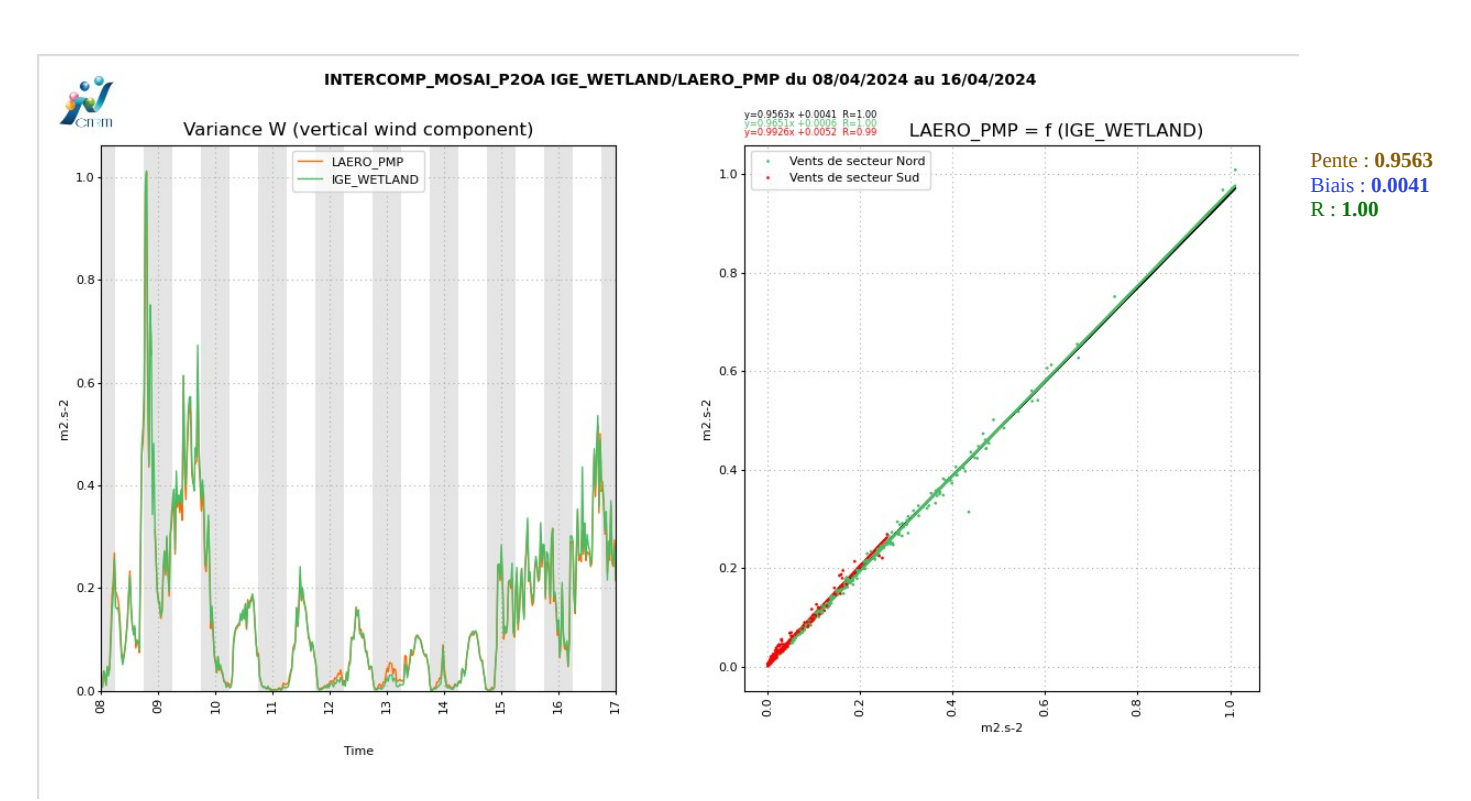


5.1.6.3 *Variance V*



Très bonne corrélation.

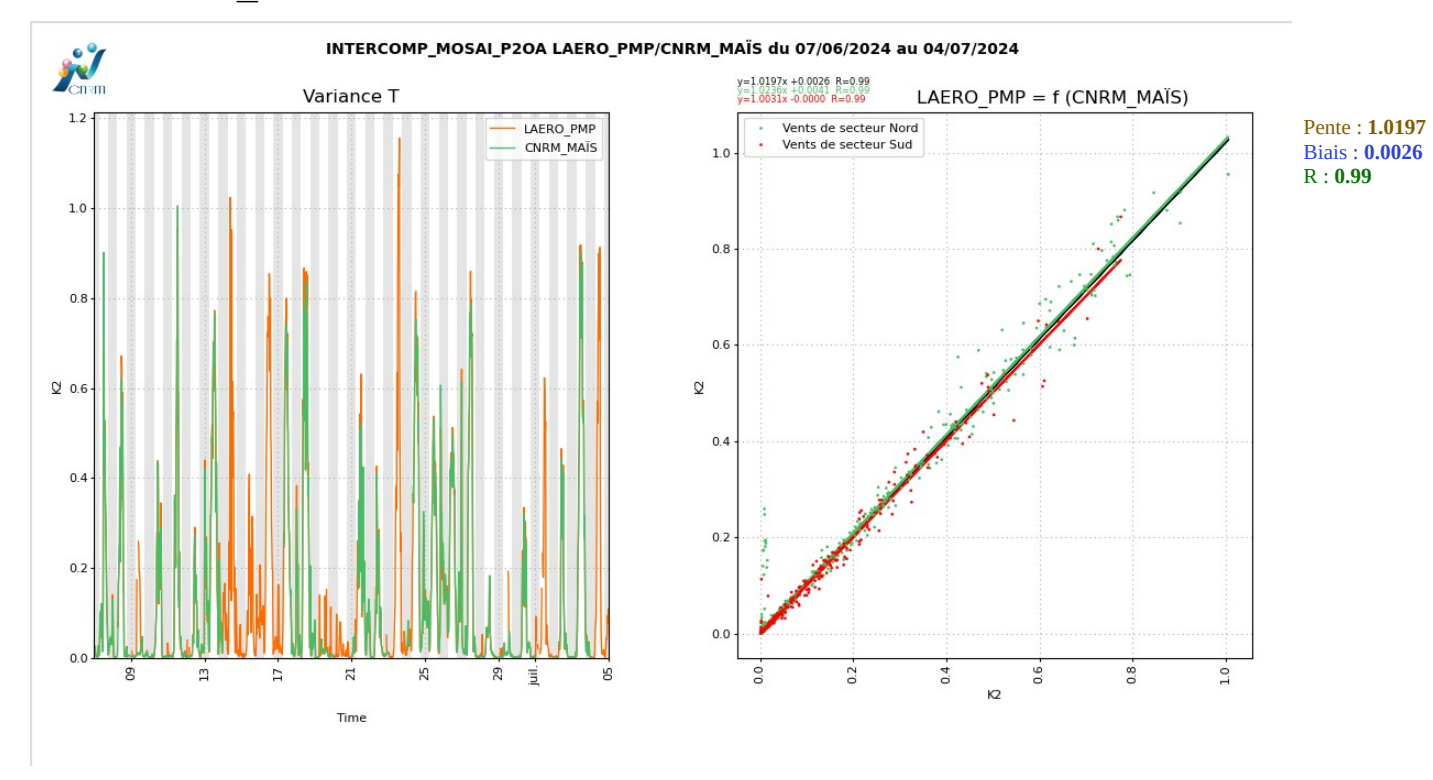
5.1.6.4 Variance W





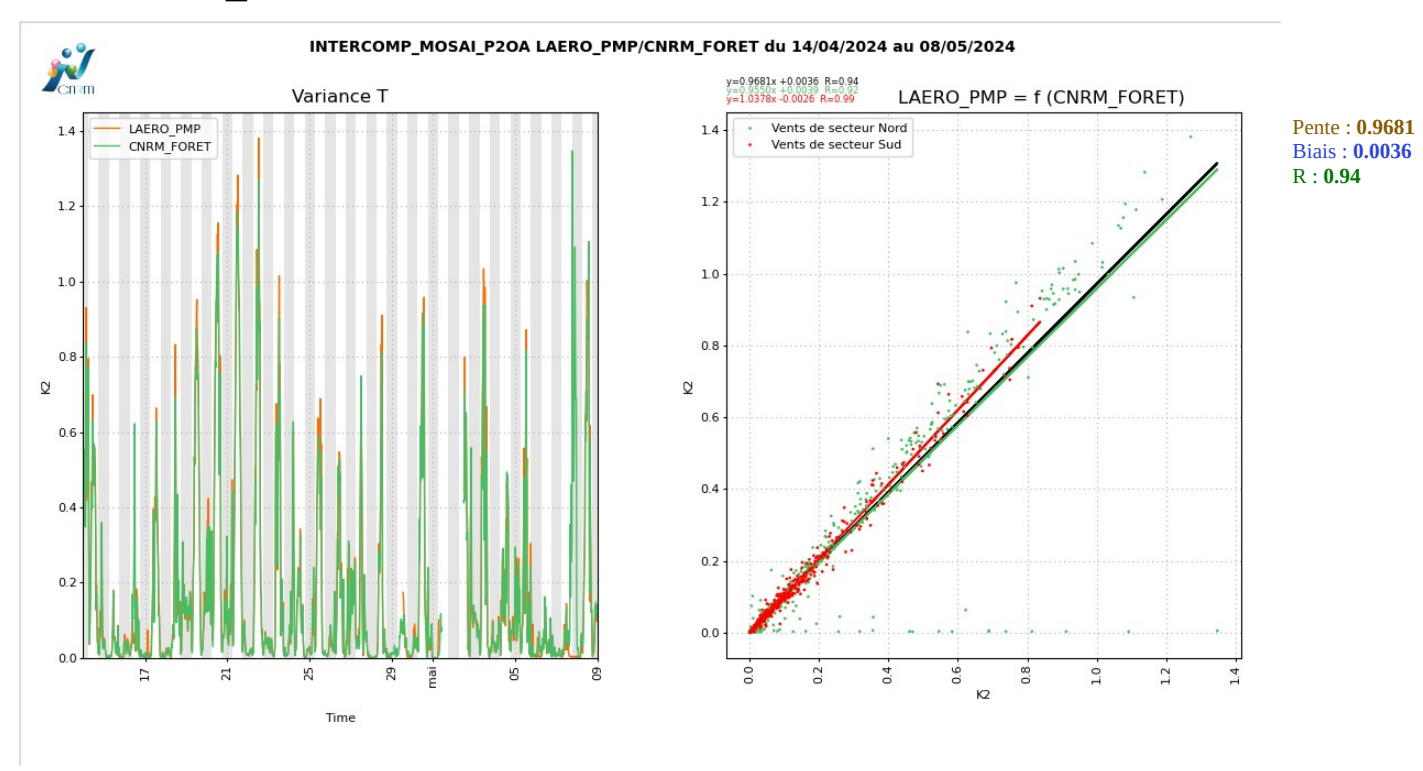
5.2 Variances T sonique

5.2.1 CNRM_MAIS



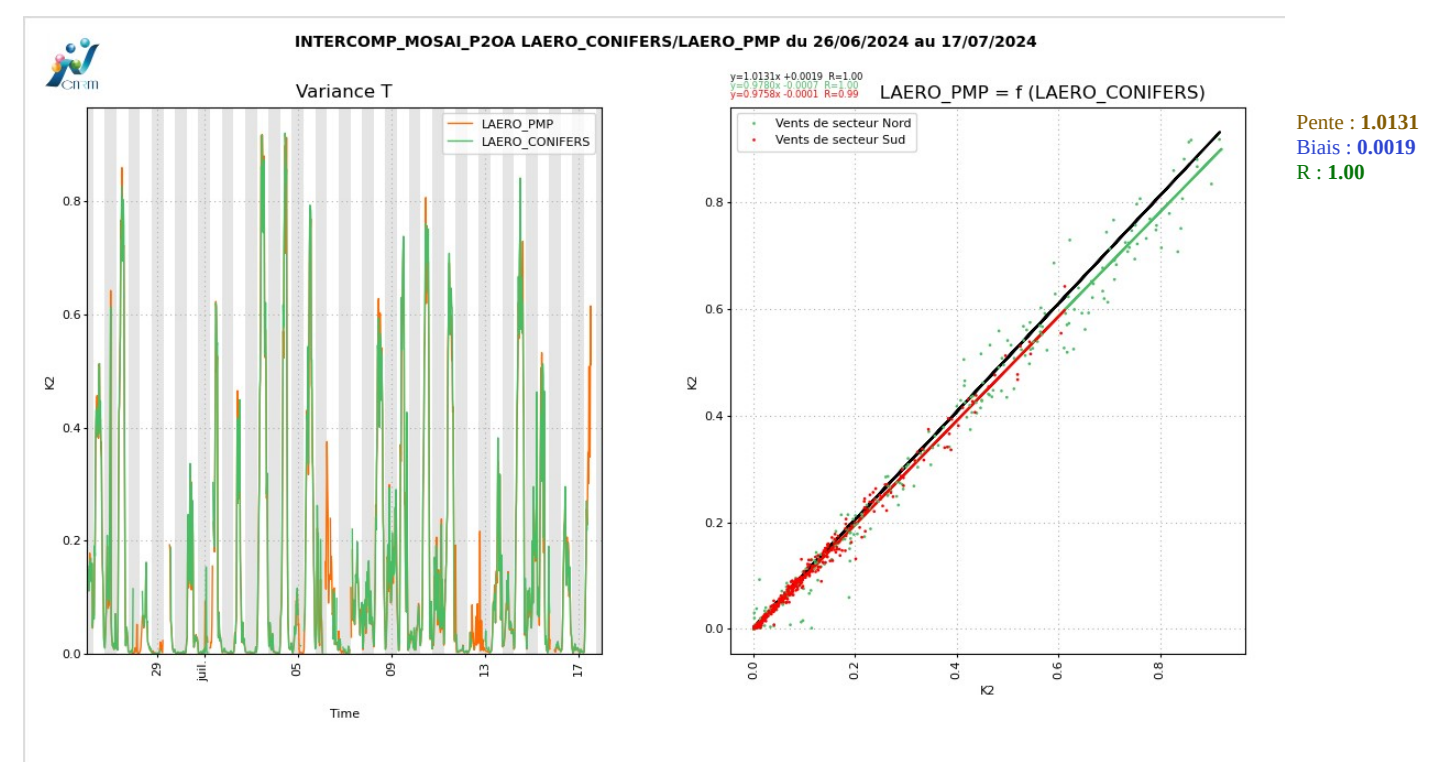
Bonne corrélation.

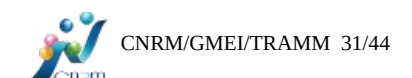
5.2.2 CNRM_FORET



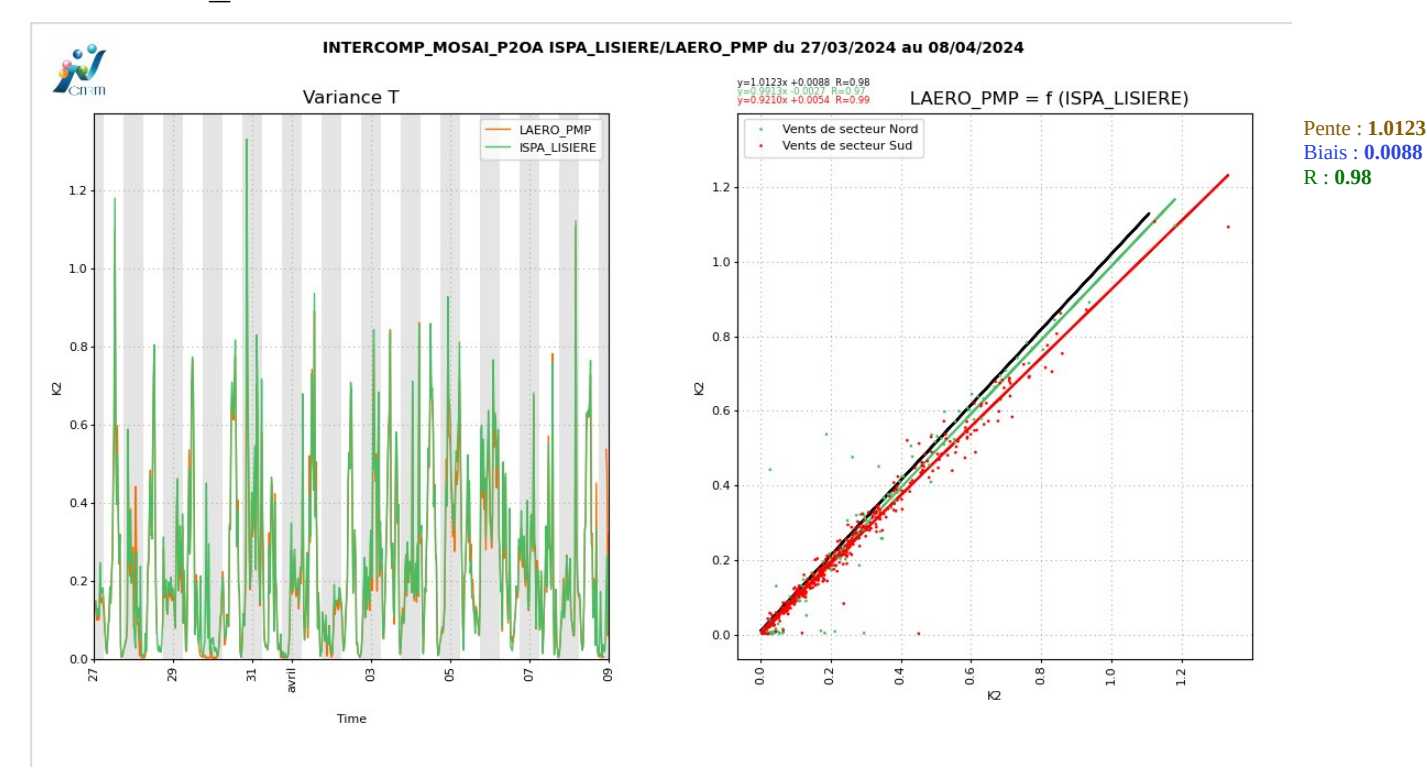
Bonne corrélation. La série de valeurs à 0 pour LAERO_PMP sur le graphique de droite correspond à la journée du 07/05/2024 où l'on observe un comportement des capteurs radicalement différents sur la série temporelle de gauche.

5.2.3 LAERO_CONIFERS



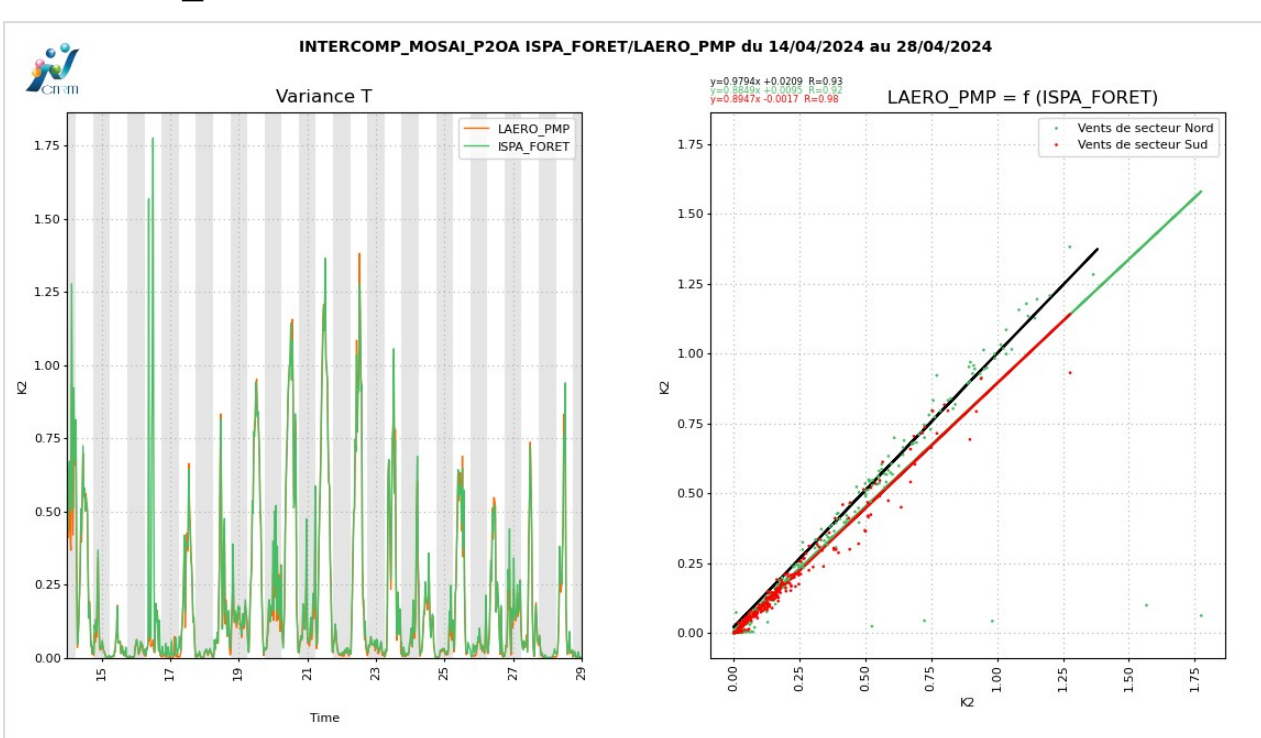


5.2.4 ISPA_LISIERE



Bonne corrélation.

5.2.5 ISPA FORET



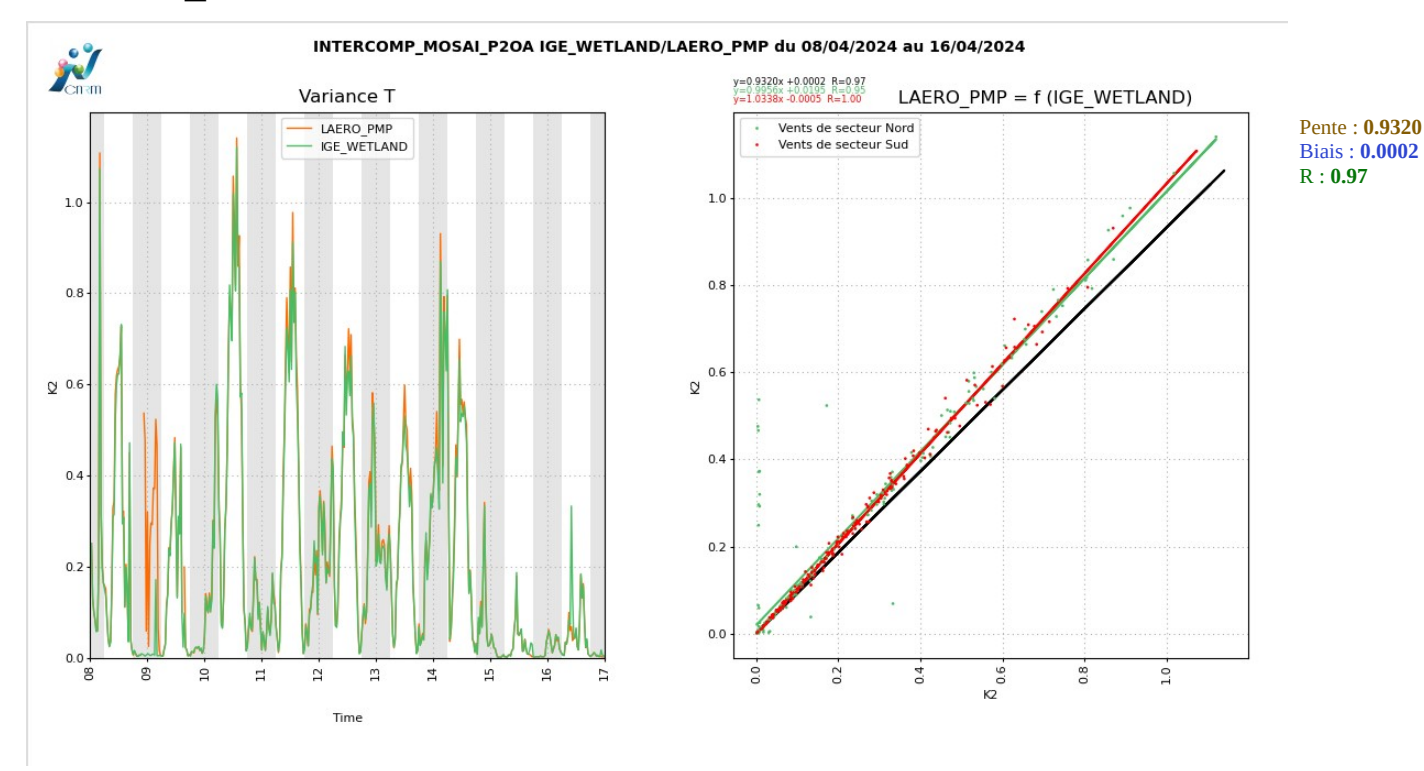
Bonne corrélation.



Pente : **0.9794**

Biais : **0.0209** R : **1.00**

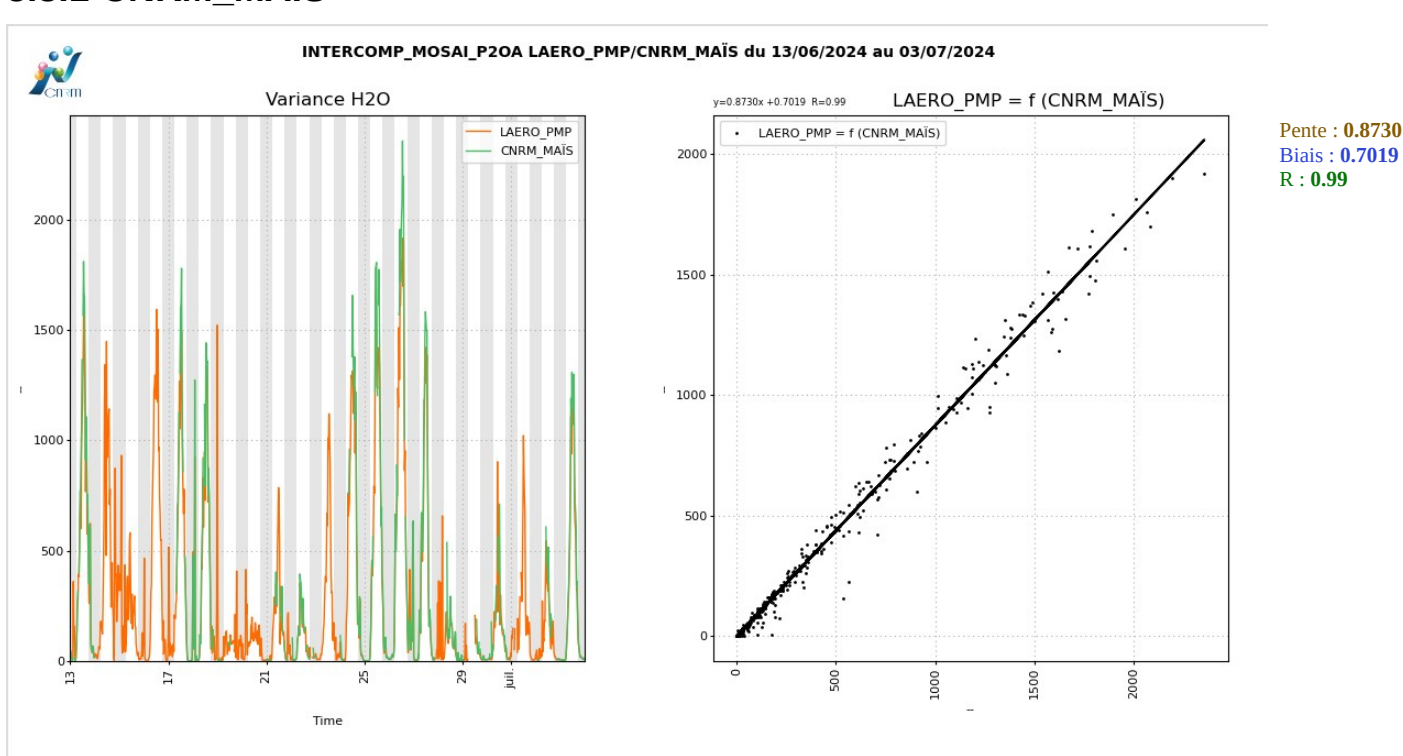
5.2.6 IGE_WETLAND



Bonne corrélation. Comportements différents la nuit du 08 au 09/04.

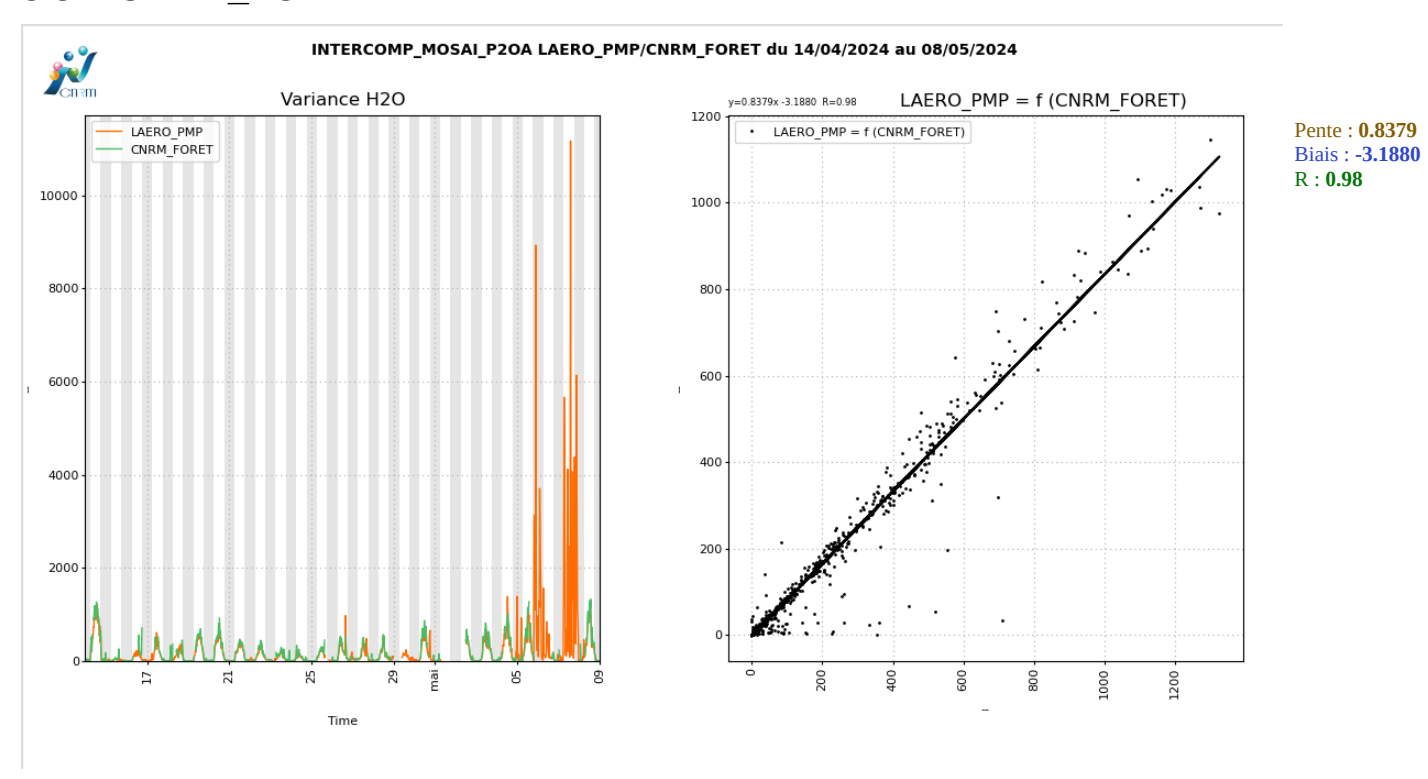
5.3 Variances H20

5.3.1 CNRM_MAIS



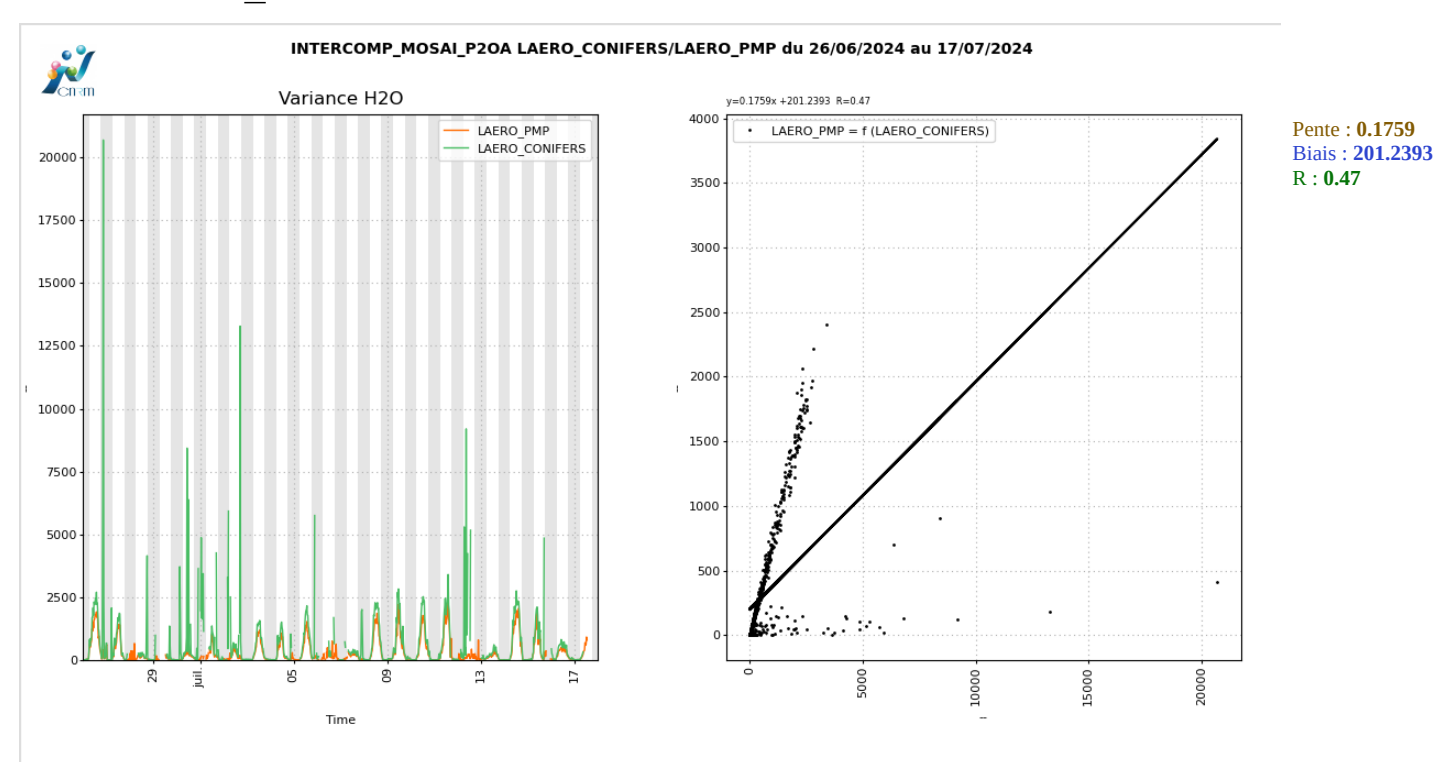
Bonne corrélation. CNRM_MAIS > LAERO_PMP de 13 % avec des écarts allant jusqu'à 20 % pour les valeurs extrêmes.

5.3.2 CNRM_FORET

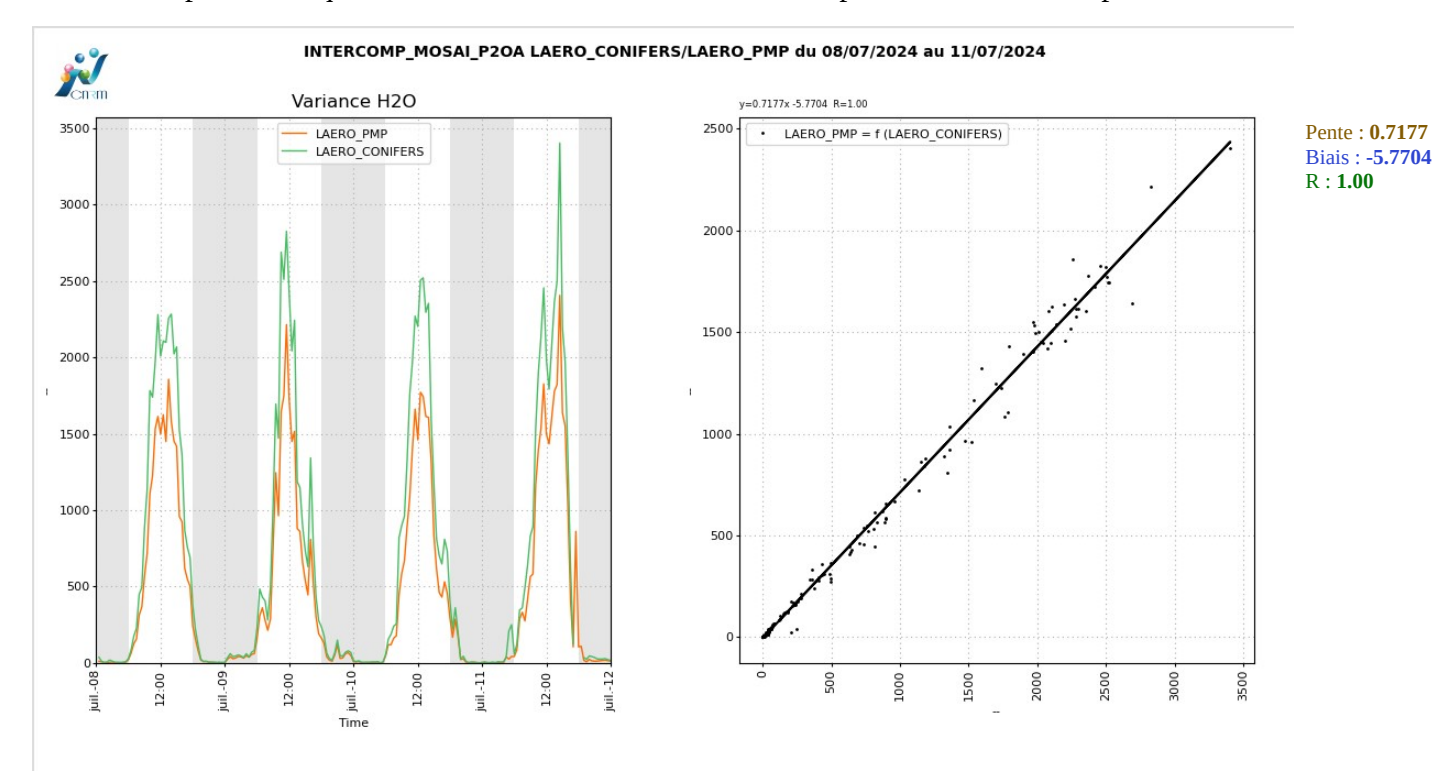


Bonne corrélation. CNRM_FORET > LAERO_PMP de 17 %.

5.3.3 LAERO_CONIFERS

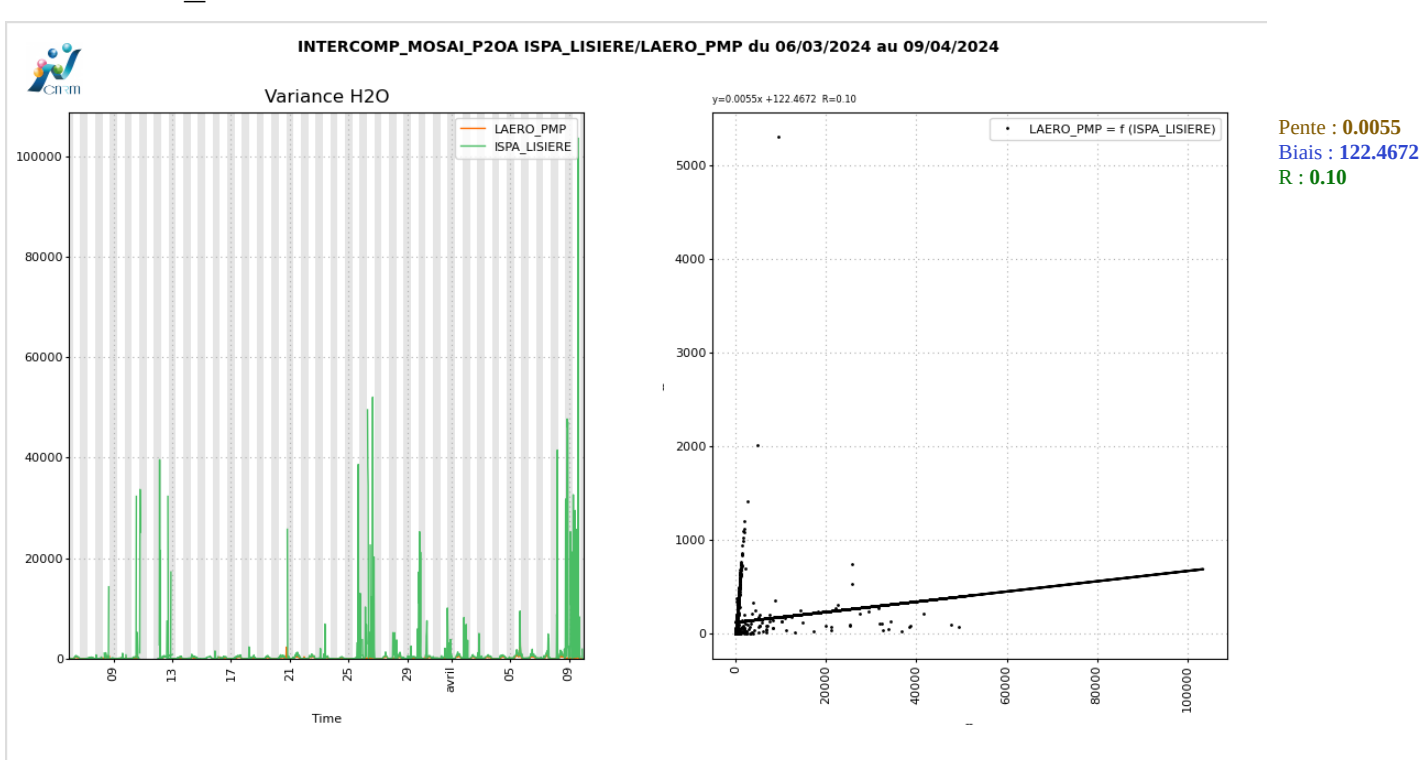


Le signal LAERO_CONIFERS est très bruité. En sélectionnant la période du 08/07/2024 au 11/07/2024 pendant laquelle le fonctionnement est nominal on peut établir une comparaison :

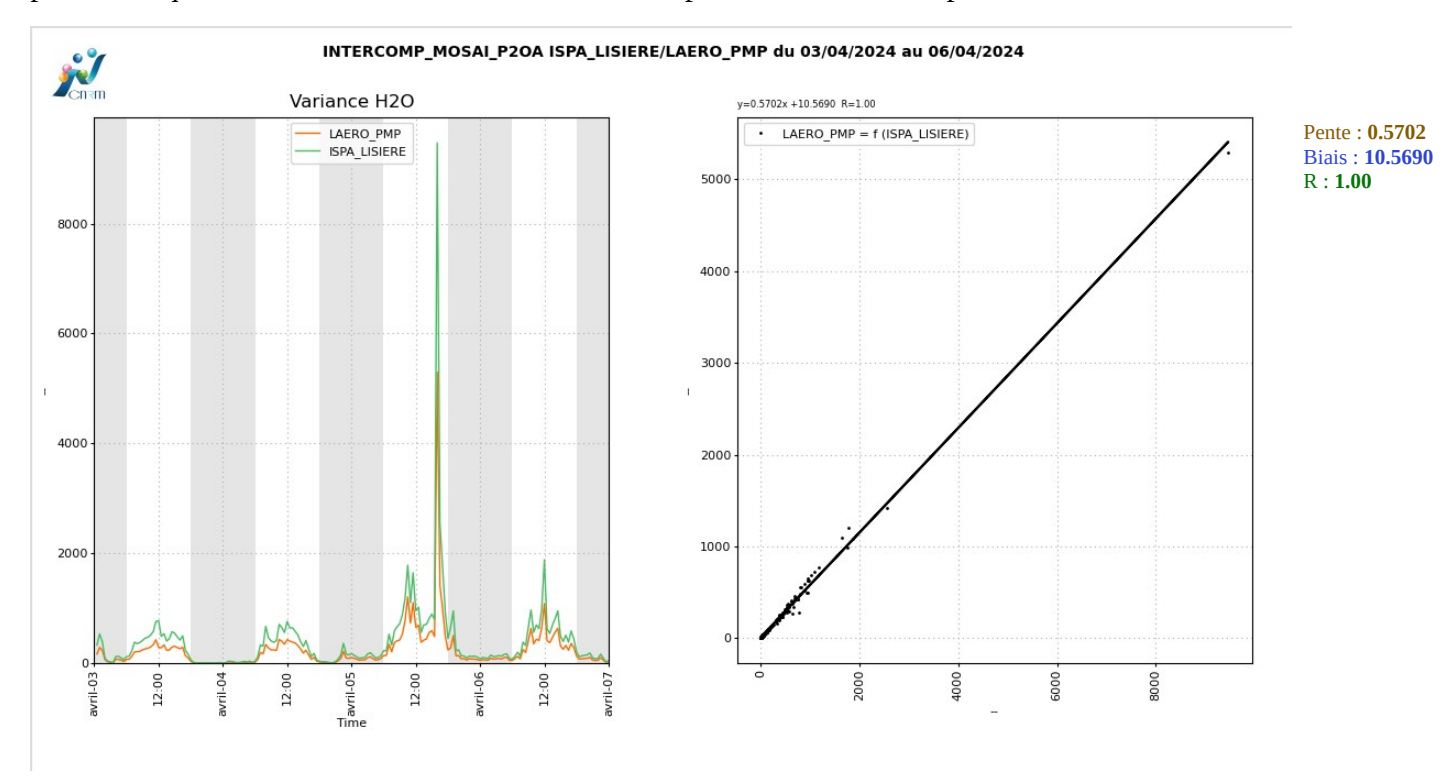


Bonne corrélation. LAERO_CONIFERS > LAERO_PMP de 30 % avec des maximums jusqu'à 50 %.

5.3.4 ISPA LISIERE

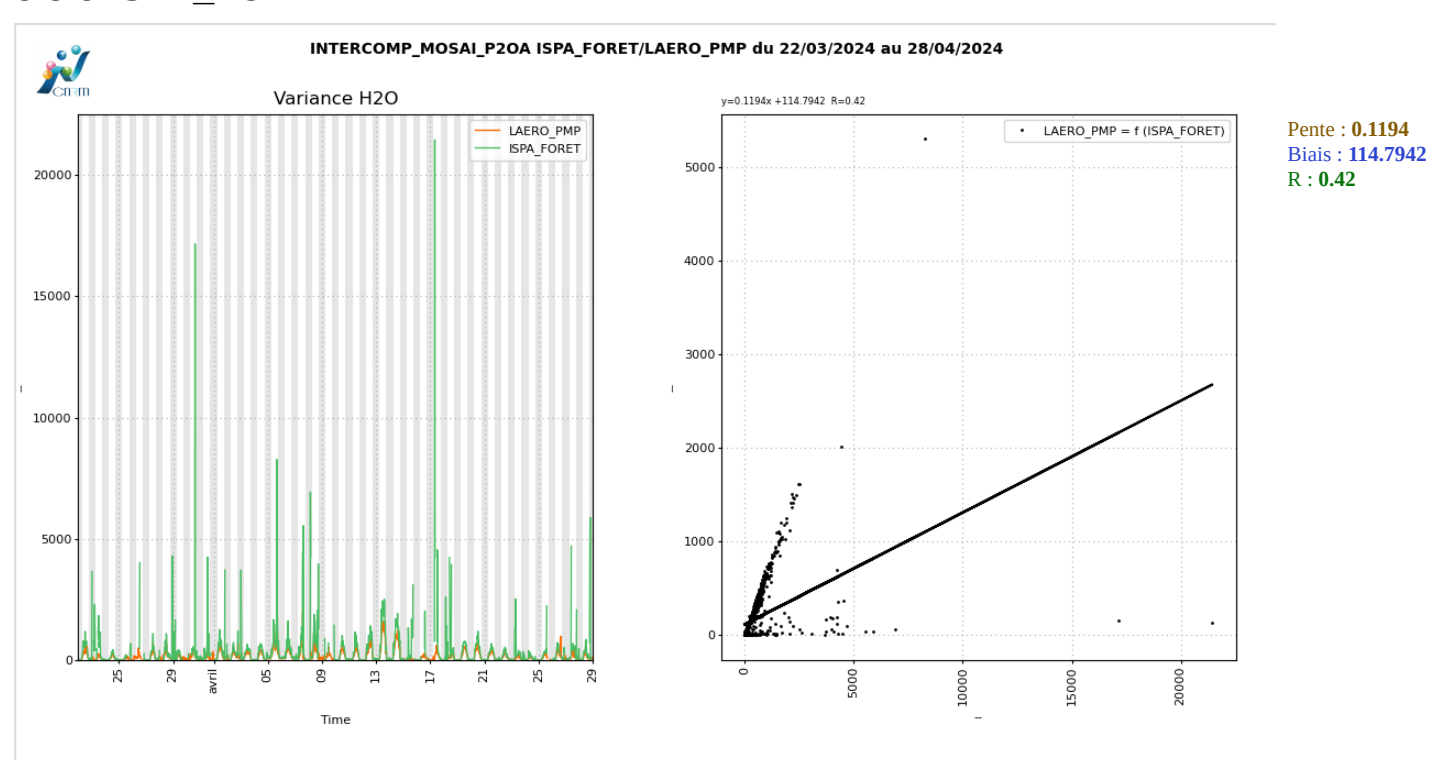


Le signal ISPA_LISIERE est très bruité. En sélectionnant la période du 03/04/2024 au 06/04/2024 pendant laquelle le fonctionnement est nominal on peut établir une comparaison :



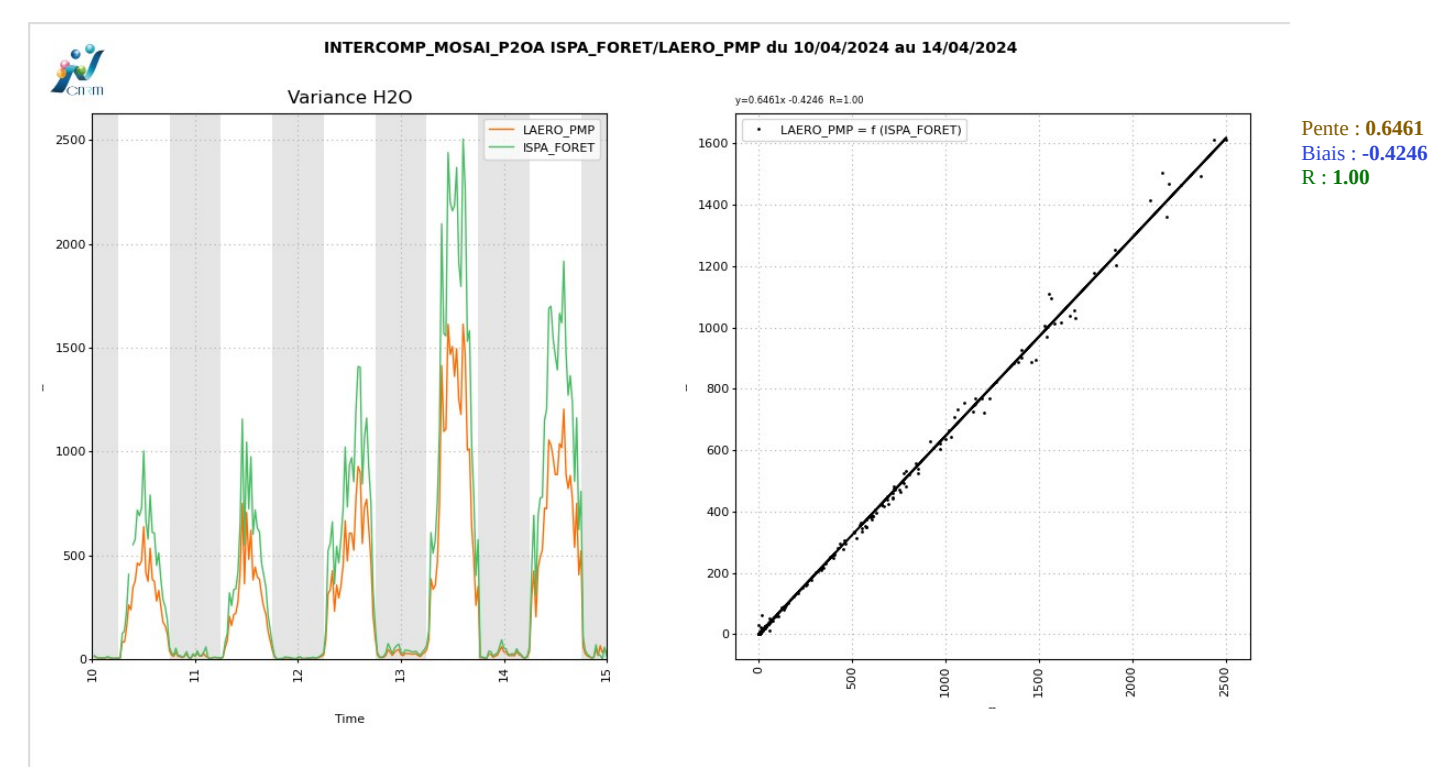
ISPA_LISIERE > LAERO_PMP de 40 % avec des maximums jusqu'à 80 %.

5.3.5 ISPA FORET



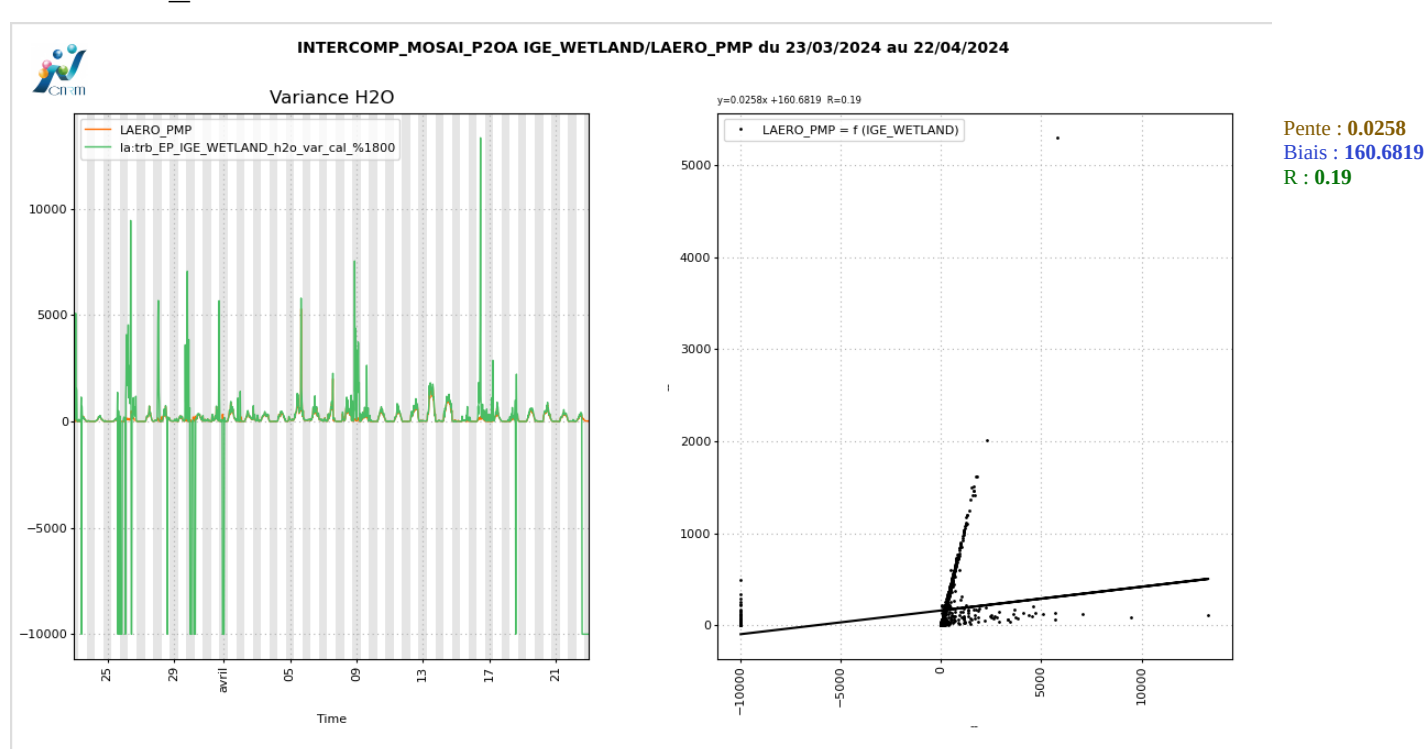
Le signal ISPA_FORET est très bruité. En sélectionnant la période du 10/04/2024 au 14/04/2024 pendant laquelle le fonctionnement est nominal on peut établir une comparaison :



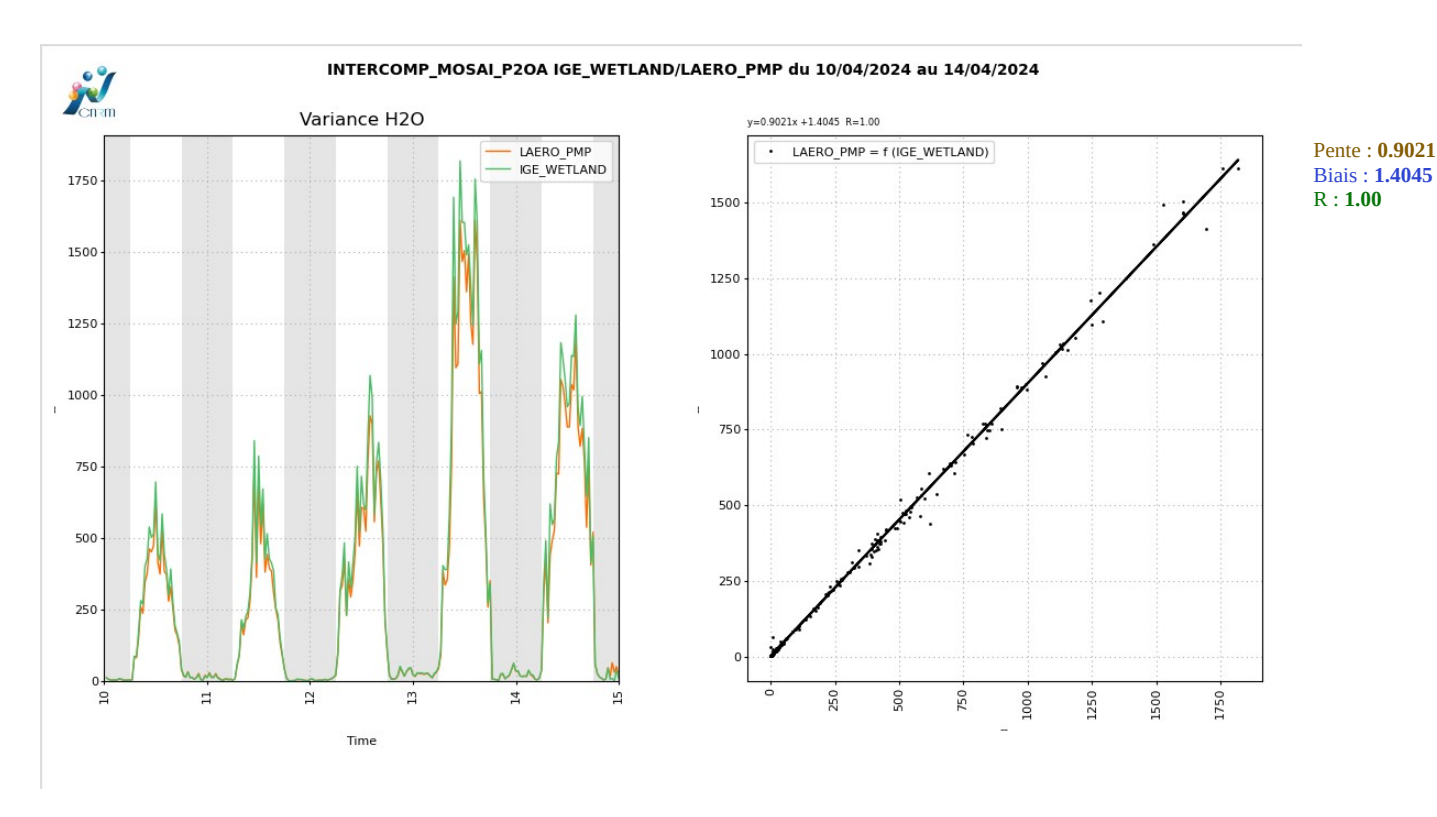


ISPA_FORET > LAERO_PMP de 40 % avec des maximums jusqu'à 60 %.

5.3.6 IGE_WETLAND



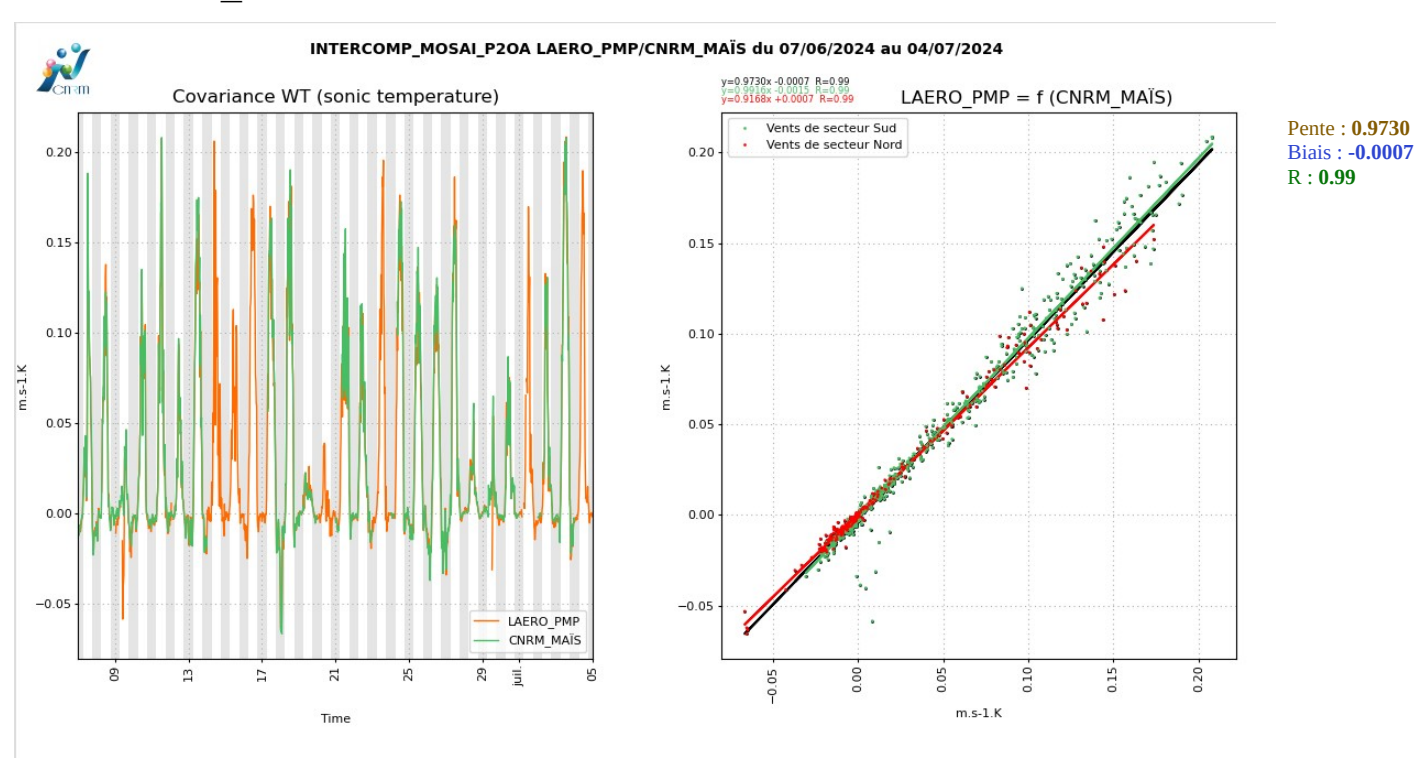
Le signal IGE_WETLAND est très bruité. En sélectionnant la période du 10/04/2024 au 14/04/2024 pendant laquelle le fonctionnement est nominal on peut établir une comparaison :



Très bonne corrélation. IGE_WETLAND > LAERO_PMP de 10 %.

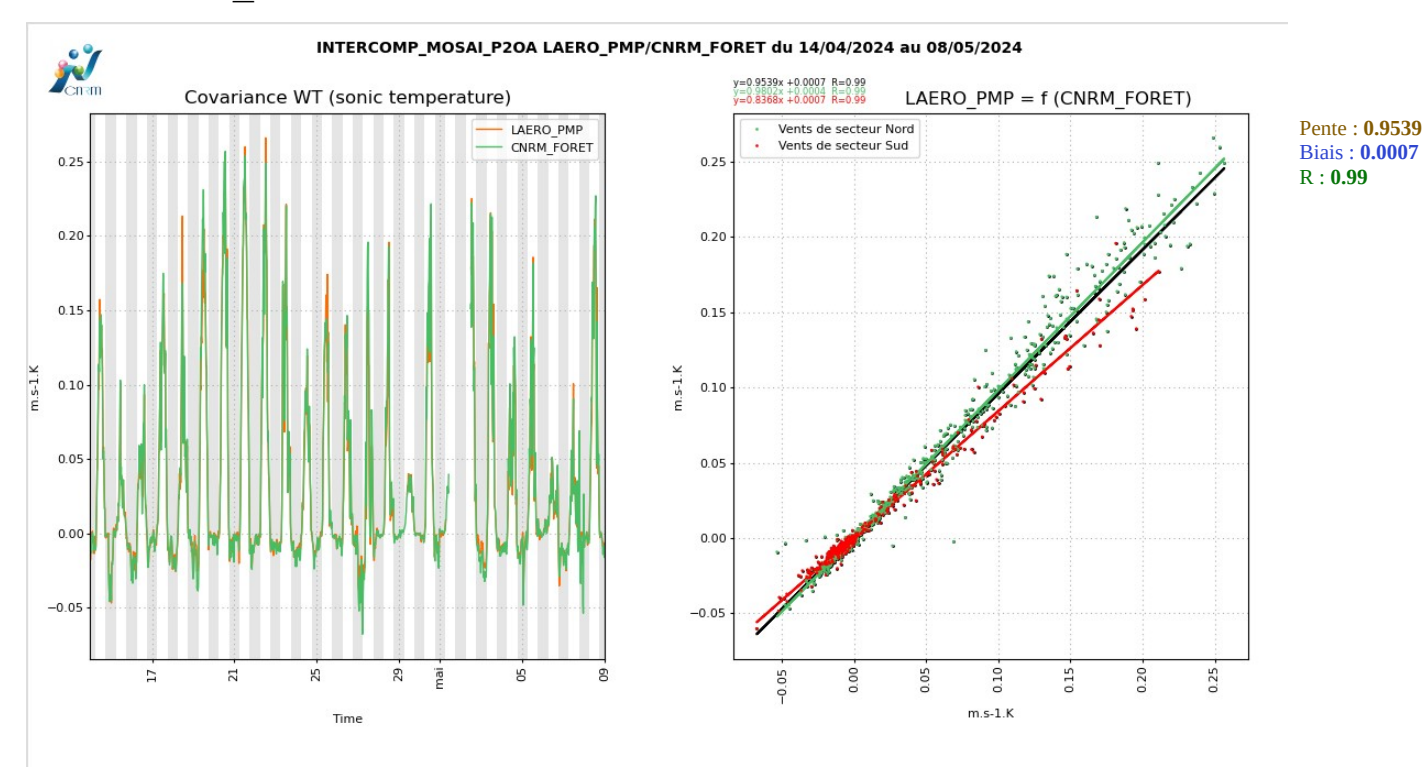
5.4 Covariances W/T

5.4.1 CNRM_MAIS



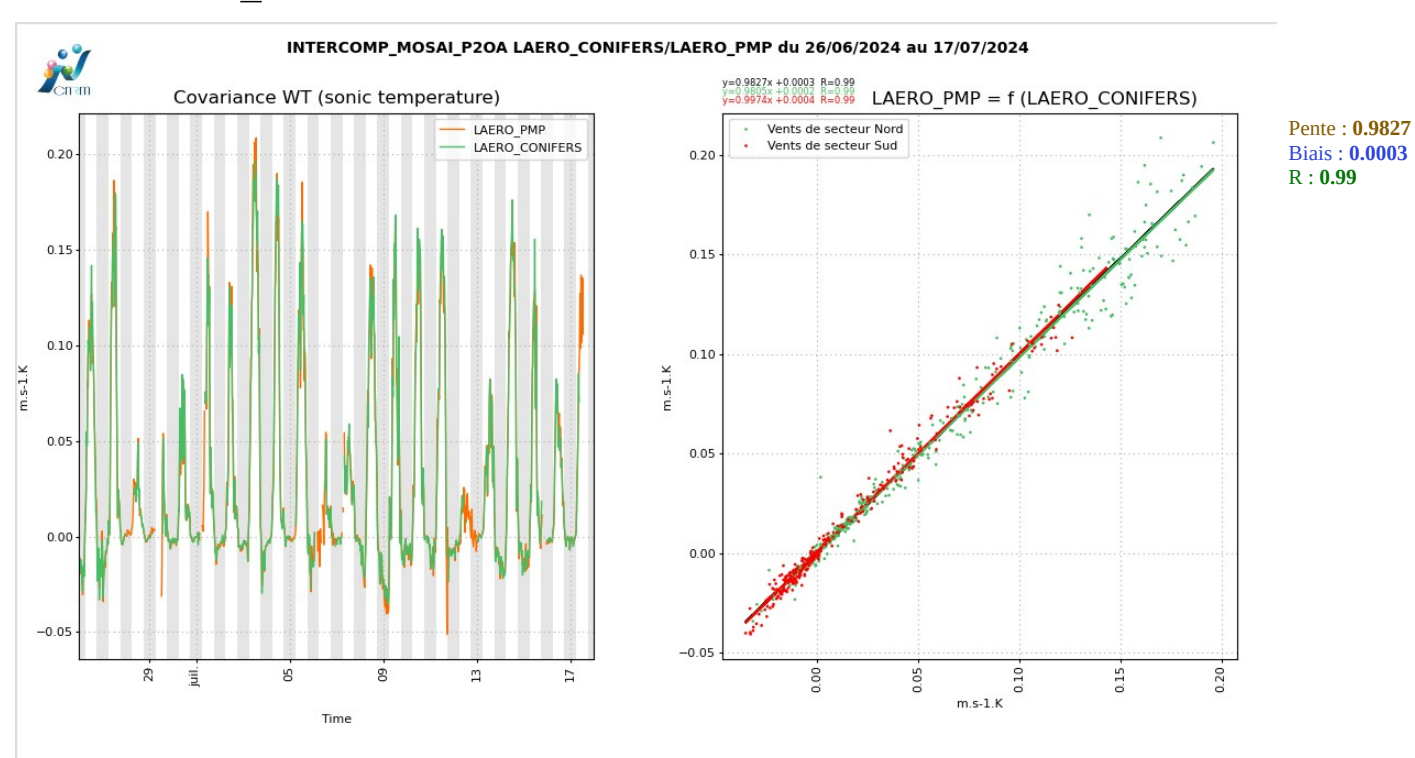


5.4.2 CNRM_FORET



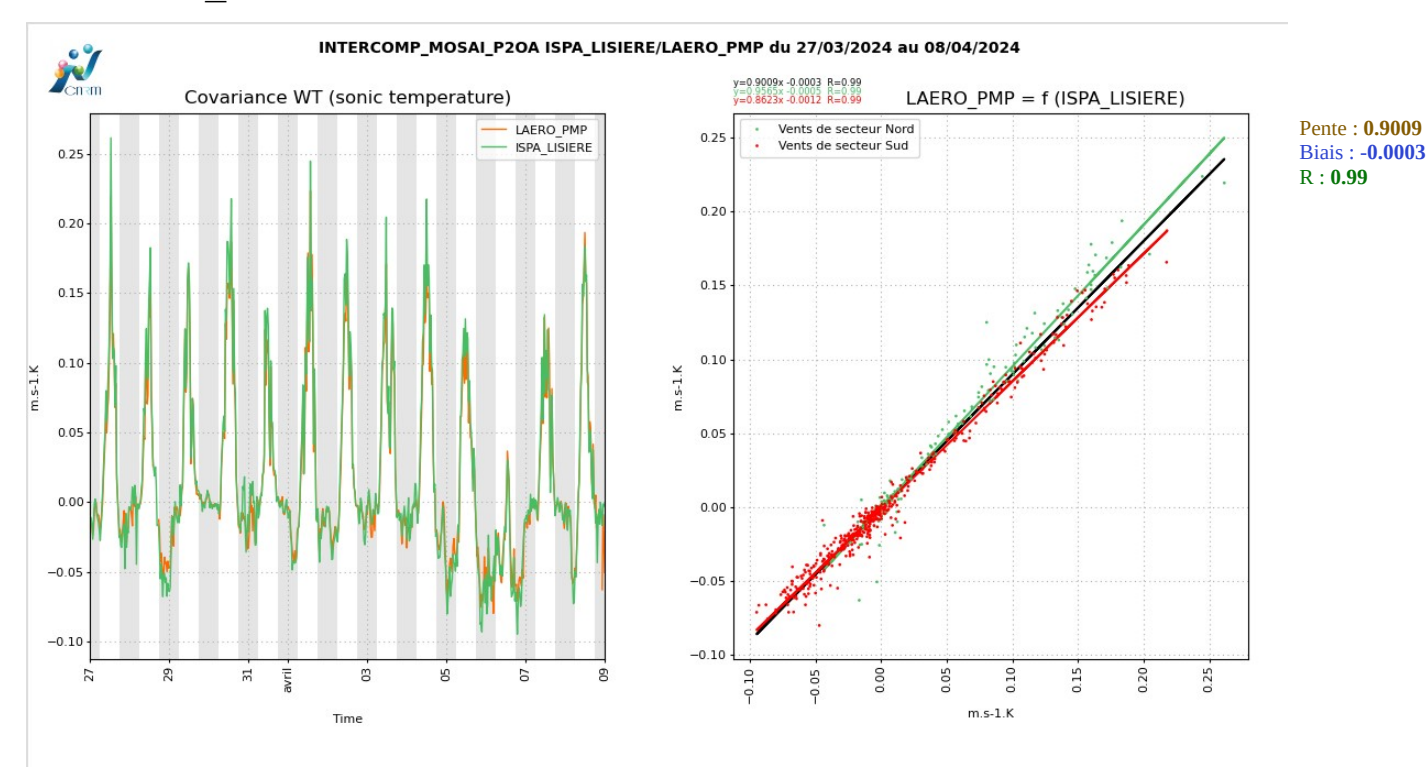
Très bonne corrélation par vents de Nord.

5.4.3 LAERO_CONIFERS



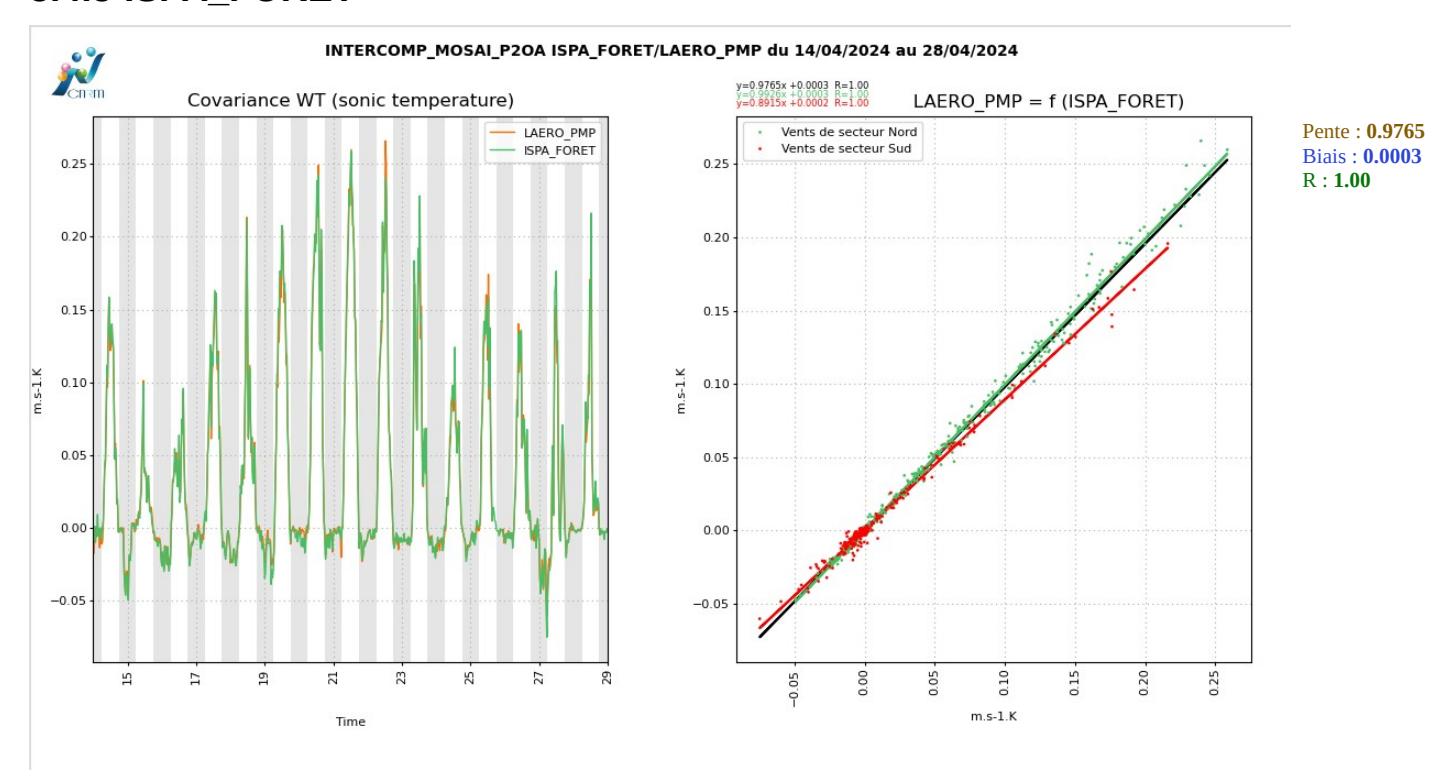


5.4.4 ISPA_LISIERE



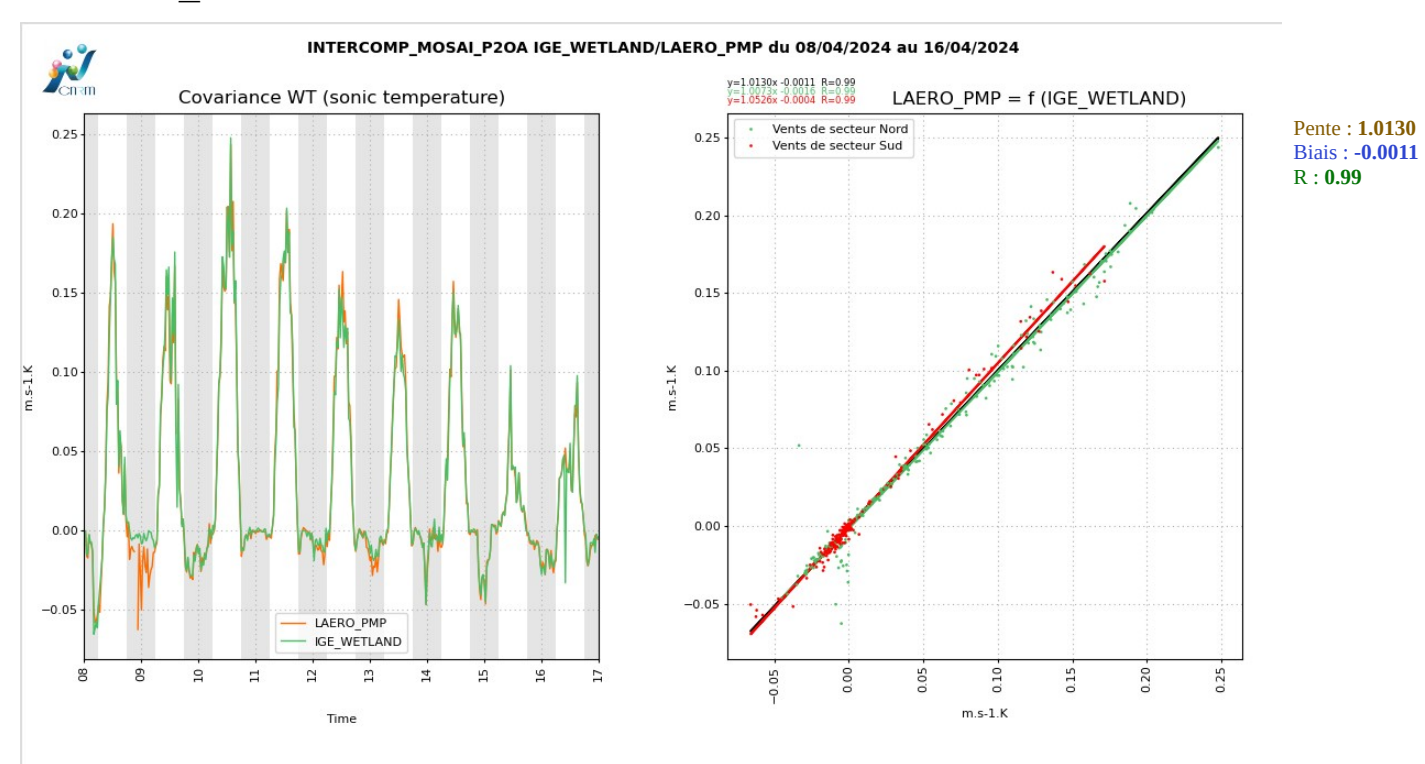
Très bonne corrélation par vents de Nord.

5.4.5 ISPA FORET





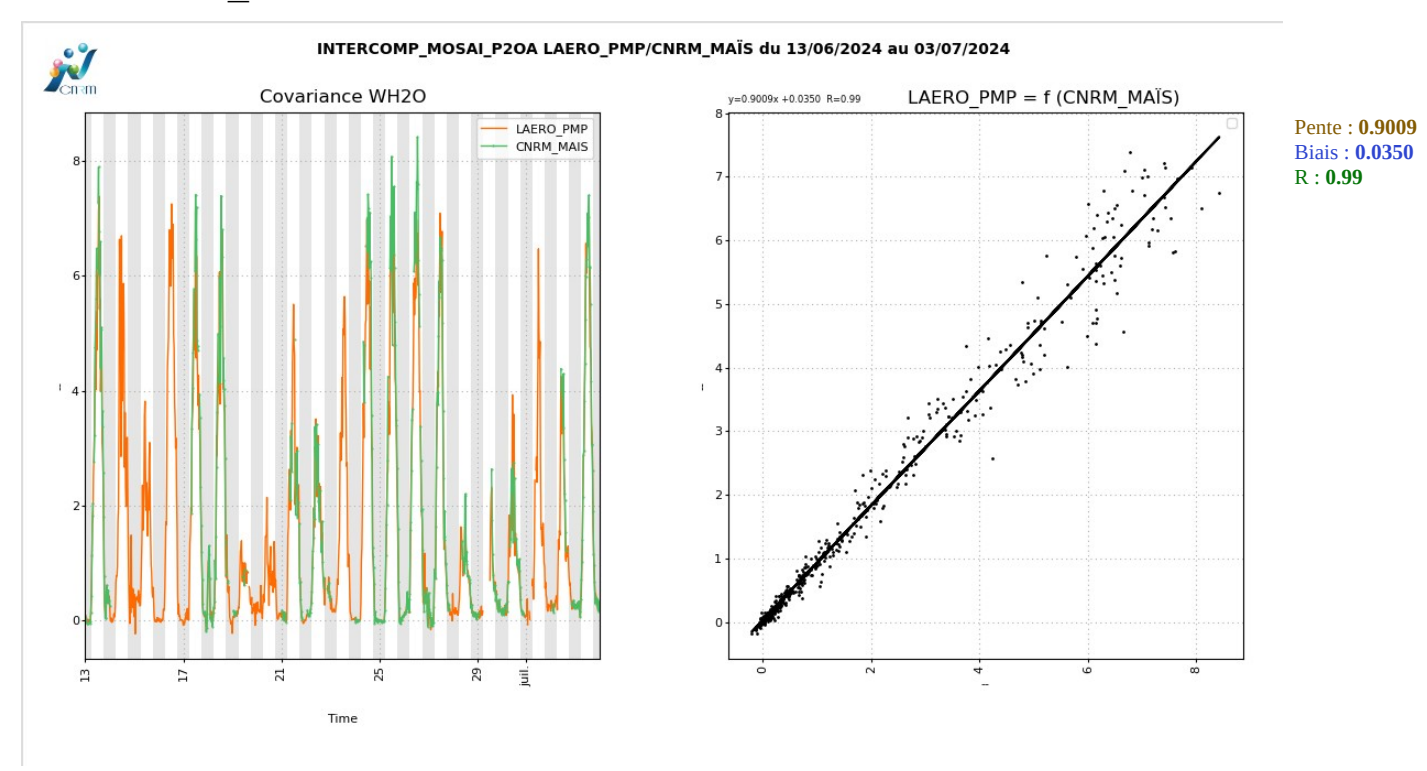
5.4.6 IGE_WETLAND



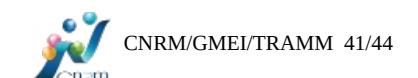
Bonne corrélation. Comportements différents la nuit du 08 au 09/04/2024.

5.5 Covariances W/H20

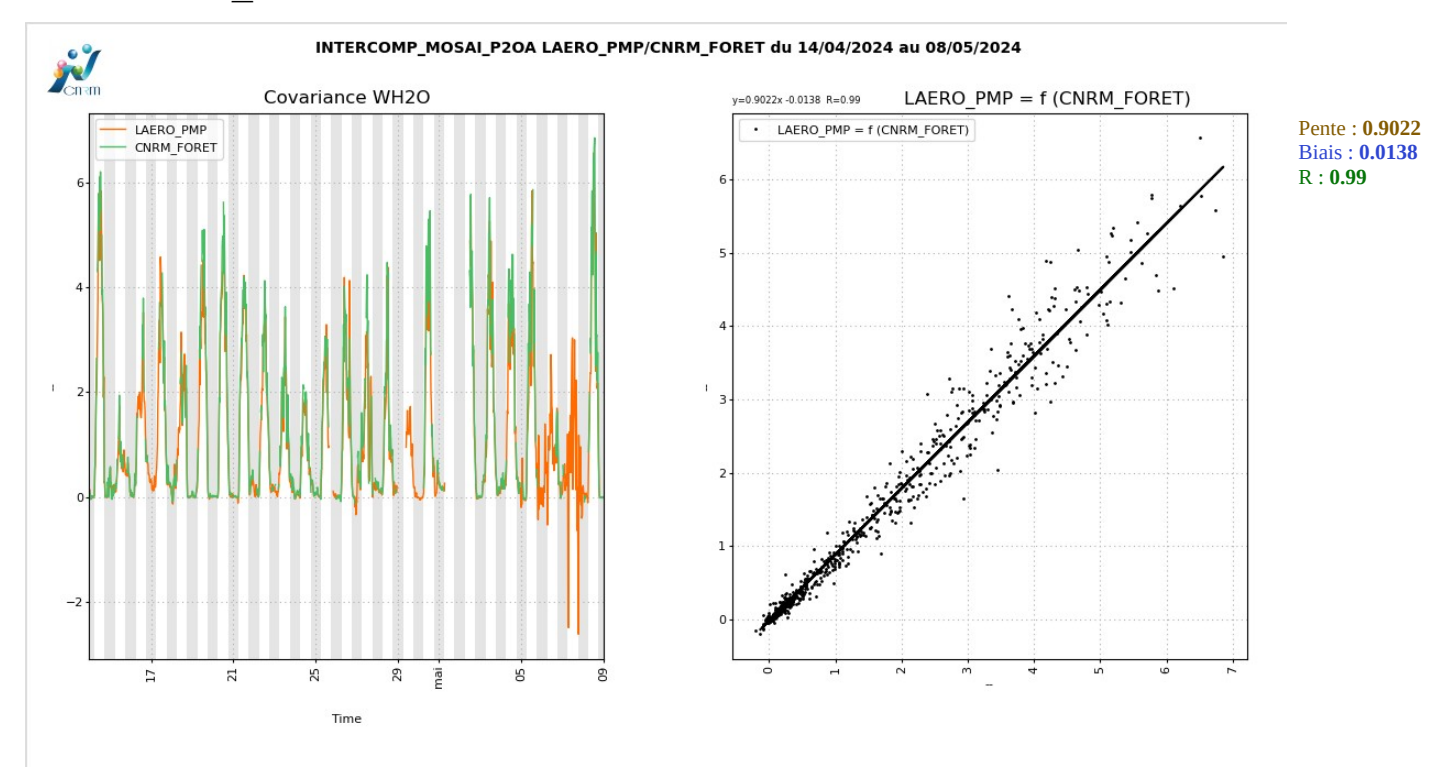
5.5.1 CNRM MAIS



Bonne corrélation. LAERO_PMP < CNRM_MAIS de 10 % avec des maximums jusqu'à 20 %.

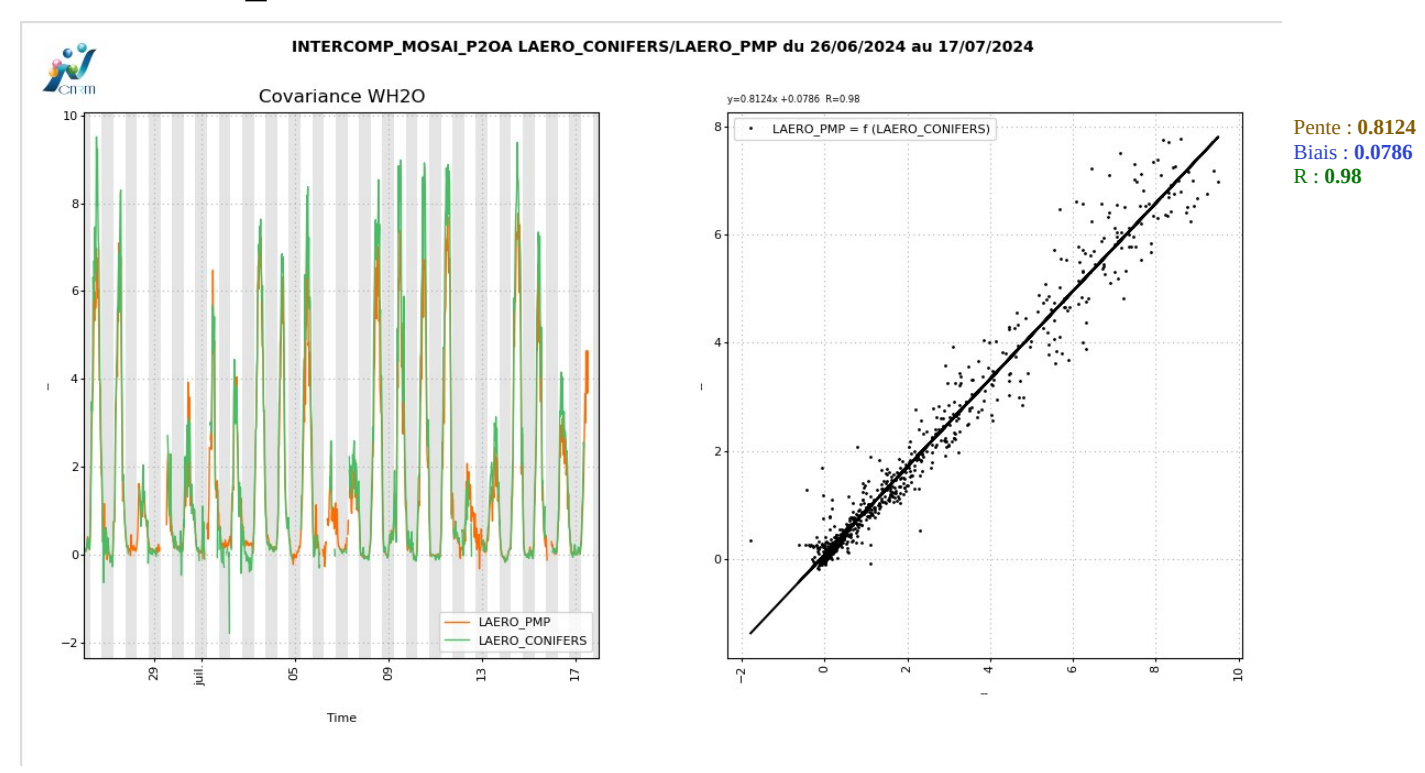


5.5.2 CNRM_FORET

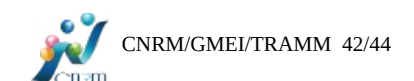


Bonne corrélation. LAERO_PMP < CNRM_FORET de 10 % avec des maximums jusqu'à 25 %.

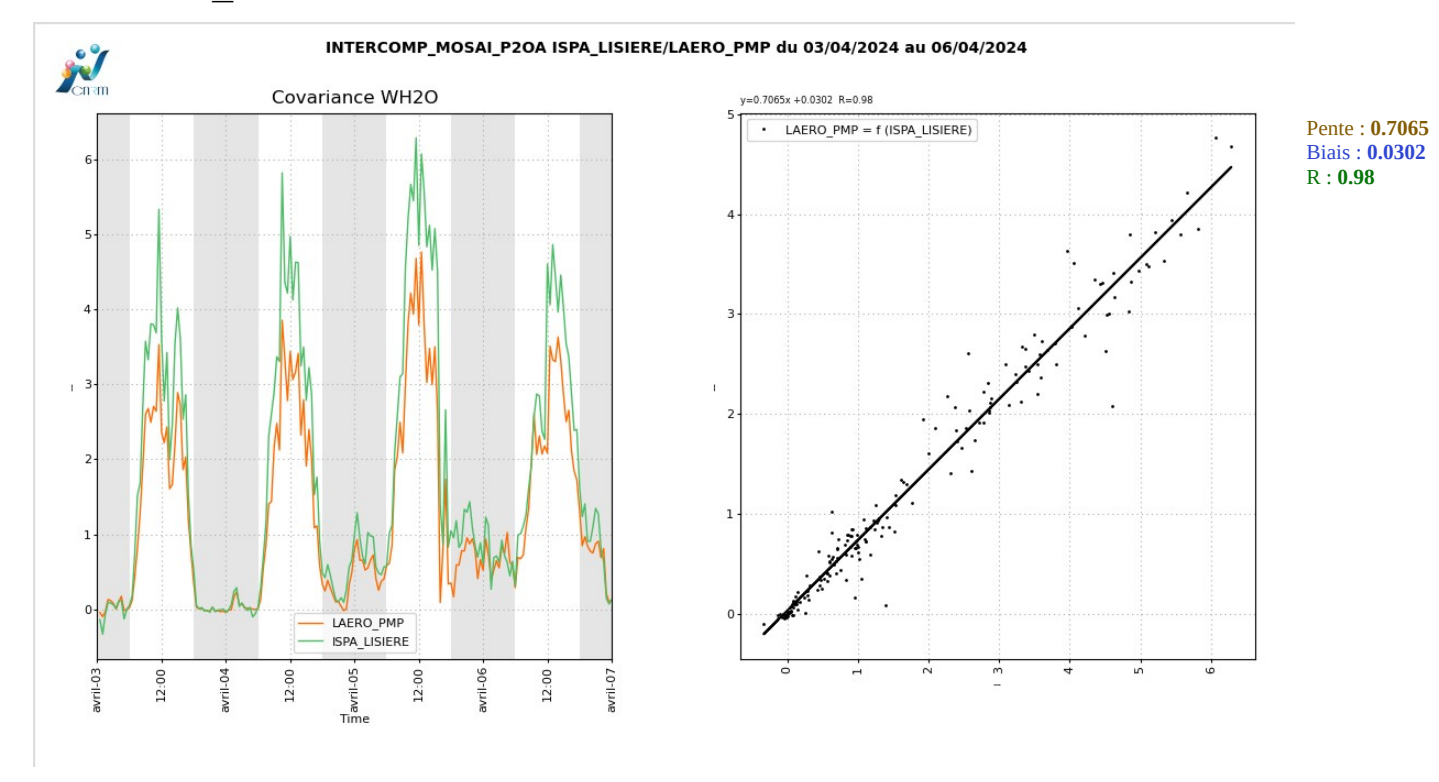
5.5.3 LAERO_CONIFERS



Bonne corrélation. LAERO_PMP < LAERO_CONIFERS de 20 % avec des maximums à 35 %

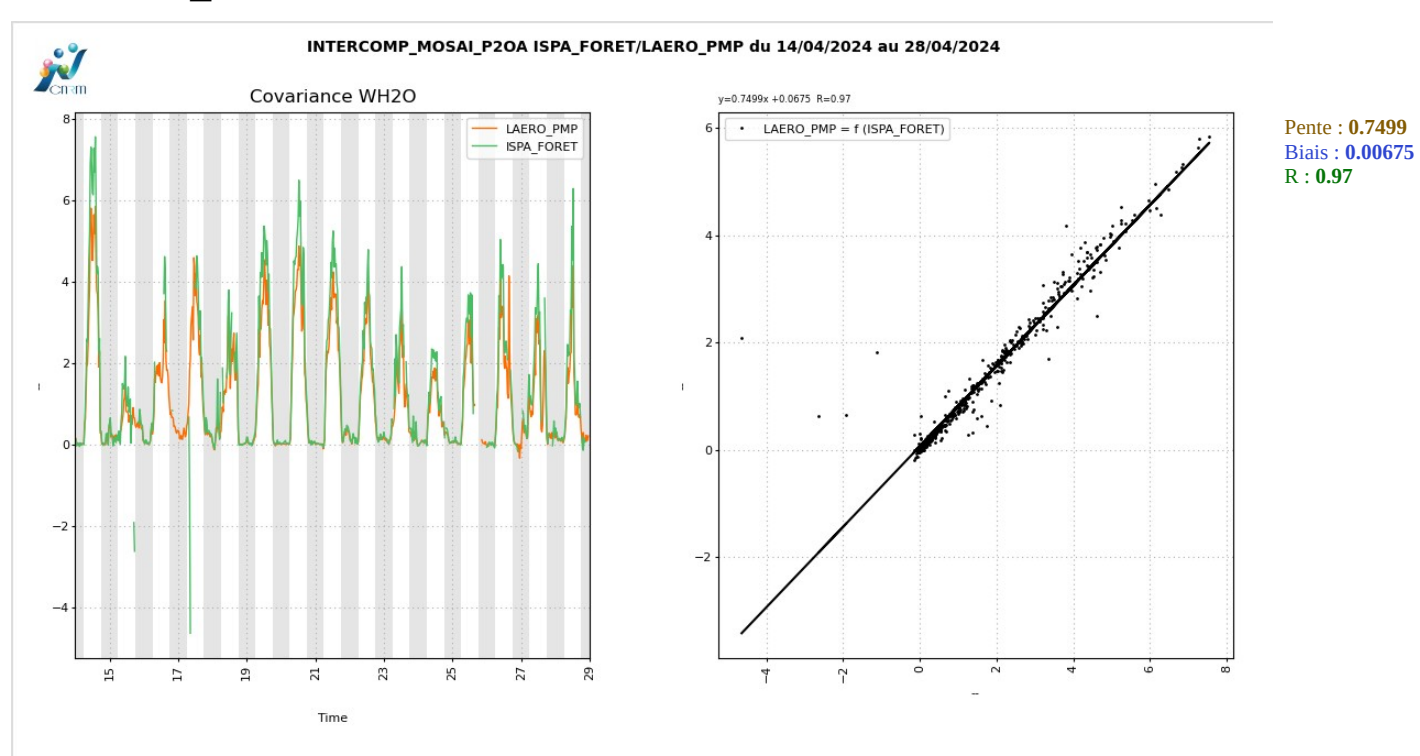


5.5.4 ISPA_LISIERE



Bonne corrélation. LAERO_PMP < ISPA_LISIERE de 30 % avec des maximums à plus de 50 %.

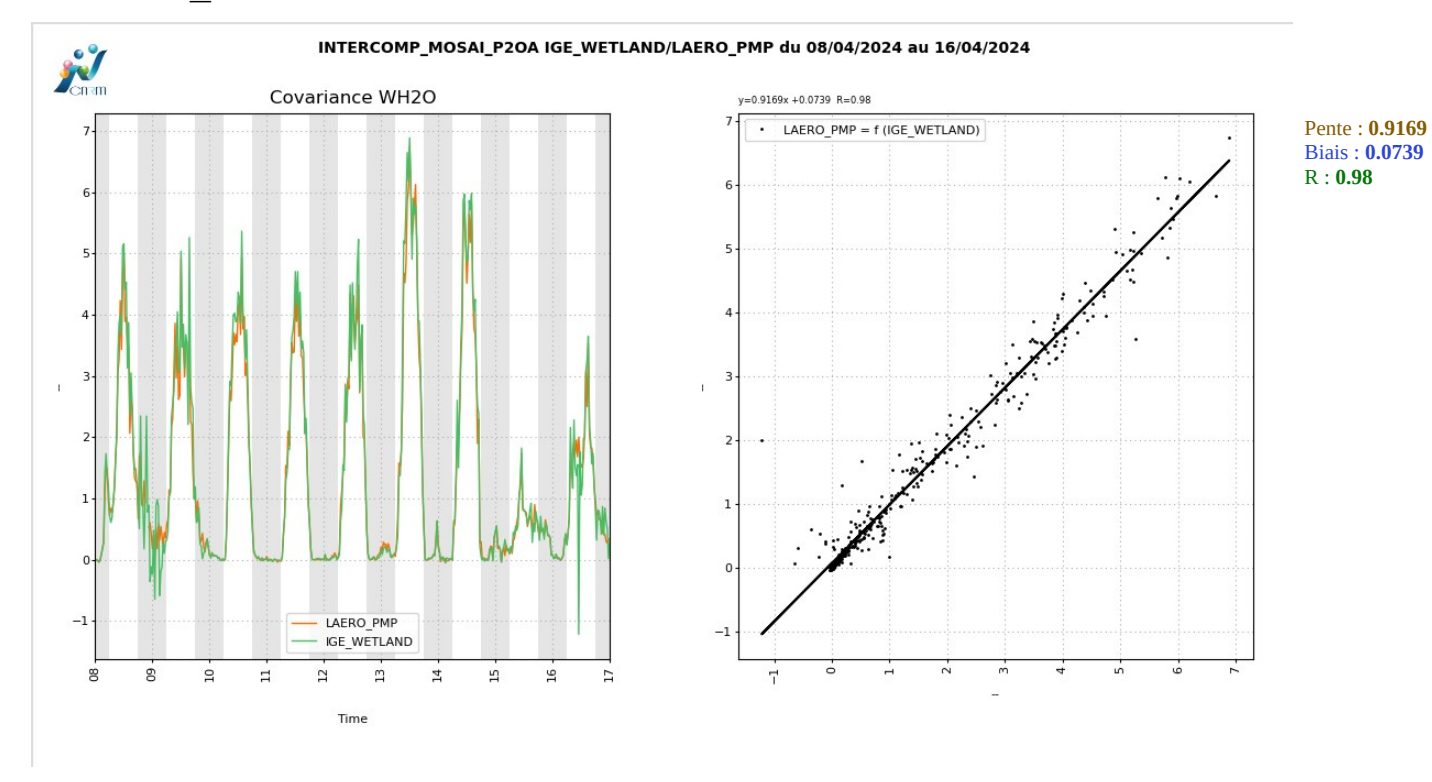
5.5.5 ISPA FORET



Bonne corrélation. LAERO_PMP < ISPA_FORET 25 % avec des maximums dépassant les 40 %.



5.5.6 IGE_WETLAND



Bonne corrélation. LAERO_PMP < IGE_WETLAND de moins de 10 %.

6 Récapitulatif de l'inter-comparaison

	LAERO_PMP (référence)	LAERO_CONIFERS	CNRM_MAIS	CNRM_FORET	ISPA_LISIERE	ISPA_FORET	IGE_WETLAND
Pression							
SWD		> 200 W/m2	< 30W/m2	< 25W/m2			
SWU		> 20W/m2					> 20W/m2
LWD				< 20W/m2			
LWU			> 10W/m2				
Variance U							
Variance V							
Variance W							
Variance T sonique							
Variance H20	< à tous les autres	> 30% max 50%	> 13% max 20%	> 17%	> 40% max 80%	> 40% max 60%	> 10%
Covariance W/T							
Covariance W/H20	< à tous les autres	> 20% max 35%	> 10% max 20%	> 10% max 25%	> 30% max 50%	> 25% max 40%	> 10 %

